

Contribuții la antrenarea rețelelor neuronale. Învățarea pe baza corecției erorii cu exemple negative

Teză destinată obținerii
titlului științific de doctor inginer
la
Universitatea "Politehnica" din Timișoara
în domeniul "Știința calculatoarelor"
de către

Cernăzanu-Glăvan Cosmin

Conducător științific:

Prof. Univ. Dr. Ing. Ștefan Holban

octombrie 2009

CUPRINS

CUPRINS	I
LISTA FIGURILOR	V
LISTA TABELELOR	IX
1. INTRODUCERE	1
1.1. Motivație	2
1.2. Rețele neuronale artificiale(RNA)	3
1.3. Obiective	6
1.4. Organizarea tezei	7
2. ARHITECTURI ALE REȚELELOR NEURONALE ARTIFICIALE	9
2.1. Rețele neuronale de tip perceptron	9
2.1.1. Perceptronul cu un singur strat	9
2.1.2. Perceptronul cu mai multe straturi	11
2.2. Rețele neuronale bazate pe funcții radiale	12
2.3. Memorii asociative	14
2.3.1. Asocierea liniară	15
2.3.2. Rețelele Hopfield	16
2.3.3. Memorii asociative bidirecționale (BAM)	19
2.4. Rețele neuronale cu autoorganizare	22
2.4.1. Rețele neuronale de tip clustere	23
2.4.2. Rețele neuronale de tip cuantizare vectorială	24
2.4.3. Rețele Kohonen	27

3. ALGORITMI DE ÎNVĂȚARE	29
3.1. Noțiuni generale	29
3.2. Paradigme de învățare	31
3.2.1. Învățare supervizată	31
3.2.2. Învățare nesupervizată	31
3.2.3. Învățare prin întărire	32
3.3. Algoritmi de învățare	33
3.3.1. Învățare pe baza corecției erorii	33
3.3.2. Învățare Hebbiană	35
3.3.3. Învățare Boltzmann	36
3.3.4. Învățare competitivă	38
3.4. Funcții de activare	38
4. ÎMBUNĂȚĂȚIREA PERFORMANȚELOR REȚELELOR NEURONALE – ANTRENAREA CU EXEMPLE NEGATIVE	41
4.1. Problematika	41
4.2. Rezolvarea propusă	44
4.3. Îmbunătățirea performanțelor rețelelor neuronale prin folosirea exemplelor negative	46
4.3.1. Antrenarea rețelelor neuronale cu exemple negative	47
4.3.2. Utilizarea neuronului block în procesul de antrenare al rețelei	50
4.3.3. Utilizarea mai multor neuroni block având funcții de activare diferite	55
4.4. Concluzii	57
5. EXPERIMENTE	59
5.1 Programe de antrenare și seturi de date folosite pentru experimente	59
5.1.1 Programe de antrenare a rețelelor neuronale	59
5.1.2 Seturi de date folosite în cadrul experimentelor	62
5.2 Experimente pentru determinarea procentului de exemple negative optim ce trebuie utilizat la antrenarea rețelelor neuronale	65
5.2.1 Experimente pe NIST 19	65
5.2.2 Experimente pe setul de date Ocean Data	73
5.2.3 Determinarea procentului de exemple negative optim ce trebuie utilizat la antrenarea rețelelor neuronale	80
5.2.4 Modelul matematic pentru procesul de antrenare cu exemple negative	82

5.3 Experimente efectuate pe rețele neuronale artificiale de tip multilayer perceptron cu 1 neuron block	90
5.3.1 Experimente pe NIST 19	90
5.3.2 Experimente pe Ocean's Data	98
5.3.3 Avantajele utilizării unei rețele multilayer perceptron cu neuron block față de o rețea neuronală de tip multilayer perceptron simplă	103
5.4 Experimente efectuate pe rețele multilayer perceptron cu mai mulți neuroni block	103
5.4.1 Experimentul 8 (baza de date NIST 19)	104
5.4.2 Experimentul 9 (baza de date Ocean's Data)	107
5.5 Concluzii	110
6. ÎMBUNĂȚĂȚIREA TIMPULUI DE ANTRENARE A RNA PRIN FOLOSIREA CARACTERISTICILOR DATELOR DE INTRARE	113
6.1 Selectarea caracteristicilor unui set de antrenare utilizând tehnici de data mining	116
6.2 Experimente folosind caracteristici ale datelor de intrare	119
6.2.1 Programul Weka	119
6.2.2 Experimente	120
6.3 Concluzii	125
7. CONCLUZII	127
7.1 Concluzii	127
7.2 Contribuții	129
7.3 Continuări posibile	130
ANEXA 1 – NIST 19	131
ANEXA 2 – FORMATUL DATELOR MARTHA'S VINEYARD COASTAL OBSERVATORY [ENG]	133
ANEXA 3 – BAZELE DE DATE CUPRINSE ÎN SETUL DE ANTRENARE DE LA UNIVERSITATEA CARNEGIE MELLON	134
ANEXA 4 – CARACTERISTICILE SELECTATE DE PROGRAMUL WEKA PENTRU LITERELE A,E,N ȘI R	135

LISTA FIGURILOR

Figura 1. Reprezentarea schematică a neuronului biologic. . 1 – Arborele dendritic; 2 – Soma(corpul celular); 3 – Nucleul celulei neuronale; 4 – Axonul; 5 – Arborele axonic; 6 – conexiuni sinaptice.....	3
Figura 2. Modelul neuronului artificial. Vectorul X – intrările rețelei, W – ponderile rețelei, O – ieșirea rețelei	4
Figura 3. Interconexiunea neuronilor biologici într-o rețea neuronală	5
Figura 4. Perceptronul cu un singur strat	9
Figura 5. Reprezentarea geometrică a liniar separabilității spațiului de intrare în două regiuni	10
Figura 6. Perceptronul multistrat cu s straturi ascunse	11
Figura 7. Graficul funcției Gaussiene	13
Figura 8. RBF clasică.....	14
Figura 9. Modul în care acționează o memorie adresabilă prin conținut.....	15
Figura 10. Arhitectura unei rețele de tip asociere liniară.....	15
Figura 11. Arhitectura unei rețele de tip Hopfield	17
Figura 12. Arhitectura unei rețele de tip Memorie Asociativă Bidirecțională..	20
Figura 13. Arhitectura unei rețele de tip clustere	23
Figura 14. Arhitectura unei rețele de tip cuantizare vectorială.....	25
Figura 15. Arhitectura unei rețele Kohonen cu nivel funcțional bidimensional, cu două noduri de intrare și 9 noduri de ieșire.....	27
Figura 16. Taxonomia fundamentală a procesului de învățare.	30
Figura 17. Sistem cu învățare supervizată	31
Figura 18. Sistem cu învățare nesupervizată.....	32
Figura 19. Sistem cu învățare prin întărire.....	33
Figura 20. Evoluția valorii ratei de eroare pentru o rețea neuronală în funcție de mărimea setului de antrenare folosit	42
Figura 21. Graficul timpului de antrenare al unei rețele neuronale în funcție de mărimea setului de antrenare folosit	44
Figura 22. Definiția noțiunii de arcadă	45
Figura 23. Antrenarea clasică a unei rețele neuronale	47
Figura 24. Antrenarea unei rețele neuronale cu exemple pozitive și negative .	48
Figura 25. Care este procentul de exemple negative care trebuie folosit pentru o bună antrenare a rețelelor neuronale?	48
Figura 26. Arhitectura perceptronului cu mai multe straturi ascunse	51

Figura 27. Arhitectura perceptronului cu mai multe straturi ascunse și 1 neuron block.....	52
Figura 28. Totalitatea exemplilor pentru rețeaua antrenată în recunoașterea rocilor vulcanice.....	53
Figura 29. Clasificarea rocilor făcută de o rețea neuronală antrenată cu exemple negative și pozitive	53
Figura 30. Clasificarea rocilor făcută de o rețea neuronală cu un neuron block antrenată cu exemple negative și pozitive	54
Figura 31. Arhitectura perceptronului cu k neuroni normali și t neuroni block pe ultimul strat	56
Figura 32. Neuroni block cu funcții de activare diferită.....	56
Figura 33. Interfața principală a programului NeuroShell.....	60
Figura 34. Interfața principală a programului de antrenare a rețelelor neuronale cu funcții de activare independente.....	61
Figura 35. Formular pentru introducerea datelor în baza de date NIST 19	63
Figura 36. Reprezentarea grafică a procentelor de recunoaștere pentru caracterele „a”, „e”, „n” și „r”, de către rețeaua neuronală de la experimentul 1	68
Figura 37. Reprezentarea grafică a procentelor de recunoaștere pentru întreg alfabetul, de către rețeaua neuronală de la experimentul 1	69
Figura 38. Reprezentarea grafică a procentelor de recunoaștere pentru setul de producție, de către rețeaua neuronală de la experimentul 1	69
Figura 39. Reprezentarea grafică a procentelor de recunoaștere pentru setul de producție, de către rețeaua neuronală de la experimentul 2.....	72
Figura 40. Reprezentarea grafică a procentelor de recunoaștere pentru cele trei categorii de risc de către rețeaua neuronală de la experimentul 3	76
Figura 41. Reprezentarea grafică a procentelor de recunoaștere pentru setul de test, de către rețeaua neuronală de la experimentul 3	77
Figura 42. Reprezentarea grafică a procentelor de recunoaștere pentru setul de producție, de către rețeaua neuronală de la experimentul 3.....	77
Figura 43. Reprezentarea grafică a procentelor de recunoaștere pentru setul de producție, de către rețeaua neuronală de la experimentul 4.....	79
Figura 44. Reprezentarea grafică a procentelor de recunoaștere obținute pe setul de testare pentru cele două seturi de date.....	81
Figura 45. Reprezentarea grafică a procentelor de recunoaștere obținute pe setul de producție pentru cele două seturi de date.....	81
Figura 46. Interpolarea procentelor de recunoaștere normalizate pentru SONAR	84
Figura 47. Interpolarea procentelor de recunoaștere normalizate pentru DIABET.....	85

Figura 48. Interpolarea procentelor de recunoaștere normalizate pentru LITERE	85
Figura 49. Modelul general pentru antrenarea cu exemple negative aplicat pentru VALURI	89
Figura 50. Reprezentarea grafică pentru procentele de recunoaștere obținute de „a” și „r” de către rețeaua multilayer perceptron și rețeaua multilayer perceptron cu 1 neuron block.....	93
Figura 51. Reprezentarea grafică pentru rezultatele obținute pe setul de testare de către rețeaua multilayer perceptron și rețeaua multilayer perceptron cu 1 neuron block.....	93
Figura 52. Reprezentarea grafică pentru rezultatele obținute pe setul de producție de către rețeaua multilayer perceptron și rețeaua multilayer perceptron cu 1 neuron block.....	94
Figura 53. Procentele obținute pe setul de producție de ambele rețele pentru experimentul 6	97
Figura 54. Procentele de recunoaștere pentru litera „e” în cadrul experimentului 6.....	97
Figura 55. Procentele de recunoaștere pentru valorile de risc obținute de către o rețea multilayer perceptron cu neuron block și o rețea multilayer perceptron clasică.....	101
Figura 56. Procentele de recunoaștere pe setul de testare obținute de către o rețea multilayer perceptron cu neuron block și o rețea multilayer perceptron clasică.....	101
Figura 57. Procentele de recunoaștere pe setul de producție obținute de către o rețea multilayer perceptron cu neuron block și o rețea multilayer perceptron clasică.....	102
Figura 58. Procentele de recunoaștere obținute pe un set de test pentru o rețea multilayer perceptron cu 1 și 2 neuroni block pe stratul de ieșire	105
Figura 59. Procentele de recunoaștere obținute pe un set de producție pentru rețele multilayer perceptron cu 1 și 2 neuroni block pe stratul de ieșire	106
Figura 60. Procentele de recunoaștere obținute de către literele „a” și „r” pentru rețele multilayer perceptron cu 1 și 2 neuroni block pe stratul de ieșire	106
Figura 61. Procentele de recunoaștere obținute pe un set de test pentru rețele multilayer perceptron cu 1 și 2 neuroni block pe stratul de ieșire	108
Figura 62. Procentele de recunoaștere obținute pe setul de producție pentru rețele de tip multilayer perceptron cu 1 și 2 neuroni block pe stratul de ieșire.....	109
Figura 63. Procentele de recunoaștere obținute pe clase de recunoaștere de rețele de tipul multilayer perceptron cu 1 și 2 neuroni block pe stratul de ieșire	109
Figura 64. Pașii ce alcătuiesc un proces de tip KNN	113

Figura 65. Reprezentarea grafică pentru o funcție cu un singur minim local..	118
Figura 66. Reprezentarea grafică pentru o funcție cu mai multe puncte de maxim locale.....	118
Figura 67. Fereastra principală a programului Weka împreună cu fereastra de explorer	119
Figura 68. Repartiția punctelor selectate din matricea de 32x32 ca fiind cele mai bune caracteristici pentru caracterele „a”, „e”, „n” și „r”	120
Figura 69. Reprezentarea grafică a influenței exercitate de caracteristicile 523 și 658 asupra literei „a”	121
Figura 70. Reprezentarea grafică a procentelor de recunoaștere obținute la Experimentul 9.....	122
Figura 71. Reprezentarea grafică pentru timpii de antrenare obținuți în cadrul Experimentului 9.....	124

LISTA TABELELOR

Tabelul 1. Definiția principalelor funcții de activare.....	40
Tabelul 2. Procentul de exemple pozitive și exemple negative utilizat pt. Experimentul 1.....	66
Tabelul 3. Rezultatele obținute pe baza de date NIST 19 în cadrul experimentului 1.....	67
Tabelul 4. Rezultatele obținute pe baza de date NIST 19 în cadrul experimentului 2.....	71
Tabelul 5. Procentul de exemple pozitive și exemple negative utilizat pt. Experimentul 3.....	73
Tabelul 6. Rezultatele obținute pe baza de date Ocean Data în cadrul experimentului 3.....	75
Tabelul 7. Rezultatele obținute pe baza de date Ocean Data în cadrul experimentului 4.....	78
Tabelul 8. Valorile normalizate pentru cele 3 baze de cunoștințe.....	84
Tabelul 9. Valorile coeficienților pentru cele 3 modele studiate.....	88
Tabelul 10. Rezultatele obținute pe baza de date NIST 19 în cadrul experimentului 5.....	92
Tabelul 11. Procentele de recunoaștere obținute de rețeaua multilayer perceptron cu 1 neuron block.....	96
Tabelul 12. Procente de recunoaștere obținute de rețeaua multilayer perceptron clasică.....	96
Tabelul 13. Procentele de recunoaștere obținute pe setul de producție de către cele 2 rețele.....	96
Tabelul 14. Rezultatele obținute pe baza de date Ocean's Data în cadrul experimentului 7.....	100
Tabelul 15. Rezultatele obținute la experimentul 8.....	105
Tabelul 16. Rezultatele obținute la experimentul 9.....	108
Tabelul 17. Procentele de recunoaștere obținute în cadrul Experimentul 9....	122
Tabelul 18. Timpii de antrenare obținuți în cadrul Experimentul 9.....	123
Tabelul 19. Bazele de date alese și rezultatele obținute în cadrul experimentului 10.....	125
Tabelul 20. Clasele prezente în NIST 19.....	131
Tabelul 21. Numărul de instanțe pentru fiecare clasă din NIST 19.....	132
Tabelul 22. Formatul datelor de la Observatorul Martha's Vineyard.....	133

Tabelul 23. Bazele de date și numărul de instanțe din setul de antrenare de la Universitatea Carnegie Mellon	134
Tabelul 24. Caracteristicile selectate de programul Weka pentru literele „a”, „e”, „n” și „r”, reprezentate inițial printr-o matrice de 32x32pixeli	135

1. INTRODUCERE

Singurul obstacol împotriva lumii este o cunoaștere aprofundată a acesteia. (John Locke)

Supraviețuirea noastră ca indivizi și a societății ca întreg, este cea mai importantă nevoie a omenirii și de cele mai multe ori este strâns legată de cunoașterea mediului înconjurător. Pentru satisfacerea acesteia omul a trebuit să creeze diverse unelte capabile să-l ajute de-a lungul acestui proces ce durează de zeci de mii de ani.

Ca ultimă unealtă, calculatorul electronic a fost creat pentru a procesa informația la o viteză și într-un mod care depășește de miliarde de ori capacitatea creierului omenesc. Totuși, această imensă putere de calcul s-a dovedit a fi neputincioasă în rezolvarea unor probleme simple dar pentru care nu există un algoritm de calcul predefinit.

Un algoritm de calcul este, pentru un calculator, similar unei hărți pentru un om aflat prima oară într-un oraș străin. Pentru a putea ajunge într-un loc anume, omul are nevoie în permanență de a ști în ce loc se află și care este direcția în care să meargă. Din această cauză, pentru a putea servi cu succes, harta trebuie în prealabil făcută de o altă persoană care trebuie să aibă toate informațiile despre acea regiune deoarece orice inexactitate poate conduce spre un drum greșit.

Comparația unui algoritm de calcul cu o hartă pentru un om străin de un loc se încheie aici, omul dispunând de multe alte resurse pentru a putea afla un drum bun chiar și cu o hartă greșită. Astfel, un om poate afla informații întrebând un alt om, încercând să se orienteze după alte lucruri (clădiri, forme de relief, puncte cardinale, etc.), încercând aplicarea unei strategii de căutare dezvoltată într-o situație similară, etc.

Se conturează un anumit model de comportament care evidențiază clar capacitatea omului, aflat într-o situație nouă, de a lua decizii bazându-se pe experiența și pe informațiile acumulate anterior. Acest mod de lucru este caracteristic creierului și din această cauză pentru a rezolva acest gen de probleme s-a încercat dezvoltarea unor structuri care încearcă copierea lui. Plecând de la modelele neurale biologice, oamenii au încercat să folosească proprietățile și modul de construcție al acestora pentru a crea un model artificial asemănător.

Problema majoră întâlnită în procesul de construcție a fost și rămâne uimitoarea complexitate a creierului uman. „Creierul uman este lucrul cel mai minunat și cel mai misterios din tot Universul”, spune Henry F. Osborn, un renumit antropolog. Dispunând de 10^{11} neuroni (celulele nervoase) conectați între ei prin 10^{14} sinapse [1] este greu de imaginat un dispozitiv artificial capabil de a imita această complexitate.

Chiar dacă viteza de lucru pentru un neuron biologic este foarte mică în comparație cu viteza de care este capabil un calculator, datorită numărului mare de neuroni și de conexiuni, creierul uman este net superior față de cel mai dezvoltat supercalculator actual.

Mai mult, încă de la naștere, un creier are o structură care îi permite acumularea de informații și dezvoltarea unor noi reguli de aplicare a acestora, ce conduce în timp la apariția *experienței*. Aceasta ne va însoți pe toată durata vieții acumulându-se și crescând în complexitate pentru fiecare acțiune de-a noastră.

2 Concepte generale

În acest fel s-a dorit implementarea rețelelor neuronale artificiale: capabile de acumulare de cunoștințe în vederea utilizării acestora într-o situație complet similară.

1.1. Motivație

Plecând de la cele scrise mai sus, se poate spune că domeniul rețelelor neuronale artificiale este un domeniu în continuă dezvoltare cu limite care sunt departe de a fi atinse. Dacă începutul acestuia a fost dat de o mașină care să poată converti o imagine în informație și să poată ulterior să recunoască acea imagine, sfârșitul acestuia ține de domeniul filosofiei și al eticii. Spun acestea deoarece de-a lungul dezvoltării acestui domeniu s-au ridicat o serie de întrebări legate de posibile repercusiuni care pot apărea.

Vor reuși rețelele neuronale să construiască o *conștiință* în interiorul unei mașini?

Avem nevoie de o astfel de mașină, care să poată discerne informațiile și chiar să poate emite raționamente cu noțiuni complexe (exemplu fiind conceptele de *bine* și *rău*).

Unde va fi trasată granița de control asupra acestei mașini și cine va deține în viitor puterea, omul sau mașina?

Deocamdată omul este cea mai inteligentă ființă de pe Pământ și acest lucru nu se va schimba curând. În sprijinul acestei afirmații stă argumentul evoluției creierului, care de milioane de ani a parcurs rigorile de supraviețuire date de condițiile ostile de viață. Chiar dacă rețelele neuronale artificiale vor avansa într-atât de mult încât se va putea face o comparație cu creierul uman, ce ne împiedică pe noi ca indivizi să nu evoluăm mai mult decât suntem azi capabili?

De fapt, însăși dezvoltarea acestui domeniu este un act de evoluție semnificativă a omului, acesta ajungând astfel să conceapă unelte care pot modela procese, până acum considerate, strict biologice.

Un alt aspect care trebuie luat în considerare este diferența dintre cele două inteligențe, cea umană și cea artificială. Un exemplu în acest sens poate fi făcut dacă raportăm inteligența umană la inteligența unui delfin (al doilea organism viu inteligent de pe această planetă după om). Delfinii utilizează inteligența preponderent în explorarea mediului marin, deoarece, deși acesta este mai simplu decât cel terestru, necesită o coordonare mult mai complicată și mai rapidă a răspunsurilor animalelor față de factorii de mediu[2].

Așa cum inteligența delfinilor este influențată strict de mediul în care acesta trăiește se poate afirma că inteligența mașinii va fi influențată de mediul în care aceasta va fi antrenată. Este aproape imposibil de imaginat forma pe care o va lua inteligența unei rețele neuronale, dar cu siguranță suntem implicați în procesul de formare a acesteia și putem controla, cel puțin la început, toate informațiile care îi sunt accesibile.

Dacă considerăm celebrul calculator Deep Blue [3], creat special pentru jocul de șah, putem spune că această *intelligență* a fost formată numai cu scopul de cunoaștere a unui anumit joc. Cred că este oarecum ironic faptul că cea mai mare realizare a noastră în domeniul *intelligenței* este un calculator care știe să joace un singur joc, dar dacă privim la progresele care s-au făcut în ultimii 50 de ani ne dăm seama că suntem pe drumul cel bun în acest domeniu chiar dacă limita pare din ce în ce mai departe.

Început ca un model ce simula un neuron artificial, de către Warren McCulloch și Walter Pitts în 1943 [4], domeniul rețelelor neuronale este unul în continuă dezvoltare, capabil de a stimula și a înfierbânta mințile multor oameni de acum înainte. Deși ridică numeroase întrebări la care nu putem găsi încă răspuns, el oferă și numeroase soluții la problemele omeniirii. O rețea neuronală artificială, capabilă de a discerne în situații noi, este o realizare extraordinară din punct de vedere tehnologic și informațional. Deja o serie de roboți lucrează cu succes pentru noi în medii inaccesibile omului, dând dovadă de o precizie și o rapiditate imposibil de atins de către om.

În încercarea de a micșora tot mai mult distanța dintre o rețea neuronală artificială și una biologică am acordat o foarte mare atenție exemplelor negative, deoarece pentru o rețea biologică acestea sunt la fel de importante ca și cele pozitive.

De ce să nu facem un pas mai departe în acest domeniu și să-i oferim rețelei neuronale și capacitatea de a învăța și din exemple negative, lucru ce poate să-i confere acesteia o personalitate și o evoluție în viitor?

1.2. Rețele neuronale artificiale(RNA)

Rețelele neuronale artificiale sunt modele matematice care încearcă emularea unei rețele neuronale biologice(creierul uman). Pentru a arăta acest lucru vom porni de la cea mai simplă entitate prezentă în ambele rețele: neuronul.

Neuronul biologic este elementul fundamental al sistemului nervos și se prezintă schematic în Figura 1.

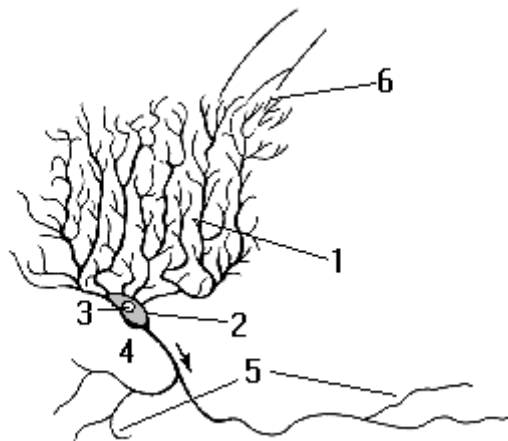


Figura 1. Reprezentarea schematică a neuronului biologic. . 1 – Arborele dendritic; 2 – Soma(corpul celular); 3 – Nucleul celulei neuronale; 4 – Axonul; 5 – Arborele axonic; 6 – conexiuni sinaptice

Neuronul biologic este o celulă capabilă de captarea, procesarea și trimiterea semnalelor electromagnetice de-a lungul conexiunilor sinaptice. Semnalele electrice primite de la alți neuroni prin intermediul conexiunilor sinaptice sunt *însulate* la nivelul corpului celular prin diverse procese fizico chimice. Atunci când potențialul recepționat depășește o anumită valoare de prag se eliberează un potențial(numit potențial de acțiune) de-a lungul arborelui axonic.[5]

4 Concepte generale

S-a observat că dacă o pereche de neuroni este stimulată succesiv crește permeabilitatea sinapsei dintre cei doi neuroni, asigurând astfel o trecere mai facilă a semnalului electric. O altă observație este aceea că potențialul de acțiune pentru un neuron nu depinde de durata sau intensitatea stimulilor având în toate situațiile amplitudinea constantă. De asemenea sinapsele neuronilor sunt de două feluri excitatoare sau inhibitoare generând astfel o sarcină pozitivă sau negativă.

De cealaltă parte, neuronul artificial se prezintă ca în Figura 2.

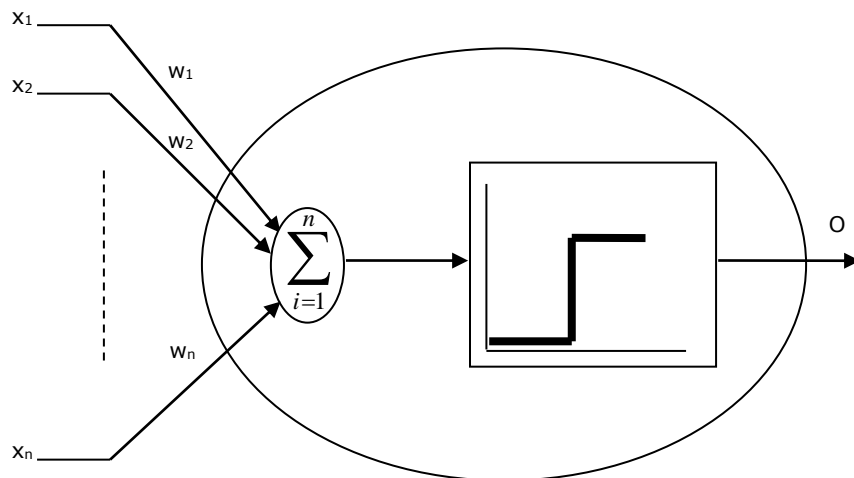


Figura 2. Modelul neuronului artificial. Vectorul X – intrările rețelei, W – ponderile rețelei, O – ieșirea rețelei

Dacă facem o comparație cu neuronul biologic observăm că rolul dendritelor este preluat de intrările neuronului, permeabilitatea sinapsei este dată de ponderile rețelei iar valoarea de prag și eliberarea potențialului de acțiune a fost înlocuită printr-o funcție de activare.

Funcționalitatea acestuia este destul de simplă: fiecare intrare are asociată o pondere; se însumează toate produsele dintre intrare și ponderea asociată obținându-se o valoare. Această valoare este aplicată unei funcții de activare, care are un rol de barieră, lăsând să treacă doar valorile ce depășesc un anumit prag.

Modelul artificial pleacă de la o descriere simplistă a neuronului biologic. Deși neuronul biologic prezintă mai multe funcții, existând chiar în forme și cu funcții diferite, procesul prin care acesta stochează și prelucrează informație este asemănător cu cel artificial. Dacă la acest nivel există o mare asemănare între cele două tipuri de neuroni, de ce rețelele neuronale artificiale nu sunt la fel de performante ca rețelele neuronale biologice?

Puterea creierului stă însă în capacitatea neuronilor de a se interconecta în rețele neuronale. Într-o astfel de rețea un neuron poate să fie conectat cu încă 10.000 de alți neuroni rezultând astfel o structură extrem de complexă (Figura 3)

Puterea de calcul ce rezidă în această interconectivitate este ilustrată de exemplul următor. Viteza de propagare a unei informații printr-un neuron biologic este de 10^{-3} secunde în timp ce viteza de propagare a informației printr-un neuron artificial este de 10^{-10} secunde, ceea ce spune foarte mult despre posibilitățile unui

calculator. Cu toate acestea recunoașterea vizuală a unei persoane apropiate se face în mai puțin de 10^{-1} secunde. Din această cauză putem nota faptul că informație nu poate parcurge mai mult de 100 de neuroni. Dată fiind complexitatea operației (calculatoarele nu sunt capabile de o asemenea procesare decât după o amplă antrenare în prealabil și nu obțin succes în toate cazurile) deducem că într-o rețea neuronală biologică operează cu succes o paralelizare masivă a informației. [6]

Acest aspect important al activității rețelei neuronale biologice este și cel mai utilizat în proiectarea rețelelor neuronale artificiale. Fiecare nou tip de rețea neuronală artificială încearcă să obțină cât mai multe avantaje din această paralelizare.

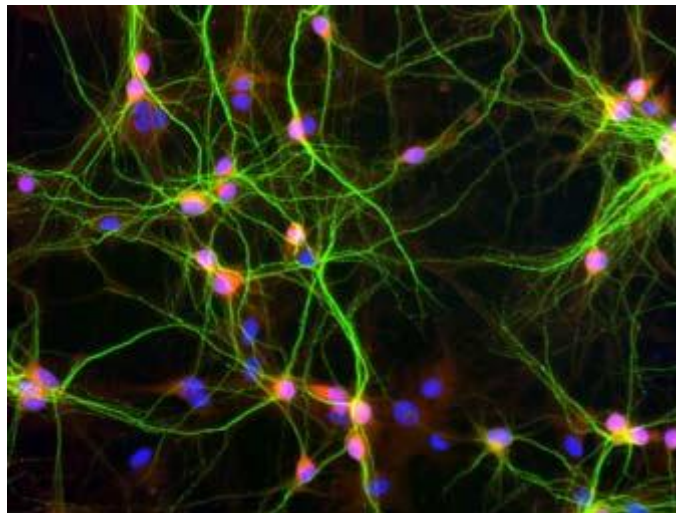


Figura 3. Interconexiunea neuronilor biologici într-o rețea neuronală

Un alt aspect pe care rețelele artificiale l-au copiat de la cele naturale este acela al creșterii permeabilității dintr-o pereche de neuroni stimulată succesiv. Plecând inițial de la prezumțiile enumerate de către Ramon y Cajal[7], Daniel Hebb definește în 1949 un concept fundamental despre modul în care omul învață[8]. El afirmă că dacă doi neuroni eliberează în același timp un potențial de acțiune, conectivitatea dintre ei va crește.

Acest concept a fost preluat de Rosenblatt abia în anul 1958, când a fost dezvoltat primul algoritm de antrenare a unei rețele neuronale artificiale.[9] Aceasta este cea mai simplă formă de rețea neuronală și a fost numită perceptron.

În 1962, Bernard Widrow și Marcian Hoff definesc algoritmul de învățare bazat pe minimizarea funcției de eroare[25]. În acest fel eroarea rezultată la ieșirile rețelei este „distribuită” ponderilor în funcție de valoarea acestora.

În 1972, Kohonen, descrie un nou tip de rețea neuronală.[10] Particularitatea acestei rețele este dată de faptul că ieșirile mai multor neuroni sunt active pentru aceeași intrare. Aceasta este văzută ca fiind o mapare între două spații diferite, unul mai dens decât altul.

Urmează o perioadă în care atenția asupra domeniului rețelelor neuronale crește foarte mult. Conceptele acestora sunt preluate de scriitori importanți și de producători de film.[11][12] Apar astfel o serie de idei negative despre roboți care domină umanitatea precum și de calculatoare dotate cu inteligență ce influențează negativ dezvoltarea rasei umane. Toate acestea duc la apariția unor critici vizavi de

6 Concepte generale

inteligența artificială și rețelele neuronale și la o diminuare a fondurilor pentru aceste domenii.

Interesul reapare în 1982, când John Hopfield de la Caltech, încearcă o nouă abordare a acestui domeniu, de această dată încercând să copieze mecanismele de gândire ale creierului și nu structura sa internă.[13]

Tot în acest an Japonia anunță începutul unei noi dezvoltări în industria calculatoarelor, și anume apariția generației a 5-a de calculatoare.[14] Impulsionată de faptul că ar putea rămâne în urmă în această competiție, Statele Unite încep să finanțeze proiectele legate de inteligență artificială și rețele neuronale.

În 1986 se dezvoltă algoritmul de antrenare pentru o rețea de tip perceptron cu mai multe straturi de către Rumelhart, Hinton și Williams.[15] Numit, „Algoritm cu propagare înapoi a erorii” acesta se dovedește a fi prea lent pentru a putea antrena o rețea neuronală complexă.

În prezent, rețelele neuronale sunt utilizate în foarte multe aplicații având un caracter „domestic”, dar antrenarea acestora este un proces de lungă durată. Performanța acestora este însă pusă în evidență atunci când avem și un hardware specializat care să implementeze electronic principiile de funcționare ale sistemului nervos.

Tocmai de aceea se pune un mare accent pe dezvoltarea neuro-chip-urilor și utilizarea acestora în procesul de creare și antrenare a rețelelor neuronale.

1.3. Obiective

Îmi propun să fac încă un pas în dezvoltarea rețelelor neuronale, prin studierea rolului pe care exemplele negative îl au în procesul de antrenare, aducând astfel RNA mai aproape de un comportament uman.

Plecând de la premisa că în dezvoltarea unui model comportamental experiențele negative au un rol cel puțin egal cu cele pozitive(cine nu a auzit de expresia „Și din greșeli ai ce înveți”) se încearcă o analiză a acestor exemple negative mergând până la modificarea topologiei rețelei neuronale pentru a accepta și accentua aceste exemple. Toate informațiile rezultate vor fi apoi utilizate pentru definirea unui nou algoritm de învățare : învățarea pe baza corecției erorii cu ajutorul exemplelor negative.

Am definit astfel ca direcție principală de cercetare, rolul exemplelor negative în antrenarea unei rețele neuronale de tip multilayer perceptron. Doresc să analizez modul în care acestea influențează procesul de antrenare și dacă este posibil, să ofer o îmbunătățire a performanțelor rețelelor.

Astfel, formulez o serie de obiective științifice ce se doresc a fi rezolvate de către această lucrare:

- **Găsirea procentului de exemple negative** care să poată fi utilizat cu succes la antrenarea rețelelor neuronale, și care să aducă un maxim de performanță la utilizarea în producție a rețelei. **Crearea unui model matematic general** pentru procesul de antrenare cu exemple negative.
- **Modificarea arhitecturii RNA** astfel încât să permită o mai bună evidențiere a exemplelor negative. În acest caz se intenționează **modificarea straturilor de ieșire** ale rețelei neuronale pentru a

permite existența unuia sau mai multor neuroni care să fie responsabili cu detectarea exemplelor negative. Acești neuroni trebuie să fie activi atunci când la intrarea rețelei este prezent un exemplu negativ.

- Cum **influențează funcțiile de activare modificarea procesului de antrenare** cu exemple negative? Pentru aceasta sunt cercetate o serie de funcții de antrenare la care se vor modifica diverși parametri. Rezultatele obținute vor fi apoi comparate și se va încerca o identificare clară a elementelor ce îmbunătățesc performanța antrenării rețelelor.
- **Metode de accelerare a antrenării unei RNA** utilizând tehnici de data mining, și asta deoarece foarte multe date care sunt folosite în etapa de antrenare prezintă foarte multe recurențe. O mai bună alegere a datelor de intrare **simplifică procesul de antrenare și aduc un plus de valoare** prin faptul că numai caracteristicile cu adevărat importante sunt luate în considerare.

Fiecare dintre aceste metode va fi inițial descrisă teoretic și se va încerca verificarea corectitudinii ei printr-o serie de experimente.

1.4. Organizarea tezei

Teza este alcătuită din 7 capitole și are următoarea structură:

După acest prim capitol introductiv, urmează **Capitolul 2**, care conține aspecte teoretice legate de principalele arhitecturi de rețele neuronale. Este făcută o trecere în revistă asupra celor mai importante rețele neuronale utilizate în prezent și sunt enunțate proprietățile și domeniile în care acestea excelează. Pentru rezolvarea unei probleme, o rețea neuronală trebuie să *învețe*, proces care apare în urma antrenării cu date specifice fiecărei probleme.

În **Capitolul 3** sunt prezentate câteva din paradigmele de învățare utilizate pentru antrenarea unei rețele neuronale. Sunt prezentați în detaliu „Algoritmul de învățare pe baza corecției erorii” și „Algoritmul de învățare Hebbiană” deoarece sunt utilizați preponderent în cursul acestei lucrări. Tot aici va apare și prima descriere pentru noua tehnică de antrenare dezvoltată în această teză. Ca ultim subcapitol sunt enunțate principalele funcții de activare și o împărțire a acestora pe categorii după felul ieșirii și în funcție de domeniul de activitate în care sunt folosite.

Prezentarea noilor metode de utilizare a exemplelor negative în procesul de antrenare este realizată în **Capitolul 4**. Capitolul începe cu o descriere a stadiului actual al domeniului antrenării rețelelor neuronale cu exemple negative și modalitățile alese de diverși autori pentru soluționarea probleme apărute. În continuare sunt prezentate trei noi metode de folosire a exemplelor negative în procesul de antrenare, care vor conduce în final la formarea unei tehnici de antrenare a RNA utilizând exemple negative.

Punctul de plecare pentru metodele nou analizate este legat de problemele antrenării unei rețele neuronale având la dispoziție un set de antrenare restrâns. S-a arătat astfel că în astfel de cazuri, cele mai multe dintre ele fiind speciale, rațiunile care au condus la micimea setului de antrenare țin de condițiile de aplicare, securitate sau resurse financiare.

O primă metodă este aceea în care procentul de exemple negative este folosit pe baza unui model matematic pentru a obține performanțe maxime la utilizarea rețelei. Am arătat astfel că antrenarea folosind un set mixt de exemple

8 Concepte generale

conferă robustețe rețelei împiedicând transformarea acesteia într-o rețea super confidentă și mult mai predispusă la erori.

A doua metodă accentuează și mai mult asupra folosirii exemplelor negative în procesul de antrenare și propune o modificare asupra configurației rețelei pentru a reuși o mai bună recunoaștere a tiparelor negative.

Modificarea presupune adăugarea unui neuron suplimentar pe ultimul strat. Acesta este numit *neuron block* și este direct responsabil de detectarea exemplelor negative; în acest caz realizându-se o îmbunătățire majoră a modului de utilizare a rețelei neuronale.

Metoda această este propusă pentru a deveni un nou algoritm de învățare. Ea se bazează pe informațiile relevate de prima metodă și are ca extensie ultima tehnică prezentată.

Ultima tehnică este cea care încearcă folosirea mai multor neuroni **block** pe stratul de ieșire fiecare dintre aceștia având funcții de activare diferite. Se încearcă în acest fel o rezolvare a problemelor care apar la antrenarea unei rețele cu un set neomogen de exemple.

Felul în care a fost implementată fiecare metodă și rezultatele obținute de aceasta se găsesc în **Capitolul 5**. Acest capitol este dedicat în întregime experimentelor efectuate, și trebuie spus că sunt foarte multe. Scopul fiecărui experiment a fost acela de a obține o reușită în validarea uneia dintre cele trei noi metode și a performanțelor obținute de aceasta. Și el, la rândul lui, este împărțit în mai multe subcapitole, câte unul dedicat fiecărei metode propuse. Trebuie menționat și primul subcapitol care se ocupă de prezentarea programelor și a seturilor de date folosite în cadrul experimentelor.

De asemenea acest capitol este responsabil și de apariția capitolului următor, **Capitolul 6**. Deoarece timpul dedicat experimentelor a fost de mai multe luni (timp în care un calculator cu procesor Quad Core a funcționat permanent antrenând simultan câte 5 rețele) a apărut ideea reducerii acestui timp prin folosirea de caracteristici ale datelor de intrare la intrarea rețelei.

Este astfel prezentată o metodă de accelerare a procesului de antrenare, prin folosirea tehnicilor de data mining, responsabilă de selecția caracteristicilor datelor de intrare și de folosirea acestor caracteristici pentru antrenare.

Performanțele obținute recomandă cu succes folosirea acestei metode, în special pentru probleme cu un număr foarte mare de intrări și un set larg de date de intrare.

Toate concluziile rezultate în urma acestei teze și posibilitățile viitoare de dezvoltare a tehnicii prezentate și a altora noi, sunt prezentate în **Capitolul 7**. Acesta rezumă și accentuează principalele idei care s-au desprins în urma acestei teze.

Teza se încheie cu o bibliografie aferentă, care a făcut posibil acest studiu, urmată de câteva anexe.

2. ARHITECTURI ALE REȚELELOR NEURONALE ARTIFICIALE

2.1. Rețele neuronale de tip perceptron

Sunt rețelele neuronale cele mai cunoscute datorită capacității acestora de generalizare adică de a opera cu date diferite de cele prezentate în etapa de antrenament. Sunt rețele în care propagarea datelor este făcută de la intrare la ieșire (*feed forward*), caracteristică care este aplicată prin faptul că un neuron poate avea ca intrări numai ieșirile neuronilor de pe straturile precedente. Vom începe analiza noastră plecând de la o rețea neuronală simplă cu un singur strat, *perceptronul simplu*, și vom continua analiza până la rețelele neuronale multistrat cu propagare înainte (multi-layer feed forward networks).

2.1.1. Perceptronul cu un singur strat

Este o rețea simplă care a reușit să stârnească interesul datorită capacității de recunoaștere a unor tipare simple. Prezentăm în Figura 4 o astfel de rețea având N intrări și o singură ieșire.

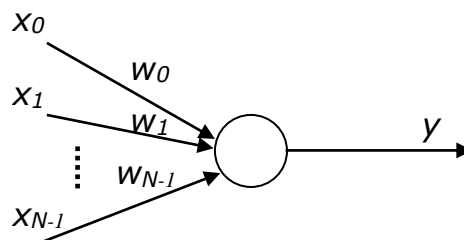


Figura 4. Perceptronul cu un singur strat

Ieșirea rețelei este calculată după următoarea formulă:

$$y = f_h \left(\sum_{i=0}^{N-1} w_i x_i - \theta \right) \quad (2.1)$$

Termenul θ poartă denumirea de *bias* și poate fi orice funcție sau constantă. Vom vedea mai târziu importanța acestui termen. Funcția de activare f_h poate fi orice funcție liniară (în acest caz avem o rețea liniară) sau neliniară. Pentru perceptronul simplu considerăm că f_h este funcția treaptă.

10 Concepte generale

$$f_h(s) = \begin{cases} 1 & \text{daca } s \geq 0 \\ -1 & \text{daca } s < 0 \end{cases} \quad (2.2)$$

Această rețea clasifică într-una din cele două clase disponibile (A sau B) un set de intrări. Astfel dacă ieșirea y este 1 atunci avem clasa A, în timp ce pentru ieșirea -1 avem clasa B. Altfel spus rețeaua reușește divizarea spațiului intrărilor în două regiuni separate de un hiperplan.

Putem observa acest lucru considerând că avem 2 intrări. În acest caz rețeaua separă spațiul intrărilor în două după o linie ce are următoarea ecuație:

$$w_1 x_1 + w_2 x_2 + \theta = 0 \quad (2.3)$$

Transformând ecuația (2.3) obținem reprezentarea geometrică a liniei ce separă cele două regiuni :

$$x_2 = -\frac{w_1}{w_2} x_1 - \frac{\theta}{w_2} \quad (2.4)$$

Observăm cum toate intrările care sunt deasupra liniei aparțin clasei A în timp ce intrările de sub linie aparțin clasei B (Figura 5).

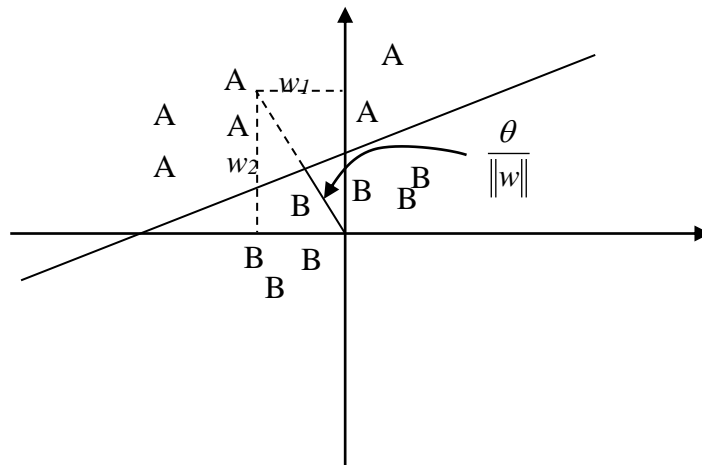


Figura 5. Reprezentarea geometrică a linear separabilității spațiului de intrare în două regiuni

Trebuie spus că ponderile determină panta liniei în timp ce termenul *bias* determină ofsetul (la ce distanță de origine este linia). Găsirea termenului *bias* și a ponderilor rețelei este posibilă în urma aplicării algoritmului de învățare asupra rețelei.

Ca și limitare a acestor rețele putem aminti problematica XOR (sau-exclusiv) sau orice tip de problema al cărui strat de intrare nu poate fi separabil în două regiuni.

2.1.2. Perceptronul cu mai multe straturi

Rețelele de tip perceptron cu mai multe straturi (multi-layer perceptron) sunt rețele de tip propagare înainte cu unul sau mai multe straturi situate între nodurile de intrare și nodurile de ieșire. Aceste straturi (straturi ascunse) conțin neuroni care nu sunt direct conectați cu intrările sau ieșirile rețelei. Toate limitările impuse de perceptronul cu un singur strat sunt depășite de acest tip de rețea.

Performanțele unei rețele de tip perceptron cu mai multe straturi constau în folosirea unor funcții de activare neliniare pentru nodurile interne. Dacă am folosi numai funcții de activare liniară putem aproxima o rețea neuronală de tip perceptron cu mai multe straturi cu o rețea de tip perceptron cu un singur strat.

Ca și arhitectură, perceptronul cu mai multe straturi se prezintă ca în Figura 6.

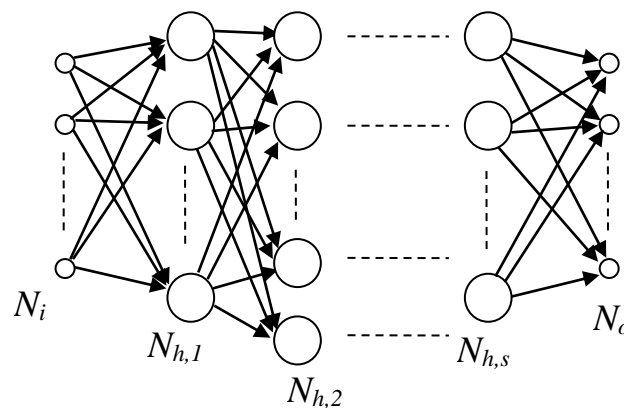


Figura 6. Perceptronul multistrat cu s straturi ascunse

Primul strat N_i este stratul de intrare. Neuronii de pe acest strat sunt lipsiți de funcția de activare, adică lasă să treacă orice valoare primită la intrare. Următoarele s straturi ($N_{h,1}$, ..., $N_{h,s}$) se numesc straturi ascunse. Fiecare strat ascuns ($N_{h,l}$) primește valori la intrare numai de la stratul anterior lui ($N_{h,l-1}$), ieșirile lui constituindu-se ca intrări pentru stratul următor ($N_{h,l+1}$). Nu sunt permise conexiuni în interiorul stratului. Ieșirile ultimului strat ascuns $N_{h,s}$ sunt intrări pentru stratul de ieșire N_o . Trebuie spus că sunt permise și conexiuni de genul *skip layer* (astfel neuronii pot primi ca și intrări, ieșirile altor neuroni care nu se află pe un strat imediat precedent lor). Conexiunile directe între stratul de intrare și cel de ieșire sunt în special foarte folositoare.

Numărul de neuroni de pe straturile ascunse poate fi diferit, de la strat la strat. Fiecare dintre acești neuroni are o funcție de activare F_i care acționează asupra intrărilor și *bias*-ului.

Minsky și Papert [16] au arătat în 1969 că o rețea neuronală de tip perceptron multistrat cu 1 strat ascuns, rezolvă multe dintre problemele rămase nerezolvate de perceptronul cu un singur strat, dar nu au putut prezenta o soluție la modul de ajustare a ponderilor în această rețea. Soluția la această problemă a venit în 1986, când Rumelhart, Hinton și Williams [17] au determinat modul de ajustare al ponderilor propagând eroarea de la stratul de ieșire spre stratul de intrare. Această tehnică s-a și numit *back-propagation*. Deși tehnica *back-propagation* poate

12 Concepte generale

fi aplicată la rețele de tip perceptron cu un număr oarecare de straturi ascunse, s-a demonstrat ([18], [19], [20], [21]), că pentru rețele cu intrări binare, un singur strat ascuns este suficient pentru aproximarea oricărei funcții ce are un număr finit de discontinuități (*Teorema aproximării universale*). În cele mai multe aplicații este utilizată funcția sigmoid ca și funcție de activare a neuronilor.

Tehnica *back-propagation* implică 2 faze:

- Prima fază – avem o intrare x pe care o aplicăm la intrarea rețelei. Valorile se propagă înainte trecând din strat în strat și ajungând până la stratul de ieșire. Comparăm valorile prezentate în stratul de ieșire al rețelei cu valorile dorite rezultând o valoare de eroare.
- Faza a doua – valorile de eroare sunt trecute invers prin rețea, de la ieșire la intrare, având ca scop modificarea ponderilor neuronilor de pe fiecare strat al rețelei.

Așa cum am spus și mai sus un singur strat ascuns e suficient pentru rezolvarea majorității problemelor. Putem folosi însă și două sau trei straturi ascunse pentru probleme dificile. Dacă numărul neuronilor de pe straturile de intrare și ieșire este ușor determinabil (ține exclusiv de natura aplicației), numărul neuronilor de pe stratul ascuns este dificil de aproximat.

Neuronii de pe straturile ascunse au rol în detectarea trăsăturilor comune pentru tiparele de antrenament. De aceea un număr prea mic de neuroni va influența negativ capacitatea de generalizare a rețelei conducând la o eroare medie pătratică mare. Un număr mare de neuroni conduce la un volum de calcul mare și mărește exponențial timpul de antrenament.

Ca și concluzie putem nota faptul că în prezent alegerea numărului de neuroni de pe stratul ascuns este făcută experimental.

2.2. Rețele neuronale bazate pe funcții radiale

Sunt la fel de cunoscute ca și rețelele de tip perceptron multistrat datorită faptului că au multe lucruri în comun cu acestea. Diferența majoră între aceste două rețele este modul de calculare al valorii de intrare aplicată funcției de activare pentru un neuron.

Astfel, rețelele de tip perceptron calculează intrarea funcției de activare ca fiind suma produselor dintre fiecare intrare a neuronului și ponderea asociată acestei intrări plus o valoare de *bias* (vezi 2.1).

Rețelele neuronale bazate pe funcții radiale (RBF – Radial basis function) au, de obicei, un singur strat ascuns pentru care funcția de activare a unui neuron este calculată ca fiind egală cu distanța euclidiană dintre vectorul intrărilor și vectorul ponderilor.

RBF nu au ceva asemănător cu termenul *bias* existent în rețelele de tip perceptron. Există însă câteva tipuri de RBF care au un termen numit grosime (*width*) asociat fiecărui neuron sau întregului strat ascuns, dar în loc să-l scădem așa cum apare el în rețelele de tip perceptron, înmulțim distanța euclidiană cu acest termen (2.5).

$$y = f_h(w * \|t - x\|) \quad (2.5)$$

f_h este ceea ce numim o funcție radială.

Caracteristica principală a acestor tipuri de funcții este aceea că valoarea lor crește(descrește) monoton cu creșterea distanței față de un punct central. Elementele de bază ale unei funcții radiale sunt: punctul central, domeniul de valori și forma precisă a graficului[22].

Exemplu: funcția Gaussiană (2.6) al cărei grafic îl putem observa în Figura 7

$$f_h(x) = \exp\left(-\frac{(x-c)^2}{r^2}\right) \quad (2.6)$$

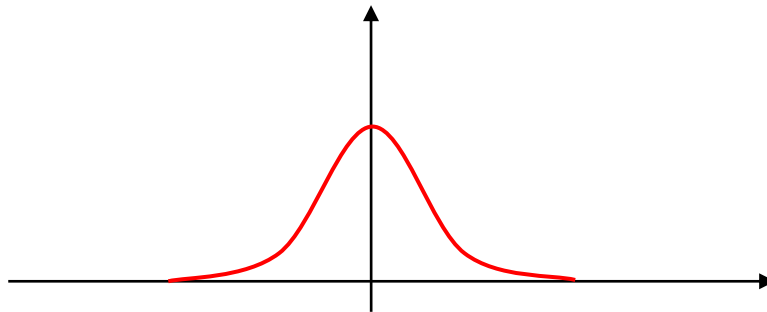


Figura 7. Graficul funcției Gaussiene

Se poate observa din Figura 7 cum creșterea distanței față de un punct central (în acest caz fiind vorba de 0), descrește valoarea funcției. Deoarece RBF bazate pe funcția Gaussiană sunt cele mai răspândite, trebuie să spunem despre ele că se împart în două tipuri[Shorten96].

Primul tip utilizează funcția de activare de tip exponențial, ceea ce face ca activarea unui neuron să fie un „cucui” Gaussian(Figura 7) ce depinde de intrări. Acest tip de RBF poartă numele de „RBF ordinare”.

La al doilea tip de RBF funcția de activare utilizează suma tuturor funcțiilor de activare de pe stratul ascuns, ceea ce face ca toate funcțiile de activare să fie normalizate la o sumă (2.7). Rețelele acestea se numesc RBF normalizate.

$$f_h(x) = \frac{f_{h,k}(\|x - c^k\|)}{\sum_{l=1}^k f_{h,l}(\|x - c^l\|)} \quad (2.7)$$

Prezentăm în Figura 8 modelul clasic al unei rețele de tip RBF.

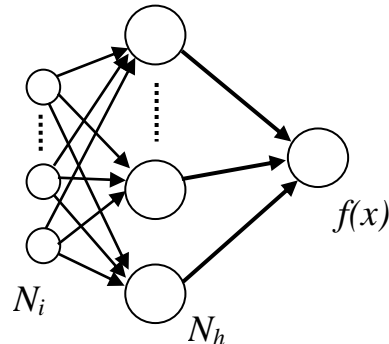


Figura 8. RBF clasică

Aceasta este compusă din n neuroni de intrare (aflați în componența stratului N_i), m neuroni din stratul ascuns (care au ca și funcții de activare, funcții radiale $f_h(x)$), ieșirile celor m neuroni fiind combinate liniar în neuronul de ieșire ($f(x)$ – funcție liniară).

Dacă avem mai mult de un strat ascuns sau dacă funcțiile radiale își schimbă forma sau punctul central, putem spune că avem o RBF neliniară.

Învățarea unei RBF este văzută ca o aproximare a unei suprafețe dintr-un spațiu multidimensional. Funcția de transfer radială are un caracter de localitate, ceea ce face ca neuronii să producă ieșiri semnificative doar pentru regiuni relativ mici din spațiul de intrare.

O bună comportare a rețelei se obține atunci când datele de intrare acoperă câmpurile receptive ale neuronilor din stratul ascuns, ceea ce presupune un număr mare de vectori de antrenament.

2.3. Memorii asociative

O memorie adresabilă prin conținut (content-addressable memory) este un tip de memorie ce permite regăsirea unor date bazându-se pe similaritățile existente între tiparele stocate în memorie și un tipar prezentat la intrare. Această memorie (adresabilă prin conținutul ei) este diferită de memoria "convențională" (adresabilă prin adresă) care pe baza unei intrări (adresă) prezintă la ieșire o anumită dată. Memoria adresabilă prin conținut primește ca intrare un tipar incomplet (contaminat) și reușește regăsirea aceluia tipar.

Exemplu: Presupunem că avem o memorie în care am stocat numele câtorva cursuri. Prezentăm ca intrare un nume de curs greșit "Inteligenț Artficală". Memoria ne va returna "Inteligența Artificială", care este numele corect al cursului. (Figura 9)

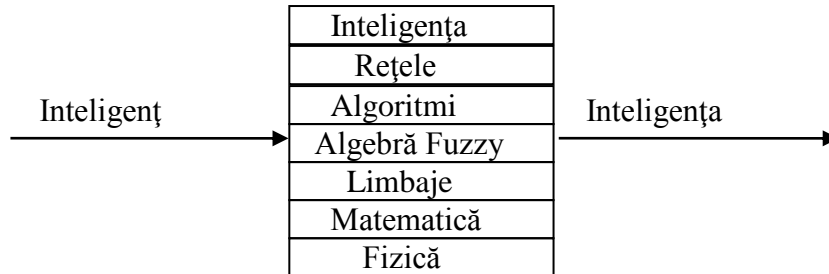


Figura 9. Modul în care acționează o memorie adresabilă prin conținut

O memorie asociativă este o structură adresabilă prin conținut care reușește asocierea a doua tipare X și Y , astfel încât având unul din tipare putem să-l regăsim pe celălalt tipar. Memoriile asociative se împart în două clase: autoasociative și heteroasociative. O memorie autoasociativă este utilizată în regăsirea unui tipar care a fost stocat anterior în memorie și care este foarte apropiat de tiparul curent ($X=Y$ în acest caz). La memoriile heteroasociative tiparul regăsit este în general diferit de tiparul de la intrare, diferență care poate fi prin tip, format sau conținut.

Prezentăm în continuare câteva rețele neuronale care sunt utilizate ca și memorii asociative.

2.3.1. Asocierea liniară

Este cel mai simplu model de memorie asociativă. Fiind cel mai simplu este și primul pe care-l vom studia. Arhitectura rețelei neuronale care implementează acest model este prezentată în Figura 10.

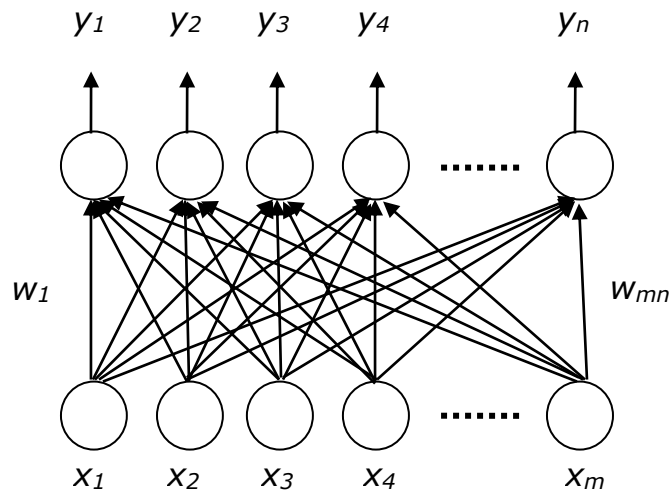


Figura 10. Arhitectura unei rețele de tip asociere liniară

Este o rețea de tip *feed forward* la care ieșirea este produsă într-un singur ciclu de calcul. Se poate observa din figură că toate cele m intrări sunt conectate cu

16 Concepte generale

toate cele n ieșiri. Memorarea celor p tipare este făcută cu ajutorul matricei ponderilor sinaptice $W = [w_{ij}]_{m \times n}$, unde w_{ij} reprezintă ponderea legăturii dintre nodul de intrare i și nodul de ieșire j .

Procesul de construcție al memoriei asociative se numește *codare* și el este făcut după formula:

$$W = a \sum_{k=1}^p W_k \quad (2.8)$$

in care:

- a este o constantă de normalitate. Este setată de obicei cu valoarea $1/p$ pentru prevenirea aparițiilor unor valori prea mari pentru ponderile w_{ij} .

- W_k numită și matrice de corelare, este matricea ponderilor sinaptice obținută la aplicarea unui tipar k . Fiecare element al acestei matrice este de forma $(w_{ij})_k$ și este calculat astfel :

$$(w_{ij})_k = (x_i)_k (y_j)_k, \quad i = 1 \dots m, j = 1 \dots n \quad (2.9)$$

unde $(x_i)_k$ este elementul i al tiparului x_k aplicat la intrare, iar $(y_j)_k$ este elementul j al tiparului y_k dorit la ieșire.

Matricea ponderilor sinaptice permite astfel stocarea/regăsirea a p perechi de tipare.

Regăsirea informației este făcută printr-un proces numit *decodare*. Astfel dacă rețelei îi oferim la intrare un tipar X , la ieșire obținem un tipar Y , calculat după următoarea formulă:

$$y_j = \begin{cases} +1 & \text{dacă } \sum_{i=1}^m x_i w_{ij} \geq \varphi_j \\ -1 & \text{altfel} \end{cases} \quad (2.10)$$

unde : x_i este elementul i al vectorului X , y_j este elementul j al vectorului Y , φ_j este valoarea de prag pentru neuronul de ieșire j .

Chiar dacă tiparul de intrare conține erori sau este incomplet, rețeaua va returna tiparul care este cel mai apropiat de acesta. Această rețea este robustă și tolerantă la erori. Performanța acestei memorii este măsurată prin *capacitatea de memorare* și prin *adresabilitatea conținutului*. *Capacitatea de memorare* se referă la numărul maxim de perechi care poate fi stocat și regăsit corect, în timp ce *adresabilitatea conținutului* este abilitatea rețelei de a regăsi tiparul corect.

2.3.2. Rețelele Hopfield

Modelul Hopfield a fost propus de John Hopfield de la Institutul de Tehnologie din California la începutul anilor 1980.

Diferența dintre modelul de *asociere liniară* și modelul *Hopfield* constă în faptul că acesta din urmă intră în categoria rețelelor neuronale de tip *feedback*. Ieșirile neuronilor sunt intrări pentru ceilalți neuroni. Sistemul efectuează mai multe cicluri de calcul până când sistemul devine stabil. Prezentăm în Figura 11 o rețea de tip Hopfield cu 5 neuroni.

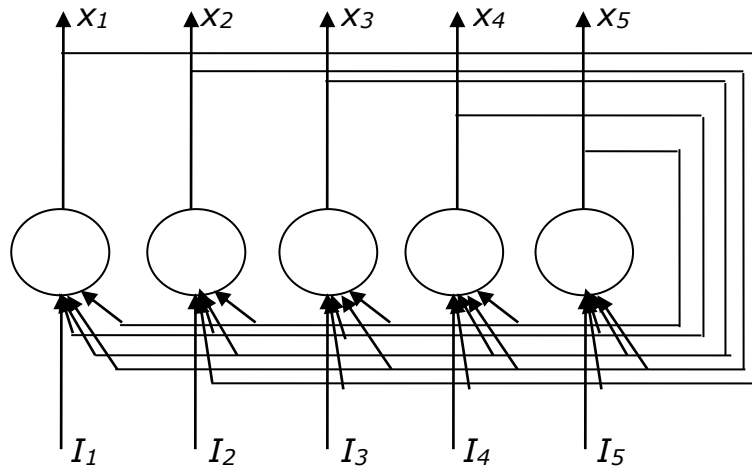


Figura 11. Arhitectura unei rețele de tip Hopfield

Spre deosebire de modelul *asociere liniară* care constă din 2 straturi de procesare (intrare și ieșire), modelul *Hopfield* constă dintr-un singur strat în care fiecare neuron este conectat cu restul neuronilor.

Matricea ponderilor sinaptice pentru modelul Hopfield este pătratică și simetrică, adică $w_{ij} = w_{ji}$, cu $i, j = 1, 2, \dots, m$. Fiecare ciclu de calcul modifică intrarea unui nod după următoarea formulă:

$$input_j = \sum_{i=1}^m x_i w_{ij} + I_j \quad (2.11)$$

în care:

- $input_j$ - intrarea nodului j
- x_j - ieșirea nodului j
- w_{ij} - element din matricea ponderilor sinaptice ($w_{ii} = 0$)
- I_j - intrare suplimentară

Introducerea unui tipar în memoria asociativă este realizată ca și la asocierea liniară prin calcularea elementelor matricei W .

$$W_k = X_k^T Y_k \quad (2.12)$$

unde $X_k = Y_k$.

$$W = a \sum_{k=1}^p W_k \quad (2.13)$$

Ultima formulă (2.13) este aplicată pentru memorarea a p tipare în memoria asociativă. Hopfield (1982) a demonstrat că rețeaua care îi poartă numele, poate stoca maxim 0.15m (m - numărul de noduri care compun rețeaua). [13]

Faza de memorare fiind terminată, rețeaua este gata pentru faza de decodare. Tiparul de intrare este introdus în rețea cu ajutorul intrărilor suplimentare I_j . La ieșirea rețelei va apărea astfel un tipar X' care datorită buclei de reacție (*feedback*) va fi trimis către intrările rețelei care va genera un nou tipar de ieșire X'' . Procesul va continua până când tiparul de la ieșire nu se va mai modifica, astfel spus rețeaua stabilizează tiparul astfel încât asupra lui nu se mai produc nici un fel de modificări.

Dacă tiparul introdus este un tipar incomplet, rețeaua va stabili în final unul dintre tiparele memorate care seamănă cel mai bine cu tiparul de la intrare. Aceasta este una din trăsăturile rețelei și poartă numele de *regăsirea tiparelor* (pattern completion), fiind foarte utilă în aplicații de procesare a imaginilor.

Pentru a calcula ieșirea nodurilor există 3 metode: sincronă (metoda paralelă), asincronă (metoda secvențială) sau hibridă (o combinație între cele două).

Utilizarea metodei sincrone presupune modificarea ieșirilor rețelei în același timp, ieșirile fiind văzute ca un grup care trebuie să fie complet înainte ca acesta să alimenteze intrările rețelei. În metoda asincronă ieșirea nodurilor este calculată într-o oarecare ordine (secvențial sau aleator) și este trimisă nodurilor separat; cum terminăm de calculat o ieșire o și trimitem să alimenteze intrările rețelei. Metoda hibridă împletește cele două metode în felul următor: se creează diverse subgrupuri care sunt calculate asincron, însă toate nodurile care aparțin unui subgrup sunt calculate sincron. Alegerea unei anumite metode are efect asupra convergenței rețelei.

Rețelele neuronale recurente au asociată o funcție de energie. Aceasta este folosită pentru demonstrarea stabilității acestui tip de rețele.

Rețele Hopfield discrete

Ieșirea unei astfel de rețele este calculată după următoarea formulă:

$$x_i(t+1) = \begin{cases} +1 & \text{dacă } input_i > \theta_i \\ x_i(t) & \text{dacă } input_i = \theta_i \\ -1 & \text{dacă } input_i < \theta_i \end{cases} \quad (2.14)$$

unde $i=1,2,\dots,m$ iar t reprezintă momente discrete de timp.

Funcția de energie pentru modelul Hopfield discret este:

$$E = -\frac{1}{2} \sum_{i=1}^m \sum_{j=1}^m x_i w_{ij} x_j - \sum_{i=1}^m x_i I_i + \sum_{i=1}^m x_i \theta_i \quad (2.15)$$

Minimul local al acestei funcții corespunde stării de stabilitate pentru un tipar memorat. Hopfield a demonstrat că energia unei astfel de rețele poate să scadă sau să rămână constantă, cu alte cuvinte e posibil ca rețeaua să convergă către un minim energetic local.

Energia unei rețele Hopfield discrete e limitată inferior la:

$$E = - \sum_{i=1}^m \sum_{j=1}^m |w_{ij}| - \sum_{i=1}^m |I_i| + \sum_{i=1}^m |\theta_i| \quad (2.16)$$

pentru toate $X_k, k=1,2,\dots,p$. Deoarece energia este limitată inferior, rețeaua va converge eventual către un minim local care corespunde unui tipar memorat.

Rețele Hopfield continue

Rețeaua Hopfield continuă este generalizarea rețelei Hopfield discrete. Unitățile acestei rețele modelează neuronul biologic prin aceea că au asociate câte o capacitate C_i și o rezistență r_i . Această capacitate și rezistență corespunde membranei celulare a neuronului. Ecuația de stare a rețelei devine astfel:

$$C_j \frac{dinput_j}{dt} = \sum_{i=1}^m x_i w_{ij} - \frac{input_j}{R_j} + I_j \quad (2.17)$$

unde:

$$\frac{1}{R_j} = \frac{1}{\rho_j} + \sum_{i=1}^m w_{ij} \quad (2.18)$$

Funcția de energie corespunzătoare acestui model este următoarea:

$$E = - \frac{1}{2} \sum_{i=1}^m \sum_{j=1}^m x_i w_{ij} x_j - \sum_{i=1}^m x_i I_i + \sum_{i=1}^m \left(\frac{1}{R_i} \right) \int_0^{x_i} f^{-1}(x) dx \quad (2.19)$$

unde f este ieșirea unui nod din rețea.

Atunci când $w_{ij} = w_{ji}$ obținem $\frac{dE}{dt} \neq 0$. Energia acestui model poate să scadă sau să rămână constantă ca și la modelul discret.

2.3.3. Memorii asociative bidirecționale (BAM)

În 1988 Bart Kosko [23] propune o extindere a Modelului Hopfield prin încorporarea unui strat adițional care să ușureze implementarea unor modele de memorie autoasociative și heteroasociative.

Pentru aceasta, Kosko a plecat de la modelul de asociere liniară la care a făcut conexiunile dintre straturi să fie bidirecționale și $w_{ij}=w_{ji}$ pentru orice $i=1,2,\dots,m$ și $j=1,2,\dots,n$. (Figura 12)

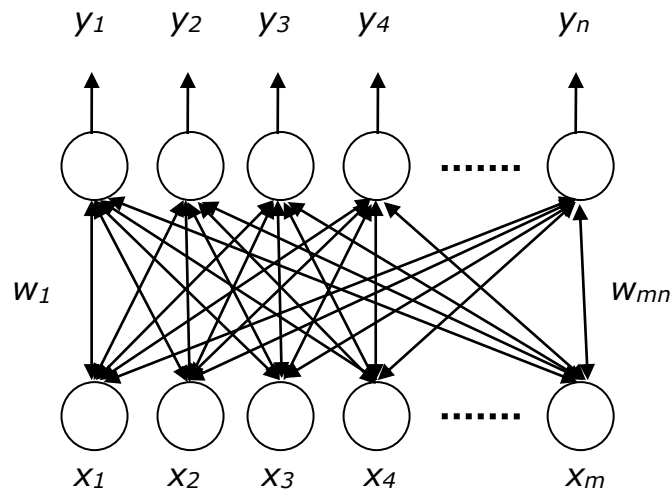


Figura 12. Arhitectura unei rețele de tip Memorie Asociativă Bidirecțională

În funcție de direcția de propagare, ambele straturi pot să fie de intrare sau de ieșire. Astfel, dacă propagarea semnalului se face de la stratul X la stratul Y, neuronii din stratul X sunt văzuți ca neuroni de intrare în timp ce neuronii din stratul Y sunt văzuți ca neuroni de ieșire. Dacă propagarea semnalului se face de la stratul Y la stratul X, atunci neuronii din stratul Y sunt văzuți ca neuroni de intrare, în timp ce neuronii de pe stratul X sunt neuroni de ieșire.

Ca și la asocierea liniară și la modelul Hopfield, introducerea unei perechi de tipare asociative în memoria asociativă bidirecțională este realizată prin calcularea elementelor matricei W .

$$W_k = X_k^T Y_k \quad (2.20)$$

și

$$W = a \sum_{k=1}^p W_k \quad (2.21)$$

Ultima formulă (2.21) este aplicată pentru memorarea a p tipare în memoria asociativă bidirecțională.

În procesul de decodare putem introduce tiparul dorit la stratul X sau la stratul Y. Tiparul este propagat către celălalt strat, care va genera un nou tipar ce va fi intrare în stratul inițial. Procesul continuă până când informația din ambele straturi nu se mai modifică. În acest caz una dintre perechile stocate în memoria asociativă este prezentă în straturile rețelei. La fel ca și la memoria Hopfield, ieșirile celor două straturi pot fi calculate sincron, asincron sau printr-o metodă hibridă.

Memorii asociative bidirecționale discrete

Într-o memorie asociativă bidirecțională discretă stratul X este considerat strat de intrare; în acest caz un tipar de intrare este propagat de la stratul X la stratul Y. Unitățile din stratul Y își vor calcula intrarea după următoarea formulă:

$$\text{input}y_j = \sum_{i=1}^m x_i w_{ij} \quad (2.22)$$

și vor avea ca ieșire:

$$y_j(t+1) = \begin{cases} +1 & \text{dacă } \text{input}y_j > 0 \\ y_j(t) & \text{dacă } \text{input}y_j = 0 \\ -1 & \text{dacă } \text{input}y_j < 0 \end{cases} \text{ pentru } j = 1, 2, \dots, n \quad (2.23)$$

Stratul Y va produce un tipar care va fi propagat în spate tiparului X; unitățile din stratul X își vor calcula astfel intrările:

$$\text{input}x_j = \sum_{i=1}^n y_i w_{ij} \quad (2.24)$$

și ieșirile stratului X:

$$x_j(t+1) = \begin{cases} +1 & \text{dacă } \text{input}x_j > 0 \\ x_j(t) & \text{dacă } \text{input}x_j = 0 \\ -1 & \text{dacă } \text{input}x_j < 0 \end{cases} \quad (2.25)$$

Funcția de energie ce caracterizează memoriile BAM este calculată:

$$E = -\sum_{i=1}^m \sum_{j=1}^n x_i w_{ij} y_j \quad (2.26)$$

Kosko a arătat în 1988 că această energie descrește sau rămâne constantă după fiecare iterație. Totodată, rețeaua converge către un minim local ce corespunde cu o pereche de tipare memorate. Energia unei BAM este limitată inferior de valoarea:

$$E = -\sum_{i=1}^m \sum_{j=1}^n |w_{ij}| \quad (2.27)$$

Memorii asociative bidirecționale continue

Unitățile din stratul X vor avea o intrare suplimentară I_i iar unitățile din stratul Y vor avea și ele o intrare suplimentară J_j , cu $i=1,2,\dots,m$ iar $j=1,2,\dots,n$. Aceste intrări suplimentare vor modifica intrările în cele două straturi astfel:

$$\text{input } x_i = \sum_{j=1}^n y_j w_{ij} + I_i \quad (2.28)$$

și

$$\text{input } y_j = \sum_{i=1}^m x_i w_{ij} + J_j \quad (2.29)$$

Energia unei astfel de rețea este:

$$E = -\sum_{i=1}^m \sum_{j=1}^n f(x_i) f(y_j) w_{ij} - \sum_{i=1}^m f(x_i) I_i - \sum_{j=1}^n f(y_j) J_j + \sum_{i=1}^m \int_0^{x_i} f'(x_i) x_i dx_i + \sum_{j=1}^n \int_0^{y_j} f'(y_j) y_j dy_j \quad (2.30)$$

2.4. Rețele neuronale cu autoorganizare

Există numeroase situații când nu există nici o informație referitoare la intrările și ieșirile unei rețele neuronale. Rețeaua însăși trebuie să descopere tipare, trăsături, regularități și corelații existente în datele de intrare precum și modul de codare sau reprezentare internă al acestora, pentru a-l furniza ieșirilor.[24]

Ca și exemple de aplicație pentru acest tip de rețele, putem defini următoarele:

- Avem un set de intrări pe care dorim să-l grupăm în mai multe mulțimi. Pentru aceasta, rețeaua trebuie să găsească aceste mulțimi, adică numărul și tipul de elemente specifice fiecărei mulțimi. Ieșirea rețelei trebuie să indice mulțimea de care aparține o intrare dată.
- Reducerea dimensiunii: rețeaua trebuie să găsească o funcție care să permită reducerea dimensiunii datelor de intrare fără a pierde posibile variații ale acestora. Astfel, datele de intrare sunt grupate în submulțimi, care au o dimensiune mai mică decât cele originale.
- Cuantizare vectorială: trebuie găsită o discretizare optimă între datele de intrare (considerate un spațiu continuu) și datele de ieșire (reprezentarea discretă).

Există multe rețele neuronale care se înscriu în această categorie. Ca și trăsătură generală putem enunța faptul că învățarea este efectuată fără vreo supervizare exterioară, algoritmi folosiți bazându-se de obicei, pe o formă de competiție între neuroni.

2.4.1. Rețele neuronale de tip clustere

Aceste rețele au o arhitectură relativ simplă. Astfel, dacă la intrare avem date de dimensiune N , și dorim împărțirea acestor date în K clase, avem următoarea arhitectură (Figura 13):

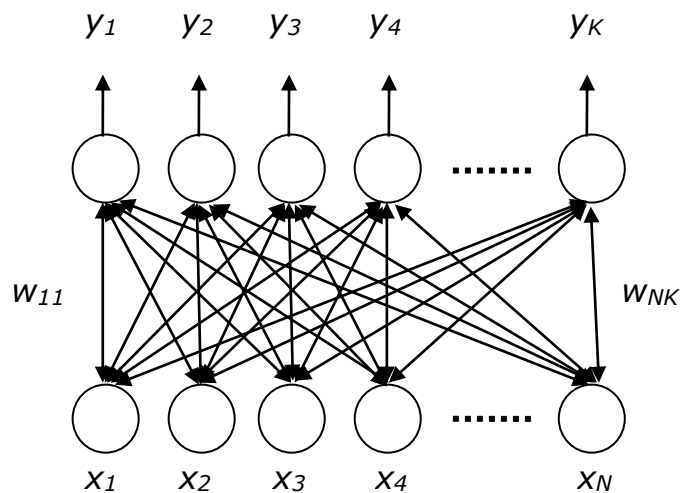


Figura 13. Arhitectura unei rețele de tip clustere

Toate nodurile de ieșire sunt conectate cu toate nodurile de intrare, ponderile conexiunilor putând fi organizate într-o matrice cu K linii și N coloane. Dacă antrenăm corect rețeaua toate intrările care vor aparține de un cluster vor activa un singur neuron de ieșire. Fiecare cluster va avea ca și prototip linia neuronului activat.

Ca și funcționare a rețelei putem spune: dacă la intrare este prezent un vector de N elemente, la ieșire rețeaua va activa unul din cele K noduri. Nodul de ieșire activ va fi determinat într-un proces de competiție care presupune calcularea pentru fiecare din vectorii prototip a unei măsuri de similaritate cu intrarea curentă. Prototipul cu măsura de similaritate cea mai bună este cel care activează ieșirea rețelei.

Prezentăm un algoritm de tip WTA (winner take all) în care măsura de similaritate este distanța euclidiană dintre 2 vectori.

- Se inițializează prototipurile – completarea unei matrice W cu K linii și N coloane cu valori aleatoare.
- Se ajustează iterativ prototipurile – pentru un vector de intrare dat se calculează distanța euclidiană dintre vectorul intrare și fiecare prototip.

24 Concepte generale

- Se alege distanța euclidiană cea mai mică (măsura de similaritate cea mai bună) și se ajustează vectorul prototip corespunzător acestei distanțe după formula:

$$W^k = W^k + \eta(t)(X^l - W^k) \quad (2.31)$$

Se poate observa din această formulă că vectorul care determină ieșirea învingătoare este mărit pentru ca detecția acestuia să devină mai simplă.

2.4.2. Rețele neuronale de tip cuantizare vectorială

Aceste rețele împart mulțimea vectorilor de intrare în clase, în scopul reprezentării vectorului prin clasa asociată acestuia. Diferența dintre rețelele neuronale de tip cuantizare vectorială și cele de tip clustere este aceea, că în timp ce rețelele de tip clustere sunt interesate în găsirea similarităților dintre mai multe date (pentru a reuși formarea unui cluster), rețelele neuronale de tip cuantizare vectorială încearcă împărțirea întregului spațiu de intrări.

Putem spune că prin cuantizare se asigură împărțirea unui domeniu al datelor de intrare în mai multe regiuni, fiecare regiune având ca reprezentant un vector prototip (codebook vector). În felul acesta fiecare vector dintr-o regiune poate fi asociat cu un scalar, asigurându-se astfel o compresie a datelor de intrare.

Ca și potențial pericol putem observa o pierdere a anumitor caracteristici ale datelor de intrare. Cuantizarea trebuie să țină cont de acesta, asigurând acolo unde este cazul o partiționare mai fină (rezultând astfel mai multe prototipuri în acea regiune).

Cuantizarea este folosită în aplicații în care se dorește o compresie a datelor; de exemplu telecomunicațiile sau stocarea de date. Descriem în continuare două metode de utilizare a rețelelor neuronale de tip cuantizare vectorială.

Counter propagation

Aceste rețele pot aproxima cel mai bine funcțiile reale de tipul:

$$f : R^n \rightarrow R^m \quad (2.32)$$

În Figura 14 este prezentată o rețea care combină un strat de tip cuantizare vectorială cu unul de tip rețea cu propagare înainte cu rol de aproximare funcțională.

Fiecare neuron o din stratul de ieșire are asociat o valoare a funcției f de forma $[w_{1o}, w_{2o}, \dots, w_{ho}]^T$. Această valoare este reprezentativă pentru valorile $f(x)$, cu x situându-se în „intervalul acoperit” de către ieșirea o . Modalitatea de implementare a aproximării funcției este următoarea: este necesară o tabelă de căutare (*look-up table*) în care unei intrări x îi este asociată o valoare k din tabelă, astfel încât pentru orice altă valoare o din tabelă, să avem următoarea inegalitate:

$$\forall o \neq k, \quad \|x - w_k\| \leq \|x - w_o\| \quad (2.33)$$

cea ce se traduce prin: fiecare intrare are asociată ieșirea corespunzătoare ei (care îi este cea mai „apropiată”), iar valoarea acestei ieșiri care este de forma $[w_{1k}, w_{2k}, \dots, w_{hk}]^T$ este o aproximare a valorii funcției $f(x)$.

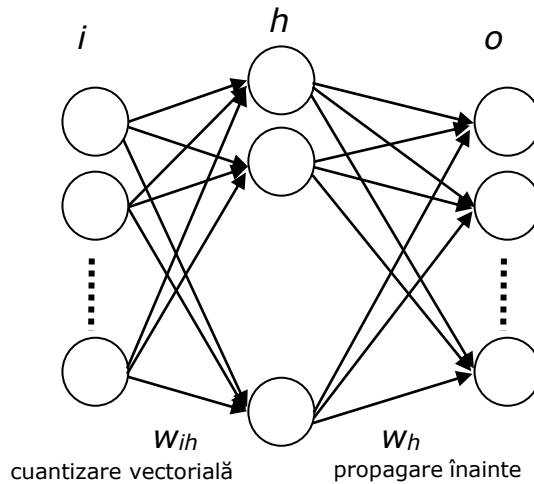


Figura 14. Arhitectura unei rețele de tip cuantizare vectorială

Cuantizarea vectorială poate fi făcută atât înainte cât și în același timp cu învățarea aproximării funcției. Folosind ca și exemplu rețeaua din Figura 6 putem superviza învățarea ei urmând pașii:

- Alegem seturile $(x, f(x))$ cu care vom efectua antrenarea; observăm astfel că dorim cuantizarea funcției $f(x)$.
- Efectuăm cuantizarea vectorială (nesupervizat) astfel: pentru fiecare vector w_k , calculăm distanța dintre el și o intrare x și alegând cea mai mică distanță, determinăm câștigătorul k . Modificăm apoi ponderile astfel:

$$w_k(t+1) = w_k(t) + \eta(x(t) - w_k(t)) \quad (2.34)$$

- Efectuăm aproximarea funcțională (supervizat) astfel:

$$w_{ko}(t+1) = w_{ko}(t) + \eta(f(x) - w_{ko}(t)) \quad (2.35)$$

- Se observă că avem formula regulii delta în care

$$y_o = \sum_h y_h w_{ho} = w_{ko} \quad (2.36)$$

- neuronul k este câștigător și ieșirea dorită este dată de $d=f(x)$.

26 Concepte generale

Fiecare valoare din tabela de căutare reprezintă o „*medie*” a tuturor intrărilor din subspațiul definit de respectiva valoare din tabelă.

Trebuie spus că această rețea nu reprezintă cu acuratețe orice tip de funcție. Astfel dacă avem o combinație de funcții sin și cos o rețea de tipul multistrat cu un algoritm de tip back-propagation este indicat a fi folosită. Totuși dacă intrările sunt un subspațiu din R^n și ne așteptăm ca funcția f să fie discontinuă în multe puncte, atunci combinația oferită (o rețea de cuantizare și o rețea de aproximare) este foarte indicat de folosit. Oricare dintre cele 2 rețele poate să fie înlocuită cu una mai performantă; rețeaua de aproximare poate să fie de tipul multistrat, iar rețeaua de cuantizare poate să fie de tip Kohonen.

Învățarea prin cuantizare vectorială (LVQ)

Este o tehnică de învățare supervizată prin care se încearcă o delimitare mai fină a spațiului de intrări furnizând în final mai multe clase (fiecare clasă conține un spațiu al intrărilor). Deși în literatura de specialitate apar mai mulți algoritmi LVQ (Learning Vector Quantization) toți au la bază următorul algoritm:

- Fiecărui neuron de ieșire o îi este asociată o clasă y_o
- Fiecare set de antrenament este compus din două valori: vectorul de intrare x^p și clasa corectă y_o^p
- Calculând distanțele dintre vectorul de intrare x^p și vectorii pondere w_o putem determina atât cel mai bun vector k_1 cât și următorul vector performant k_2 . Astfel:

$$\|x^p - w_{k_1}\| < \|x^p - w_{k_2}\| < \|x^p - w_o\| \quad \forall o \neq k_1, k_2 \quad (2.37)$$

- Comparând clasele rezultate $y_{k_1}^p$ și $y_{k_2}^p$ cu răspunsul d^p putem avea diverse criterii de modificare selectivă a ponderilor cu ajutorul ecuației:

$$w_k(t+1) = w_k(t) + \eta(x(t) - w_k(t)) \quad (2.38)$$

Astfel, algoritmului LVQ2 creat de Kohonen folosește următoarea strategie de modificare a ponderilor: dacă $y_{k_1}^p \neq d^p$ și $y_{k_2}^p = d^p$ și există

ε a.i. $\|x^p - w_{k_2}\| - \|x^p - w_{k_1}\| < \varepsilon$ atunci

$$w_{k_1}(t+1) = w_{k_1}(t) - \eta(x - w_{k_1}(t)) \quad (2.39)$$

și

$$w_{k2}(t+1) = w_{k2}(t) + \eta(x - w_{k2}(t)) \quad (2.40)$$

Diferența dintre algoritmi de tip LVQ constă în diferite implementări ale algoritmului de bază și se referă la definirea claselor corecte, câți vectori următori folosim, ce regulă de modificare a ponderilor folosim, etc.

2.4.3. Rețele Kohonen

Sunt rețele de tip SOM ce permit proiectarea vectorilor de intrare N dimensional într-un spațiu discret, de obicei 1 sau 2 dimensional, și care asigură conservarea relațiilor de vecinătate existente în datele de intrare.

Modul de funcționare al acestei arhitecturi este bazat pe următoarea regulă: dacă avem 2 tipare de intrare alăturate și ieșirile corespunzătoare intrărilor, trebuie să fie apropiate; altfel spus ieșirile trebuie să fie ordonate topologic.

Prezentăm arhitectura unei rețele Kohonen (Figura 15)

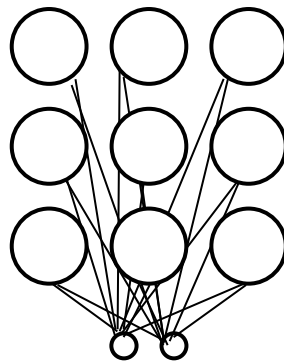


Figura 15. Arhitectura unei rețele Kohonen cu nivel funcțional bidimensional, cu două noduri de intrare și 9 noduri de ieșire

Putem spune că o rețea neuronală de tip Kohonen este compusă numai dintr-un strat de intrare și unul de ieșire, nu este prezent nici un strat ascuns. De asemenea toate intrările sunt total conectate la toate ieșirile (avem o rețea complet conectată).

Antrenarea unei rețele de tip Kohonen presupune:

- Alegerea unui tipar de intrare și prezentarea acestuia la stratul de intrare al rețelei
- Determinarea unui nod învingător
- Ajustarea ponderilor pentru toate nodurile aflate în vecinătatea nodului învingător după formula:

$$w_o(t+1) = w_o(t) + \eta g(o,k)(x(t) - w_o(t)) \quad \forall o \in S \quad (2.41)$$

unde: $g(o,k)$ este o funcție descrescătoare ce exprimă distanța dintre o (nodul din vecinătate) și k (nodul câștigător). Trebuie menționat că atât dimensiunea vecinătății cât și rata de învățare descresc în timp.

28 Concepte generale

Pentru o mai bună antrenare a rețelei intrările trebuie normalizate și uniform distribuite de-a lungul intervalului datelor de intrare.

3. ALGORITMI DE ÎNVĂȚARE

3.1. Noțiuni generale

În capitolul precedent am încercat să parcurgem câteva dintre cele mai cunoscute arhitecturi ale rețelelor neuronale. Fiecare dintre aceste rețele au proprietăți care le fac să fie excelente în anumite domenii. Pentru rezolvarea problemelor din domeniile respective, rețelele neuronale trebuie să *învețe*, proces care apare în urma antrenării cu date specifice domeniului. Rețeaua neuronală învață pe baza unui proces iterativ de ajustare al ponderilor sinaptice și eventual al nivelului de activare. Dacă procesul de învățare decurge bine, atunci rețeaua neuronală acumulează tot mai multe informații, la fiecare iterație.

Pentru clarificarea noțiunii de „proces de învățare” propunem următoarea definiție:

Învățarea este un proces prin care parametrii rețelei neuronale sunt adaptați permanent prin intermediul unor stimuli proveniți de la mediul înconjurător căruia îi aparține rețeaua neuronală. Tipul de învățare este determinat de forma de modificare a parametrilor rețelei neuronale.

Acest lucru este important deoarece noțiunea de învățare este specifică multor domenii. Definiția de mai sus este folosită numai în contextul calculului neuronal și conține următoarea secvență de evenimente:

- Rețeaua neuronală primește stimuli de la mediul înconjurător. Acest lucru este necesar deoarece rețeaua neuronală trebuie să dobândească cunoștințe din domeniul în care ea activează.
- Primind acești stimuli din mediul exterior, ea își modifică parametrii interni (ponderi, rata de învățare, structura nodurilor) pentru a face față cât mai bine solicitărilor din acel mediu.
- În urma modificărilor parametrilor, rețeaua răspunde mediului într-un mod diferit de cel precedent.

Se observă din această definiție, cum rețelele neuronale încearcă o adaptare la mediul în care ele sunt antrenate. Adaptarea apare în urma procesului de învățare și presupune modificări interne ale rețelei neuronale.

Să încercăm să dăm o formulare matematică acestui proces descris mai sus. Cel mai simplu mod de adaptare presupune modificarea ponderilor dintre neuroni. Astfel:

$$w_{ji}(t + 1) = w_{ji}(t) + \Delta w_{ji}(t) \quad (3.1)$$

- $w_{ji}(t + 1)$ și $w_{ji}(t)$ reprezintă ponderea nouă și ponderea veche pentru legătura w_{ji} care unește axonul neuronului i de o dendrită a neuronului j .
- $\Delta w_{ji}(t)$ reprezintă valoarea aplicată ponderii $w_{ji}(t)$, la momentul t , pentru obținerea valorii $w_{ji}(t + 1)$ la momentul $t + 1$

Ecuția prezentată încearcă să ilustreze modul prin care o rețea neuronală *învață*. Așa cum a fost definită noțiunea de *învățare* putem regăsi cele 3 evenimente

30 Concepte generale

în ecuația (3.1). Astfel : rețeaua neuronală primește stimuli de la mediul înconjurător în vederea ajustării $w_{ji}(t)$; primind acești stimuli din mediul exterior, ea își modifică parametrii interni rezultând o nouă pondere $w_{ji}(t + 1)$ care definește schimbarea din rețeaua neuronală. În urma modificărilor parametrilor, rețeaua răspunde mediului într-un mod diferit de cel precedent (diferența fiind dată de valoarea $\Delta w_{ji}(t)$).

Am definit noțiunea de *învățare*, trebuie în continuare să definim modul cum această noțiune este implementată în cadrul rețelelor neuronale:

Vom numi algoritm de învățare, un set de reguli predefinite care soluționează problema „învățării”.

Trebuie spus că, pentru o anumită rețea neuronală nu există un unic algoritm de învățare. Modalitatea de a calcula modificarea ponderii $\Delta w_{ji}(t)$ este diferită în funcție de tipul algoritmului folosit. S-a observat însă că anumite rețele neuronale răspund mai repede și mai bine în urma antrenării cu un anumit algoritm, de aceea majoritatea rețelelor neuronale includ unul sau doi algoritmi care sunt indicați a fi folosiți pentru acea rețea.

Un alt factor important relativ la procesul de învățare este modalitatea de interacțiune existentă între rețeaua neuronală și mediul înconjurător. Pornind de la aceasta definim:

Vom numi paradigmă de învățare, un model al mediului înconjurător în care are loc procesul de învățare al rețelei neuronale.

Prezentăm în Figura 16 o modalitate de clasificare a algoritmilor și a paradigmele de învățare

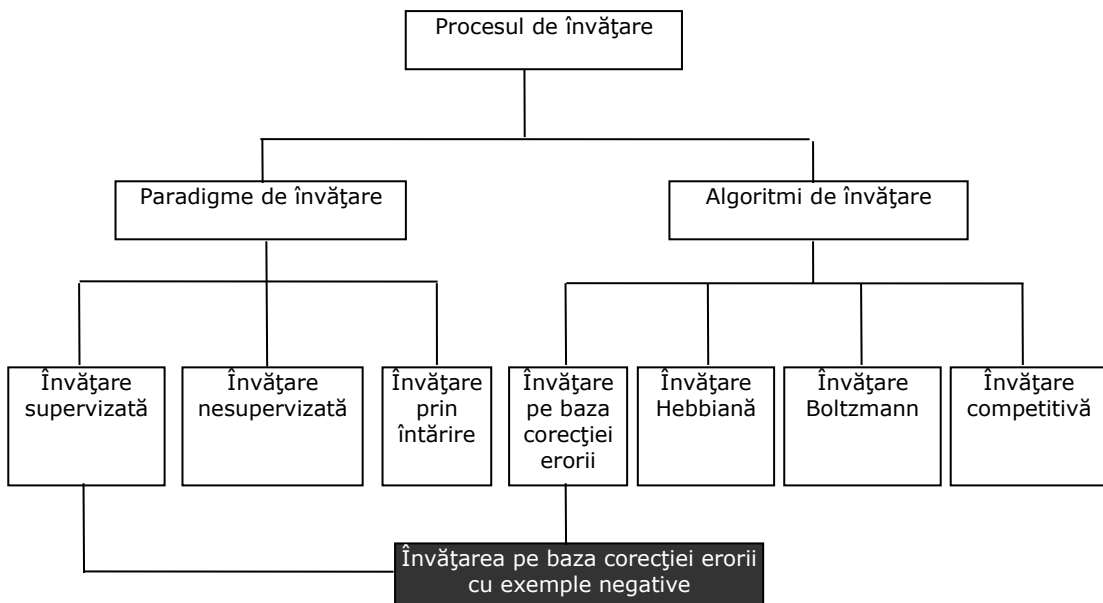


Figura 16. Taxonomia fundamentală a procesului de învățare.

Trebuie menționat că existența unui număr foarte mare de clasificări la ora actuală, face ca cea utilizată de noi să cuprindă numai principalele direcții ale algoritmilor și paradigmelor de învățare.

3.2. Paradigme de învățare

3.2.1. Învățare supervizată

Așa cum reiese din nume, învățarea supervizată este efectuată cu ajutorul unei „supervizor”(profesor). Acesta dispune de un set de date de antrenare de forma $(x(n), z(n))$ în care $x(n)$ este un vector intrare, iar $z(n)$ este un vector ieșire corespunzător intrării.

Metodele ce sunt caracterizate de paradigma „învățării supervizate” au următoarea diagramă de funcționare (Figura 17).

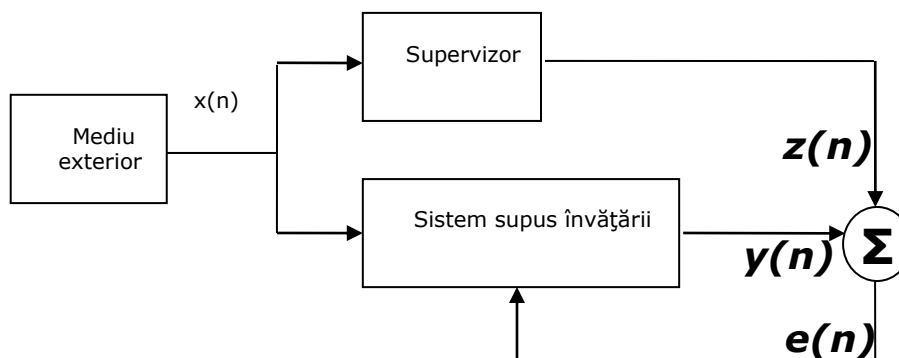


Figura 17. Sistem cu învățare supervizată

Se observă cum vectorul $x(n)$ este aplicat sistemului și acesta are ca răspuns ieșirea $y(n)$. Diferența dintre răspunsul actual al sistemului $y(n)$ și răspunsul dorit $z(n)$ este vectorul eroare $e(n)$. Pe baza acestui vector sistemul își va modifica structura internă pentru a încerca minimizarea acestuia.

Putem aborda acest tip de învățare atunci când avem definit setul de date de antrenament, adică atunci când avem cunoștințe apriorice despre mediu exterior.

Tehnica de învățare „Învățarea pe baza corecției erorii cu exemple negative” propusă în această teză face parte din această categorie. Pentru acest tip de învățare vectorul $x(n)$ poate lua valori pozitive și valori negative.

3.2.2. Învățare nesupervizată

Este caracterizată de absența unui supervizor. În acest caz sistemul trebuie să descopere singur legăturile dintre datele furnizate la intrare. În absența supervizorului, nu cunoaștem ce răspuns trebuie să ofere sistemul atunci când i se prezintă o anumită intrare. Singur, trebuie să descopere corelații între datele de intrare și să încerce ca acestea să fie evidențiate în ieșirile lui.

32 Concepte generale

Acest lucru este posibil numai dacă în datele de intrare este prezentă o anumită redundanță. Fără aceasta, sistemului îi va fi imposibil să detecteze trăsăturile comune dintre mai mulți vectori de intrare.

Diagrama unui sistem supus unui algoritm de învățare nesupervizat este prezentă în Figura 18.

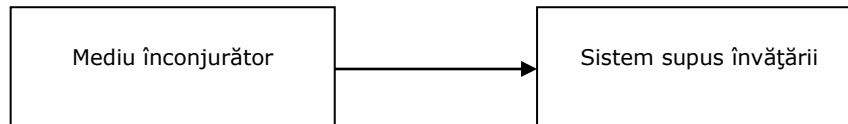


Figura 18. Sistem cu învățare nesupervizată

Se poate observa din figură cum mediul înconjurător acționează direct asupra sistemului, acesta neputând primi informații și din altă parte.

3.2.3. Învățare prin întărire

Învățarea prin întărire are la bază studiile efectuate asupra psihologiei animalelor. S-a observat că animalele sunt învățate mai ușor să efectueze anumite acțiuni dacă acestea sunt recompensate în cazul în care efectuează acțiunea, respectiv pedepsite dacă nu efectuează acțiunea. Pe baza acestei idei, sistemul supus învățării încearcă anumite acțiuni asupra mediului înconjurător. Fiecare dintre aceste acțiuni are ca rezultat (în urma unei evaluări) un indice de performanță numit *semnal de întărire*.

Sistemul va fi astfel încurajat să producă numai acțiunile care au efecte pozitive și va fi descurajat să producă acțiuni care au ca efect stări negative. Învățarea prin întărire urmărește maximizarea *recompensei* primite. *Recompensa* poate fi de două feluri: *recompensă imediată* (obținută prin trecerea sistemului într-o nouă stare) și *recompensă subsecventă* (obținută în stările următoare ale sistemului).

În cadrul RL se pot observa două faze: *explorare* (este o fază în care se achiziționează date) și *exploatare* (datele acumulate sunt prelucrate în scopul maximizării *recompensei*). Există o problemă legată de aceste faze, în sensul că pentru o valoare mare a recompensei este de preferat alegerea unei acțiuni cunoscute care are ca și rezultat o recompensă mare (*exploatare*), în timp ce noi acțiuni obținute în faza de *explorare* pot avea valori mult mai mari ale recompensei.

Diagrama unui sistem supus învățării prin întărire este prezentată în Figura 19.

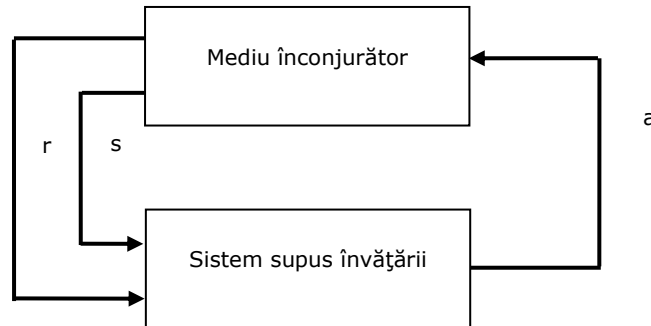


Figura 19. Sistem cu învățare prin întărire

Mărimile care descriu modelul RL sunt următoarele: intrarea s (specifică starea mediului la un moment de timp), ieșirea a (acțiunea pe care o întreprinde sistemul asupra mediului), intrarea r (recompensa – valoare primită de sistem în urma acțiunii a), politica π (comportamentul sistemului la un moment de timp), funcția valoare $V(s)$ (evaluarea stării s pe termen lung).

3.3. Algoritmi de învățare

3.3.1. Învățare pe baza corecției erorii

Introducem următoarele noțiuni:

- $x(n) = (x_1, x_2, \dots, x_i)$ un vector de intrare aplicat unei rețele neuronale
- $y(n) = (y_1, y_2, \dots, y_i)$ vectorul de ieșire obținut de rețeaua neuronală în urma aplicării lui $x(n)$ la intrare
- $z(n) = (z_1, z_2, \dots, z_i)$ vectorul de ieșire dorit, când la intrare este prezent vectorul $x(n)$

În timpul procesului de învățare vectorii $z(n)$ și $y(n)$ nu sunt identici. Diferența dintre ei este notată cu $e(n)$ și reprezintă vectorul eroare obținut pentru intrarea $x(n)$.

Așa cum am definit procesul de învățare putem regăsi stimulul mediului înconjurător în vectorul $x(n)$, răspunsul rețelei neuronale în vectorul $y(n)$, iar adaptarea rețelei neuronale va fi dată de analiza vectorului $e(n)$.

Învățarea acestui algoritm este dată de corecția vectorului eroare $e(n)$. Pe baza acestui vector putem defini o funcție eroare (sau de cost) care trebuie minimizată.

Cea mai des utilizată funcție de eroare este funcția abatere medie pătratică MSE (Mean Square Error), definită astfel:

$$e(n) = z(n) - y(n) \quad (3.2)$$

Așa cum am definit procesul de învățare putem regăsi stimulul mediului înconjurător în vectorul $x(n)$, răspunsul rețelei neuronale în vectorul $y(n)$, iar adaptarea rețelei neuronale va fi dată de analiza vectorului $e(n)$.

34 Concepte generale

Învățarea acestui algoritm este dată de corecția vectorului eroare $e(n)$. Pe baza acestui vector putem defini o funcție eroare (sau de cost) care trebuie minimizată.

Cea mai des utilizată funcție de eroare este *funcția abatere medie pătratică MSE (Mean Square Error)*, definită astfel:

$$MSE = E \left[\frac{1}{2} \sum_{k=1}^o e_k(n)^2 \right] \quad (3.3)$$

unde am notat cu E operatorul de medie statistică, iar $e_k(n)$ este eroarea obținută la nivelul fiecărui neuron din stratul de ieșire. Astfel, la momentul n putem spune că eroarea dată de rețeaua neuronală în analiza unui stimul exterior este calculată cu formula (3.3).

Dacă vectorul de antrenament $x(n)$ este al n -lea vector din mulțimea vectorilor de antrenament putem defini *funcția eroare generală* care ține cont de diferența dintre vectorii de ieșire $y(n)$ și vectorii țintă $z(n)$ relativ la toată mulțimea de antrenament (am notat cu P numărul total de vectori de antrenament). Putem scrie:

$$MSE_{general} = E \left[\frac{1}{2} \sum_{m=1}^P \sum_{k=1}^o (e_k(m))^2 \right] \quad (3.4)$$

Procesul de minimizare a funcției eroare MSE în raport cu parametrii rețelei neuronale (deci și în funcție de procesul de învățare) este o optimizare cunoscută numită *metoda gradientului descendent*.

Metoda de optimizare necesită informații despre natura statistică a procesului. De cele mai multe ori aceste informații nu sunt cunoscute; în acest caz, considerăm o soluție aproximativă a problemei de optimizare, și anume, vom lua în considerare suma pătratelor erorilor instantanee dintre vectorul de ieșire $y(n)$ și vectorul țintă $z(n)$:

$$MSE = \frac{1}{2} \sum_{k=1}^o e_k(n)^2 \quad (3.5)$$

Procesul de învățare va consta în minimizarea funcției eroare (3.5), în raport cu ponderile sinaptice w_{ji} , pe baza metodei gradientului conjugat. O metodă de ajustare a ponderilor este oferită de Widrow și Hoff (regula delta)[25]

$$\Delta w_{ji} = -\eta \frac{\delta MSE}{\delta w_{ji}} = \eta e_j(n) x_i(n) \quad (3.6)$$

Constanta reală η reprezintă *rata de învățare*. Din formula (3.6) se poate observa că ajustarea ponderilor sinaptice în procesul de învățare este proporțională cu produsul dintre stimulul (semnalul) de intrare și semnalul de eroare.

Dacă am reprezenta graficul funcției eroare în raport cu ponderile sinaptice w_{ji} ce caracterizează rețeaua neuronală, am obține o hiper-suprafață, numită suprafața eroare. Putem întâlni două cazuri distincte în studiul suprafeței eroare, și anume:

- dacă rețeaua neuronală este constituită doar din neuroni ce au ca funcție de activare funcția liniară $f : R \rightarrow R, f(x) = ax + b$ (neuroni liniari), suprafața eroare are un *punct de minim unic*.
- dacă rețeaua neuronală este constituită din neuroni ce au ca funcție de activare, funcții neliniare (neuroni neliniari) (funcția

$$\text{treaptă(Heaviside)} \quad f : R \rightarrow \{0, 1\}, f(x) = \begin{cases} 1, & x \geq 0 \\ 0, & x < 0 \end{cases}, \quad \text{funcția}$$

$$\text{rampă} \quad f : R \rightarrow [-1, 1], f(x) = \begin{cases} 1, & x \geq 1 \\ x \in (-1, 1), & \text{etc.}, \\ -1, & x < -1 \end{cases}, \quad \text{atunci}$$

suprafața eroare are un punct de *minim global* și numeroase alte *minime locale*.

Putem spune că minimizarea erorii pentru un neuron liniar este mai ușor de făcut decât pentru un neuron neliniar. În oricare situație, procesul de învățare sau de minimizare a funcției eroare consta din pornirea dintr-un punct arbitrar al suprafeței eroare (ce se obține din valorile de inițializare ale ponderilor rețelei neuronale), și din deplasarea pas cu pas către punctul de minim global.

Ca și dezavantaj putem evidenția situația când deplasarea către punctul de minim global este blocată într-un punct de minim local.

3.3.2. Învățare Hebbiană

În lucrarea sa „The Organization of Behavior”[8], Hebb emite una din cele mai faimoase ipoteze din neuropsihologie:

”Când un axon al celulei nervoase A este suficient de aproape de faza de excitare a unei celule nervoase B, și în mod repetat sau persistent ia parte la activarea sa, un anumit proces de creștere sau de modificare metabolică are loc într-una sau în ambele celule nervoase, astfel încât eficiența celulei nervoase A este mărită din punct de vedere al contribuției la activarea celulei B”.

Acest lucru a fost implementat la nivelul algoritmilor de învățare astfel: dacă 2 neuroni sunt activi simultan, atunci ponderea legăturii dintre aceștia este mărită; dacă 2 neuroni sunt activi asincron, atunci ponderea legăturii dintre aceștia este micșorată sau legătura este distrusă.

Formularea matematică a acestui algoritm este

$$\Delta w_{ji} = f(y_j(n), x_i(n)) \tag{3.7}$$

36 Concepte generale

unde $f(y_j(n), x_i(n))$ este o funcție de două variabile, prima variabilă reprezentând activitatea pre-sinaptică $y_j(n)$, iar a doua variabilă reprezentând activitatea post-sinaptică $x_i(n)$.

Putem scrie ecuația (3.7) și având forma:

$$\Delta w_{ji} = \eta y_j(n) x_i(n) \quad (3.8)$$

în care am notat cu η rata de învățare. Creșterea exponențială a lui Δw_{ji} însă principalul dezavantaj în acest caz, conducând la apariția unui termen de uitare. Ecuația (3.8) devine:

$$\Delta w_{ji} = \eta y_j(n) x_i(n) - \alpha y_j(n) w_{ji}(n) \quad (3.9)$$

3.3.3. Învățare Boltzmann

Este inspirată dintr-o metodă ce are la bază o metodă probabilistică derivată din teoria termodinamicii și din teoria informațională.

Rețeaua neuronală este reprezentată printr-o structură recurentă, în care neuronii sunt reprezentați într-o manieră binară. Un neuron activ are o stare cu valoarea (+1) în timp ce un neuron inactiv are o stare cu valoare (-1). Întreaga rețea neuronală este caracterizată de o funcție de energie E calculată astfel:

$$E = -\frac{1}{2} \sum_i \sum_{j, i \neq j} w_{ji} s_j s_i \quad (3.10)$$

unde s_i reprezintă starea neuronului i , s_j reprezintă starea neuronului j , iar w_{ij} reprezintă ponderea sinaptică dintre neuronii i și j .

Mașina Boltzmann are următorul algoritm de operare:

- se alege un anumit neuron din structura internă a rețelei s_i . Se citește starea curentă a acestuia și se modifică: $s_j \rightarrow -s_j$
- modificarea stării unui neuron este făcută la o anumită „temperatură” T și cu probabilitatea

$$W(s_j \rightarrow -s_j) = \frac{1}{1 + e^{\frac{\Delta E_j}{T}}} \quad (3.11)$$

în care ΔE_j reprezintă modificarea energetică a rețelei neuronale în urma modificării stării neuronului s_j

- aplicarea acestei reguli în mod treptat conduce rețeaua neuronală către un punct de *echilibru termic*.

Pe lângă neuronii ce urmează comportamentul algoritmului descris (*neuroni vizibili*) există și neuroni care au un mod de operare liber (*neuroni invizibili*).

Modurile de operare ale rețelei sunt și ele în număr de 2:

- *condiții impuse* – neuronii vizibili *copiază* o stare specifică mediului înconjurător;

- *condiții libere* - toți neuronii, vizibili și invizibili sunt lăsați liber.

Dacă notăm cu:

- C_{ji}^+ corelația condițională dintre stările neuronilor i și j , aflați în condiții impuse (adică modul în care neuronul i influențează pe neuronul j în anumite condiții impuse).
- C_{ji}^- corelația necondițională dintre stările neuronilor i și j , aflați în condiții libere (adică modul în care neuronul i influențează pe neuronul j fără nici un fel de condiții impuse).

În care C_{ji}^+ și C_{ji}^- sunt calculate ca medii ale tuturor stărilor posibile ale rețelei neuronale, când aceasta a atins punctul de *echilibru termic*. Formula matematică pentru aceste corelații este:

$$C_{ji}^+ = \sum_a \sum_{\beta} P_{a\beta}^+ S_{j|a\beta} S_{i|a\beta} \quad (3.12)$$

$$C_{ji}^- = \sum_a \sum_{\beta} P_{a\beta}^- S_{j|a\beta} S_{i|a\beta} \quad (3.13)$$

unde am notat:

- $S_{i|a\beta}$ – starea neuronului i , dacă neuronii vizibili se găsesc în starea A și neuronii invizibili se găsesc în starea B;
- $P_{a\beta}^+$ – probabilitatea condițională ca neuronii vizibili să se găsească în starea A iar toți neuronii invizibili în starea B, dacă rețeaua neuronală este în modul de operare impus;
- $P_{a\beta}^-$ – probabilitatea condițională ca neuronii vizibili să se găsească în starea A, iar toți neuronii invizibili în starea B, dacă rețeaua neuronală este în modul de operare liber;

În urma acestor considerații regula de învățare Boltzmann este definită matematic în felul următor:

$$\Delta W_{ji} = \eta (C_{ji}^+ - C_{ji}^-), i \neq j \quad (3.14)$$

Parametrul η reprezintă rata de învățare a sistemului supus unui algoritm de învățare de tip Boltzmann.

3.3.4. Învățare competitivă

Se bazează pe competiția dintre neuronii stratului de ieșire. În acest algoritm este activat un singur neuron, spre deosebire de alți algoritmi la care puteau fi activi mai mulți neuroni.

Scopul acestui algoritm este *specializarea* fiecărui neuron în recunoașterea anumitor trăsături din datele de intrare.

Formularea matematică a acestui algoritm este dată de relația:

$$\Delta w_{ji} = \begin{cases} \eta(x_i - w_{ji}), & \text{daca } j \text{ este neuronul câștigător} \\ 0, & \text{daca neuronul } j \text{ nu este învins} \end{cases} \quad (3.15)$$

Se poate observa cum ponderea w_j a neuronului j care a câștigat competiția se apropie de tiparul vectorului intrare x .

Acest algoritm trebuie să aibă definit un mecanism ce permite competiția dintre neuroni și alegerea unui neuron ca fiind câștigător al competiției. Acest lucru trebuie să permită ca la un moment de timp să avem activat un singur neuron.

3.3.5. Învățarea pe baza corecției erorii cu exemple negative

Face parte din ramura paradigmelor de învățare supervizate și are la bază tehnica de învățare pe baza corecției erorii. Este un nou tip de învățare și a fost dezvoltată pornind de la următoarele informații:

- un studiu asupra rolului exemplilor negative în antrenarea rețelelor neuronale de tip multilayer perceptron. În urma acestui studiu a fost propus și un model general de antrenare cu exemple negative
- o nouă tipologie de rețea neuronală cu un neuron adițional pe stratul de ieșire responsabil cu detectarea exemplilor negative

Toate acestea au condus la formarea unei noi tehnici de antrenare care folosește un procent exact de exemple negative în setul de antrenare și utilizează un neuron suplimentar pe stratul de ieșire pentru a semnaliza tiparele negative de la intrare.

Exemplele negative au fost utilizate până în prezent ca mijloc de control asupra confidenței rețelei și indirect pentru îmbunătățirea performanțelor rețelei. Prin noua tehnică ele devin parte intrinsecă a procesului de antrenare conducând la obținerea unor performanțe superioare celor atinse în prezent.

3.4. Funcții de activare

Funcțiile de activare sunt folosite pentru calculul ieșirii unui neuron. Valorile de ieșire tradiționale pentru un neuron sunt 0 (reprezintă faptul că acel neuron este inactiv) și 1 (reprezintă faptul că acel neuron este activ). Valoarea obținută la ieșire

este calculată pe baza intrărilor neuronului și a ponderilor asociate fiecărei intrări (3.16) .

$$y = f_h \left(\sum_{i=0}^{N-1} w_i x_i \right) \tag{3.16}$$

În această formulă f_h este funcția de activare și ea este aleasă în funcție de topologia rețelei și de datele cu care lucrează rețeaua neuronală.

Pentru straturile ascunse ale rețelei funcțiile de activare trebuie să fie din categoria funcțiilor neliniare. Astfel ele introduc neliniaritatea în neuronii ascunși, fără de care aceștia nu ar fi decât simpli perceptroni. Motivul este acela că o funcție compusă din mai multe funcții liniare este tot o funcție liniară, ceea ce transformă rețeaua neuronală într-una cu 2 straturi, unul de intrare și unul de ieșire. Puterea neuronilor ascunși rezidă din neliniaritatea de care aceștia dau dovadă, fapt ce conduce la obținerea unei rețele neuronale cu straturi ascunse.

Dacă folosim tehnica de antrenare de tip backpropagation, trebuie să avem grijă ca funcția de activare să fie diferențiabilă, deoarece avem nevoie de derivata ei în etapa de modificare a ponderilor. Dacă funcția de activare are valori de ieșire pe un interval finit obținem un plus de performanță pentru această tehnică.

Pentru neuronii ascunși este de preferat să folosim funcția sigmoidă în defavoarea funcției de prag. Acest aspect este util la antrenarea rețelei neuronale, deoarece pentru funcția prag ieșirea poate lua doar câteva valori. Astfel, se creează cazuri în care, deși modificăm intrarea rețelei neuronale, ieșirea rețelei nu se modifică. În acest caz este dificil să spunem dacă modificarea produsă este sau nu benefică antrenării.

Prezentăm în Tabelul 1 definiția principalelor funcții de activare și intervalul în care acestea pot lua valori. Se poate observa că majoritatea funcțiilor sunt diferențiabile și au la ieșire valori cuprinse într-un interval finit.

Funcția	Definiție	Intervalul în care poate lua valori
Identitate	$f(x) = x$	$(-\infty, +\infty)$
Logistică	$f(x) = \frac{1}{1 + e^{-x}}$	$(0, +1)$
Hiperbolică	$f(x) = \frac{e^x - e^{-x}}{e^x + e^{-x}}$	$(-1, +1)$
Exponențială	$f(x) = e^{-x}$	$(0, +\infty)$
Softmax	$f(x) = \frac{e^x}{\sum_i e^{x_i}}$	$(0, +1)$

40 Concepte generale

Sumă unitate	$f(x) = \frac{x}{\sum_i x_i}$	$(0, +1)$
Radical	$f(x) = \sqrt{x}$	$(0, +\infty)$
Sinus	$f(x) = \sin(x)$	$[0, +1]$
Rampă	$f(x) = \begin{cases} -1 & , x \leq -1 \\ x & , -1 < x < +1 \\ +1 & , x \geq +1 \end{cases}$	$[-1, +1]$
Treaptă	$f(x) = \begin{cases} 0 & , x < 0 \\ +1 & , x \geq 0 \end{cases}$	$[0, +1]$
Tangentă hiperbolică	$f(x) = \tanh(x)$	$[-1, +1]$

Tabelul 1. Definiția principalelor funcții de activare

Există și o împărțire a funcțiilor de activare pe categorii, în funcție de valoarea pe care rețeaua neuronală o prezintă la ieșire. Astfel avem următoarele categorii:

- Dacă ieșirile rețelei sunt binare se utilizează funcțiile logistică și softmax. Problemele care se încadrează în această categorie sunt acelea de recunoaștere de tipare, de clasificare, etc. Funcția softmax este predominant folosită la stratul de ieșire pentru un sistem de clustere. Aceasta convertește o valoare brută într-o probabilitate posterioară ce ne oferă o măsură a certitudinii.
- Pentru ieșiri ale rețelei care se doresc a fi continue și limitate de un interval avem funcția de activare logistică, sinus și tangentă hiperbolică. În această categorie se regăsesc funcții de aproximare, metode de interpolare și metode statistice.
- Pentru ieșiri continue și nelimitate avem funcția exponențială, radical sau identitate.

4. ÎMBUNĂTĂȚIREA PERFORMANȚELOR REȚELELOR NEURONALE – ANTRENAREA CU EXEMPLE NEGATIVE

4.1. Problematica

Rețelele neuronale își dovedesc în principal utilitatea în rezolvarea unor probleme dificile, cum sunt cele de estimare, identificare și predicție, sau de optimizare complexă. Domeniul de aplicabilitate al acestora este foarte vast, ele însoțindu-ne în viața de zi cu zi, fie prin încorporarea lor în aparate electrocasnice (telefon celular, mașină de spălat, televizor, cuptoare cu microunde, etc.) sau interacționând cu ele prin intermediul diverselor aspecte ale vieții curente (recunoaștere forme, recunoaștere vorbire, diagnostic automat, etc.).[26]

Realizarea unei astfel de rețele este făcută în mai mulți pași. Un prim pas este acela prin care se selectează un anumit tip de rețea neuronală (feed forward, recursivă, Kohonen, etc.) și se definește o configurație pentru acea rețea (numărul de straturi, numărul de neuroni, funcție de activare, etc.). Pasul următor, odată ce s-a ales rețeaua pentru o anumită aplicație, este procesul de antrenare al rețelei. Ultimul pas este acela în care rețeaua neuronală este testată pe un set de date cât mai general și în funcție de rezultatul obținut, fie procesul este reluat de la pasul 1, fie rețeaua poate fi utilizată cu succes.

Antrenarea unei rețele neuronale este posibilă datorită interacțiunii multiple dintre om și obiectul ce are incorporată rețeaua neuronală. Așa cum știm[27], pentru antrenarea unei rețele neuronale trebuie parcurse 2 faze: cea de explorare și cea de exploatare. În faza de explorare se achiziționează datele ce sunt folosite în faza de exploatare.

Există o problemă legată de aceste faze, în sensul că pentru o valoare mare a ratei de recunoaștere este de preferat alegerea unei acțiuni cunoscute care are ca și rezultat o recompensă mare (*exploatare*), în timp ce noi acțiuni obținute în faza de *explorare* pot avea valori mult mai mari ale ratei de recunoaștere. Această problemă este rezolvată prin introducerea în setul de antrenare a unor date corespunzătoare unor acțiuni cât mai variate. Diversitatea datelor din etapa de *explorare*, asigură o antrenare robustă a rețelei neuronale, aceasta fiind pregătită pentru etapa finală de testare și pentru etapa de utilizare.

O altă problemă care apare în timpul antrenării rețelelor neuronale artificiale este legată de mărimea setului de antrenare achiziționat în etapa de *explorare* și utilizat în faza de *exploatare*. Rețelele neuronale sunt metode de învățare statistică și, după cum se observă și în numeroase studii [28][29], rata de recunoaștere a rețelei crește odată cu creșterea setului de antrenare. Din această cauză, pentru obținerea unor rate de recunoaștere mari setul de antrenare trebuie să fie foarte mare (Figura 20).

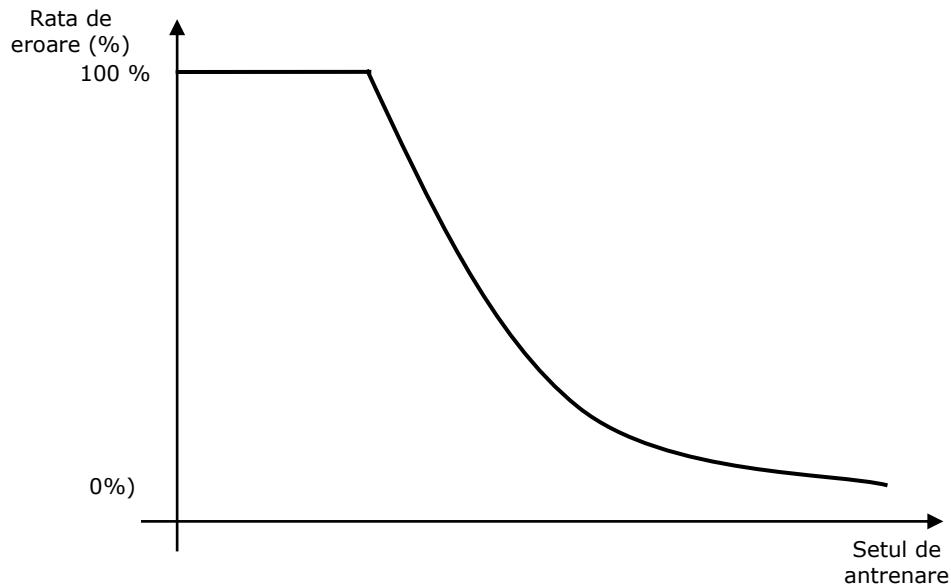


Figura 20. Evoluția valorii ratei de eroare pentru o rețea neuronală în funcție de mărimea setului de antrenare folosit

Din figură se poate observa că rețeaua începe să învețe pentru o valoare minimă a numărului de tipare din setul de antrenare. De asemenea se poate observa că rata de eroare și setul de antrenare sunt într-o relație liniară pe un anumit interval, în final relația dintre ei devenind exponențială și apoi asimptotică. Acest lucru face ca mărimea setului de antrenare să aibă valori critice pentru anumite intervale.

Indiferent de perioada de timp de care discutăm, au fost și există situații [30][31][32][33] în care obținerea datelor pentru faza de explorare este un proces foarte dificil dacă nu imposibil de realizat. Aceste situații au cauze multiple putând enumera:

- distanța foarte mare – pentru prelevare de roci lunare, antrenarea trebuie făcută cu date care pot fi furnizate numai de telescoape sau alte sisteme de achiziționare a datelor de la distanțe mari [33]
- inaccesibilitate – pentru prelevare de roci din interiorul unui vulcan, antrenarea trebuie făcută cu date culese de sisteme care să reziste la anumite temperaturi și presiuni foarte ridicate [30]
- domenii de frontieră – detectarea unor noi virusi; antrenarea unei rețele neuronale trebuie făcută cu date despre care nu știm dacă sunt adevărate sau false. Fiind un domeniu nou, putem doar presupune referitor la validitatea acestor date [32]
- confidențialitatea datelor – dacă dorim să antrenăm o rețea neuronală care să poată detecta cu succes anumite semnături „inamice” pe un radar, obținerea unor date de antrenare pentru rețeaua neuronală este o operație riscantă și foarte costisitoare. [31]

Cu toate acestea, în fiecare dintre aceste exemple s-a antrenat o rețea neuronală care a fost folosită ulterior în faza de exploatare. Setul de date folosit la antrenarea rețelelor neuronale a trebuit extins în toate cazurile, deoarece inițial era prea mic pentru acest proces. Extinderea lui a fost posibilă astfel:

- datelor inițiale li s-au adăugat alte date generate pe calculator, acestea din urmă fiind obținute în urma unor operații de procesare a primelor (procesarea este făcută cu diverși algoritmi). Acest lucru conduce la obținerea unui set mărit de date de antrenare, lucru dorit de noi, însă ca și problemă putem spune că toate aceste date au strămoși comuni. Acest dezavantaj face ca rețeaua neuronală să recunoască cu succes numai anumite trăsături, acelea care sunt conținute de setul inițial de date. Metoda poartă numele de *generare de exemple virtuale*. [34][35]
- la antrenarea rețelei au fost folosite exemple negative generate pe calculator prin diverse distorsionări severe ale datelor inițiale. Această metodă reușește să limiteze efectele metodei *generare de exemple virtuale*, prin aceea că specifică zonele în care rețeaua neuronală trebuie să genereze o valoare scăzută a funcției de recunoaștere. Metoda se numește *incorporare de exemple virtuale negative*. [36][31]

Astfel, putem concluziona faptul că obținerea unui set inițial de date pentru antrenarea rețelei este un proces dificil și în unele cazuri imposibil. Prin tehnici de generare de exemple pozitive și negative s-a reușit îmbunătățirea acestei probleme, dar nu rezolvarea ei în totalitate. Generarea unor noi exemple din exemplele aflate la dispoziție nu face decât să amestece anumite caracteristici deja existente în setul de antrenare. Acest proces nu este capabil de a adăuga noi caracteristici setului de antrenare.

Un alt aspect negativ în procesul de antrenare al rețelei este acuratețea datelor de antrenare. În cele mai multe aplicații de clasificare cu ajutorul rețelelor neuronale dorim să reușim clasificarea tuturor datelor de intrare într-un număr fix de clase. Există situații reale în care datele de intrare prezente în faza de utilizare a rețelei nu reușesc să fie clasificate în clasele deja învățate de către rețea. Aceste exemple se numesc exemple *confuze* sau *străine* și astfel dintr-o problemă de clasificare obținem o problemă de recunoaștere.

În problemele de recunoaștere avem mult mai multe exemple de clase de intrare decât suma tuturor claselor învățate de către rețea, deoarece apar și exemple care nu aparțin nici unei clase deja învățate. Astfel în problemele de recunoaștere, pe lângă acuratețea clasificării (care rămâne în sine un scop), se dorește și recunoașterea exemplilor străine și refuzarea lor. Acest lucru poate dăuna totuși unei importante caracteristici a rețelei neuronale, și anume capacității de generalizare a acesteia. Găsirea unei proporții echilibrate între exemplele de intrare ce pot fi clasificate cu succes de către rețeaua neuronală și exemplele *confuze* este în sine o problemă care nu are încă o rezolvare totală. Există studii care sugerează valori empirice ale acestor valori, specifice fiecărui tip de problemă ce se dorește a fi rezolvată cu rețelele neuronale.

O posibilitate a rezolvării conflictului dintre capacitatea de generalizare a rețelei și capacitatea de refuzare a exemplilor confuze este valoarea de prag [37], dar deși aceasta ne conferă o oarecare lejeritate în decizie, forma funcției de decizie este determinată numai de setul de antrenare și de topologia folosită în construirea rețelei neuronale.

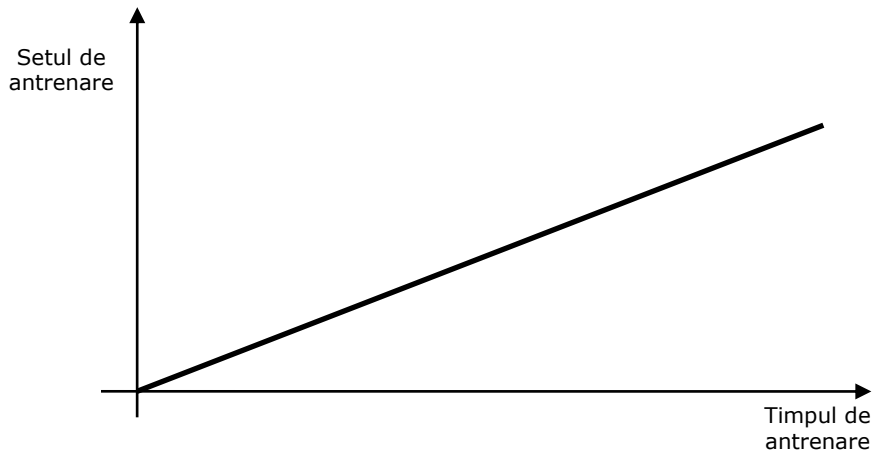


Figura 21. Graficul timpului de antrenare al unei rețele neuronale în funcție de mărimea setului de antrenare folosit

Mărimea setului de antrenare presupune și o mărire a timpului de antrenare, aspect care poate crea anumite probleme (o mărire a setului de antrenare cu 80% poate aproape dubla timpul de antrenare). (Figura 21)

Putem găsi oare o soluție pentru toate aceste probleme? Răspunsul este „Da” și va fi prezentat în capitolul următor.

4.2. Rezolvarea propusă

Toate problemele antrenării unei rețele neuronale prezentate în capitolul 4.1 au ca punct de pornire micimea setului de antrenare. Am prezentat câteva dintre soluțiile curente pentru mărirea lui și anume *generarea de exemple negative* și *generarea de exemple pozitive*. Ambele soluții se bazează exclusiv pe extinderea setului *curent* de exemple, extindere care este efectuată în cele 2 direcții, noi exemple pozitive sau noi exemple negative.

Antrenarea unei rețele neuronale pentru aplicații de clasificare are ca singur scop folosirea acesteia în faza de testare pentru clasificarea intrărilor viitoare. O bună parte dintre aceste intrări nu reușesc să fie clasificate sau sunt clasificate incorect.

Ce-ar fi dacă rețeaua neuronală ar reuși să clasifice și intrările care nu aparțin nici unei clase de la ieșire? Cu alte cuvinte dacă rețeaua neuronală nu este 100% sigură căreia clase de la ieșire îi aparține intrarea curentă, în unele cazuri ea poate fi sigură 100% că aceasta nu aparține nici unei clase.

Acest lucru ar putea fi implementat numai dacă am acorda importanță egală exemplilor negative ca și celor pozitive. Fiecare exemplu folosit ca intrare de rețeaua neuronală în faza de antrenare, trebuie să aibă asociată o clasă la ieșire. Această clasă poate fi una din clasele dorite sau o clasă specială în care avem toate exemplele care nu aparțin nici unei clase dorite.

Ideea care stă la baza implementării acestei ipoteze a venit din domeniul învățării automate. Acest domeniu este responsabil cu învățarea de către calculator a anumitor concepte, care implică mecanisme adaptabile.[38][39][40] Învățarea

automată nu face uz de un set foarte mare de cunoștințe, atât din cauza costurilor mari presupuse de acumularea unor baze de informații mari cât și din cauza complexității memorării și prelucrării unui volum mare de informații. Acest lucru este ideal situației noastre, în care avem la dispoziție un set mic de exemple în setul de antrenare.

Ca și rețelele neuronale, învățarea trebuie să ducă la formularea de suficiente „reguli” atât cât să permită rezolvarea unor probleme dintr-un spațiu mai larg decât cel pe baza căruia s-a făcut învățarea, sistemul fiind astfel capabil de rezolvarea unor noi probleme.[41][42]

Mecanismele adaptabile folosite în domeniul învățării automate sunt capabile de învățare din experiență, învățare din exemple sau învățare prin analogie.[43][44] Fiecare dintre aceste mecanisme presupune în primul rând identificarea și implementarea unei modalități cât mai eficiente de a reprezenta informații, în sensul facilitării căutării, reorganizării și modificării lor.

Bazându-ne pe un exemplu din [45] prezentăm în continuare modalitatea de învățare a unei noțiuni cu ajutorul mecanismelor propuse de domeniul învățării automate. Se poate observa grafic (Figura 22) că pentru învățarea noțiunii de „arcadă” au fost propuse 4 exemple: 2 negative și 2 pozitive.

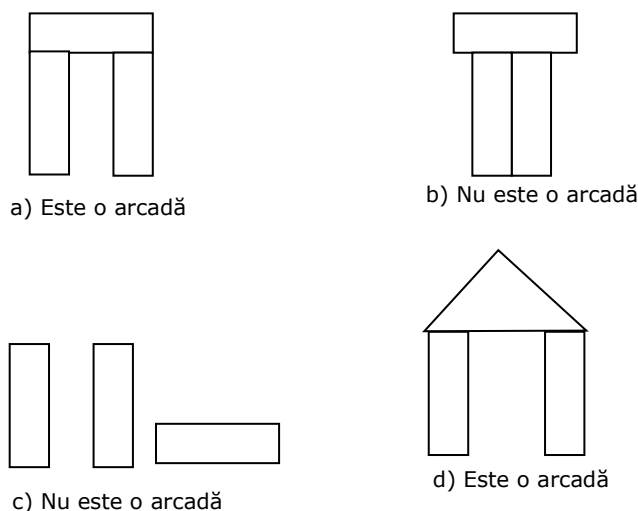


Figura 22. Definiția noțiunii de arcadă

Învățarea din exemple poartă numele de *inductive learning* (învățare inductivă).[46][47][48] Calculatorul este *ajutat* să învețe conceptul de arcadă cu ajutorul exemplurilor negative și exemplurilor pozitive. Exemplele sunt procesate rând pe rând, fiecare dintre acestea modificând conceptul curent al noțiunii ce trebuie învățată. Definiția numită și *ipoteză curentă* (current hypothesis) trebuie să susțină la final toate exemplele care au fost procesate de către calculator. Putem spune că o definiție a unui obiect poate conține atât caracteristici ce aparțin aceluși obiect cât și caracteristici care nu aparțin obiectului. Cele două tipuri de caracteristici sunt *extrase* și asimilate de mecanismul de învățare în funcție de natura exemplului prezent la intrare.

46 Învățarea pe baza corecției erorii cu exemple negative

Astfel, dacă exemplul procesat este un exemplu pozitiv, caracteristicile găsite în acel exemplu sunt caracteristici care trebuie să aparțină obiectului învățat. Dacă exemplul procesat este unul negativ, extragem caracteristicile noi (neexplorate până atunci), iar aceste caracteristici nu trebuie să aparțină obiectului învățat.

Acest mecanism face necesară recunoașterea ambelor tipuri de caracteristici și utilizarea lor în procesul de învățare. Se poate afirma că importanța exemplelor pozitive este egală cu a celor negative și că ambele tipuri de exemple sunt utilizate în procesul de învățare. Mai mult, putem spune că procesul de învățare a unui concept este greșit dacă nu utilizează și exemplele negative, deoarece acestea au rolul de a trasa granițele noțiunilor care definesc un concept.

Un astfel de mecanism, prin care putem învăța atât din exemplele pozitive cât și din exemplele negative, implementat la nivelul rețelelor neuronale ar putea conduce la rezolvarea tuturor problemelor întâlnite în capitoul anterior (4.2). Am putea antrena rețeaua în mod egal atât cu exemple pozitive, cât și cu exemple negative, ambele furnizând informații care să ajute în procesul de antrenare.

Acest fapt pare a fi în contradicție cu definiția oarecum simplistă dată de Alecsander unei rețele neuronale [49]:

O rețea neuronală este un procesor cu distribuție paralelă, care are o mare capacitate de a stoca cunoștințe dobândite din experimente, în scopul utilizării active ale acestora.

În acest context, noțiunea de antrenare cu exemple negative în scopul acumulării de cunoștințe capabile de a fi utilizate în procesul de testare este oarecum forțată. De ce este nevoie de exemple negative, dacă rețeaua neuronală este făcută pentru a acumula cunoștințe viabile, adică cele din exemple pozitive? Se poate afirma că stocarea caracteristicilor ce nu aparțin obiectului este o risipă a ponderilor unei rețele neuronale precum și a neuronilor acesteia.

Cu toate acestea, situația de la care am plecat, cea în care avem un set de antrenare incapabil de a furniza toate caracteristicile ce stau la definirea unui obiect, face viabilă ideea de antrenare a unei rețele neuronale cu exemple pozitive și negative.

Astfel, o rețea neuronală capabilă să învețe atât caracteristicile care *construiesc* obiectul, cât și caracteristicile care sunt străine acestuia, ar reuși în final să recunoască obiectele care au caracteristicile necesare și nu au caracteristici nedorite. În plus rețeaua ar recunoaște clar obiectele care nu aparțin nici unei clase de la ieșire, situându-le pe acestea într-o nouă clasă. Această împărțire scade eroarea rețelei făcând posibilă o demarcație clară între obiectele care sunt recunoscute de către rețeaua neuronală și obiectele care nu sunt recunoscute de aceasta.

4.3. Îmbunătățirea performanțelor rețelelor neuronale prin folosirea exemplelor negative

Antrenarea rețelelor neuronale cu exemple negative nu este o noutate în domeniu. Mulți autori au folosit exemple negative pentru îmbunătățirea performanțelor rețelei, în special atunci când tiparele de la intrare diferă foarte mult de cele cu care a fost antrenată. Un alt caz este acela în care tiparele de la intrare nu aparțin nici unei clase de la ieșire, în acest caz rețeaua furnizând date de ieșire greșite.[50]

Cu toate acestea importanța utilizării exemplilor negative este cumva minimizată ea nefiind o practică folosită în mod curent în antrenarea rețelelor neuronale. Această situație este datorată creșterii erorii rețelei neuronale în faza de antrenare din cauza utilizării unor tipare de intrare mult diferite de cele pozitive. O îmbunătățire semnificativă apare numai atunci când rețeaua este testată cu date diferite de cele din etapa de antrenare. Aceste date conțin multe tipare pe care rețeaua le poate clasifica deoarece fie sunt zgomote, fie aparțin unor clase ce nu trebuie recunoscute de rețea. Altfel spus, atunci când rețeaua neuronală este confruntată cu date din *lumea reală* rata erorii crește foarte mult deoarece aceasta este *învățată* să recunoască aproape orice tipar prezent la intrare ca făcând parte dintr-o clasă de ieșire.

Vom prezenta în continuare trei noi metode de antrenare care pun accentul pe utilizarea exemplilor negative la fel de mult ca utilizarea celor pozitive. Fiecare dintre aceste metode oferă o alternativă viabilă în toate cazurile în care setul de antrenare este incomplet sau are prea puține date de antrenare.

4.3.1. Antrenarea rețelelor neuronale cu exemple negative

Antrenarea *clasică* a rețelelor neuronale presupune folosirea unui număr de exemple în setul de antrenare și introducerea aleatoare a acestora la intrarea rețelei până când eroarea scade sub un anumit prag.(Figura 23)

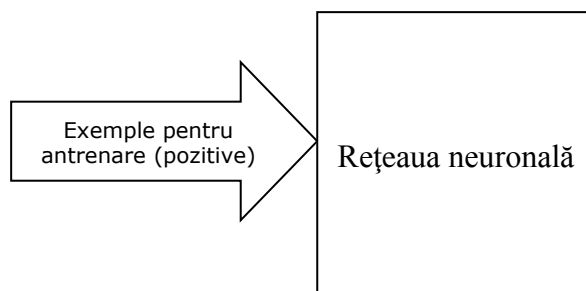


Figura 23. Antrenarea clasică a unei rețele neuronale

După faza de antrenare, la intrarea rețelei poate să fie prezent și un exemplu care nu a fost folosit în etapa de antrenare. Dacă acesta este asemănător cu exemplele folosite, rețeaua va recunoaște cu succes acest exemplu.

Dacă, la intrarea rețelei va fi introdus un exemplu total diferit de cele din setul de antrenare, rețeaua îl clasifică și pe acesta ca aparținând uneia dintre clasele de exemple cu care a fost antrenată. În acest caz spunem că rețeaua este *super încrezătoare* (over confident). Aceste erori apar frecvent în problemele de clasificare care dispun de un set insuficient de antrenare.[51]

O simplă rezolvare a acestor probleme presupune introducerea în setul de antrenare și a unor exemple *negative* – exemple care nu trebuie recunoscute de către rețea ca făcând parte din categoriile cunoscute. De exemplu, dacă antrenăm o rețea să recunoască cifrele, în setul de antrenare este recomandat să introducem și exemple de alte caractere (litere, semne de punctuație, alte semne).(Figura 24)

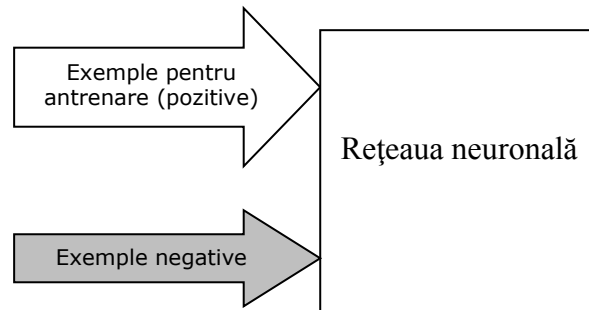


Figura 24. Antrenarea unei rețele neuronale cu exemple pozitive și negative

În acest caz rețeaua este antrenată să recunoască exemplele din anumite categorii, dar și exemplele care nu fac parte din categoriile dorite.

Au existat cazuri în care utilizarea exemplilor negative a depășit cu mult numărul de exemple pozitive, fapt care a condus la diminuarea importanței exemplilor negative față de exemplele pozitive printr-o anumită valoare [52]. Astfel, a fost introdusă o penalitate de exemplu negativ, prin care fiecare exemplu negativ putea influența rezultatul doar într-o măsură mai mică (funcție de numărul total de exemple negative).

Din păcate, nicăieri nu este specificat care este procentul exemplilor negative din totalul exemplilor care trebuie avut în vedere la antrenarea unei rețele neuronale. (Figura 25) Toate studiile făcute până acum sunt specifice unui anumit tip de problemă, iar procentul de exemple negative utilizat la diverse aplicații variază de la 5% la 80%. [31][52][53]

Acest lucru este foarte important deoarece variația acestui procent modifică semnificativ procentul de recunoaștere al rețelei neuronale. Pentru un set de antrenare cu multe exemple negative se obțin rate foarte mici pentru recunoașterea tiparelor dorite și rate foarte mari de recunoaștere a tiparelor nedorite.

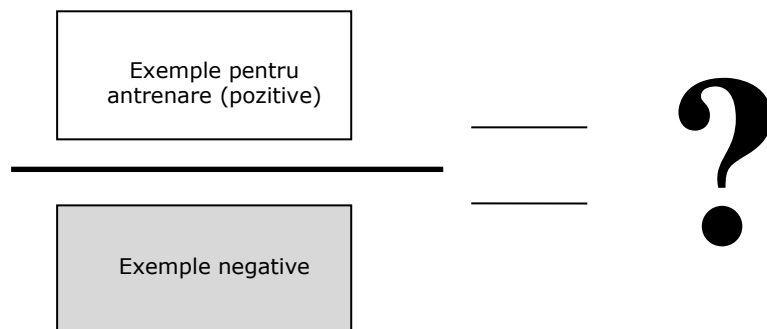


Figura 25. Care este procentul de exemple negative care trebuie folosit pentru o bună antrenare a rețelelor neuronale?

Un număr mic de exemple negative în setul de antrenare nu reușește să modifice ponderile rețelei astfel încât aceasta să recunoască cu succes tiparele nedorite.

Pentru rezolvarea problemei vom porni prin a detalia problema învățării din exemple ce stă la baza antrenării supervizate a unei rețele neuronale artificiale.

Învățarea din exemple aplicată unei rețele neuronale poate fi văzută ca o problemă de modelare a unei funcții f cu o clasă ipotetică H și un set de antrenare de tipul $D = \{ (x_i, y_i) , i = 1, \dots, m \}$ în care $x_i \in R^n$ este exemplul n -dimensional folosit la antrenare, iar y_i este valoarea de ieșire a rețelei.

Eroarea obținută în acest proces de modelare are forma următoare:

$$J = Er_{aproximare}(n) + Er_{estimata} \left(\frac{VC(H_n)}{m} \right) \quad (4.1)$$

, unde $VC(H_n)$ reprezintă o măsură a complexității clasei ipotetice. Pentru minimizarea acestei funcții trebuie minimizezate cele 2 componente: eroarea aproximată și eroarea estimată.

Problema constă în faptul că eroarea de aproximare se micșorează cu creșterea complexității modelului, iar eroarea de estimare se micșorează odată cu scăderea complexității modelului.

Din această cauză pentru aceste tipuri de probleme trebuie găsit un compromis al complexității pentru a obține o valoare minimă a erorii.

Pentru problema învățării din exemple, modelul clasei ipotetice arată în felul următor: [54]

$$H[f] = \sum_{i=1}^m (f(x_i) - y_i)^2 + \lambda \|Pf\|^2 \quad (4.2)$$

, unde λ este un parametru pozitiv de regularizare, P este operatorul diferențial iar $\|Pf\|^2$ este o funcție de cost ce constrânge rapid spațiul soluțiilor posibile pentru orice fel de informații prioritare.

Conform teoremei de regularizare soluția acestei probleme are următoarea formă:

$$f(x) = \sum_{i=1}^m a_i K(x, x_i) + b \quad (4.3)$$

, unde a_i reprezintă coeficienții funcțiilor kernel iar b reprezintă coeficienții funcției bias.

La crearea unui număr de exemple negative de tipul $D' = \{ (x'_i, y'_i) , i = 1, \dots, m \}$ formula (4.2) devine de forma [55]:

$$H[f] = \sum_{i=1}^m (f(x_i) - y_i)^2 - \sum_{i=1}^m (f(x'_i) - y'_i)^2 + \lambda \|Pf\|^2 \quad (4.4)$$

50 Învățarea pe baza corecției erorii cu exemple negative

, în care al doilea termen corespunde exemplilor negative, iar soluția finală devine:

$$f(x) = \sum_{i=1}^m a_i K(x, x_i) + \sum_{i=1}^m a'_i K(x, x'_i) + b \quad (4.5)$$

, unde a'_i reprezintă coeficienții funcțiilor negative.

Rezolvarea problemei propuse presupune găsirea tuturor coeficienților formulei (4.5). În acest fel funcția prin care este aproximată rețeaua neuronală este clar definită.

Plecând de la aceste considerente teoretice vom încerca experimental să găsim o formulă de calcul pentru numărul de exemple negative ce trebuie să alcătuiască setul de antrenare.

Pentru fiecare problemă o să avem nevoie de un număr diferit de exemple negative, dar se va încerca gruparea acestor numere și găsirea unei formule care să interpoleze aceste valori.

Utilizarea exemplilor negative în antrenarea rețelelor neuronale duce la o îmbunătățire a ratei de recunoaștere ale acestora. Totodată exemplele negative sunt mai ușor de construit (virtual vorbind toate celelalte exemple care nu sunt pozitive sunt negative) și există într-un număr foarte mare.

Cu toate acestea pentru o îmbunătățire a performanței am dori ca rețeaua să poată recunoaște și exemplele negative în maniera în care sunt recunoscute cele pozitive. Descrierea metodelor care au făcut posibil obținerea acestui lucru sunt detaliate în capitolele următoare.

4.3.2. Utilizarea neuronului block în procesul de antrenare al rețelei

În lumea reală întâlnim foarte des astfel de situații când nu dispunem de un set de antrenare adecvat. În special în domeniile militare [56] sau de frontieră ale științei avem situații pentru care o rețea neuronală nu a fost antrenată.

În capitolul 4.3.1 am arătat importanța exemplilor negative în procesul de antrenare al unei rețele neuronale. Am observat astfel că pentru a evita o super confidență a rețelei, un număr de exemple negative trebuie introdus în setul de antrenare. Acestea reușesc să asigure rețelei neuronale limitări în ceea ce privește recunoașterea tiparelor.

La rețeaua neuronală, neuronii de pe ultimul strat sunt responsabili de recunoașterea anumitor tipare dorite de utilizator. Fiecare dintre aceștia devine activ atunci când recunoaște o caracteristică sau mai multe din exemplul de la intrare. Devenind activ, semnaleză prezența unui anumit tipar la intrare.

Dacă neuronul de ieșire nu este activ, înseamnă ca el nu recunoaște anumite caracteristici (care îi sunt alocate) în exemplul de la intrare. Atunci când nici un neuron de pe stratul de ieșire nu este activ, spunem că nici o caracteristică ce ne poate interesa nu este prezentă în exemplul de la intrare.

Atunci când toți neuronii de pe stratul de ieșire sunt inactivi, tiparul de la intrare nu este recunoscut de rețeaua neuronală. Acest fapt nu înseamnă că tiparul de la intrare nu face parte din tiparele care trebuie recunoscute de rețeaua neuronală, ci doar faptul că rețeaua neuronală nu a reușit să identifice nici o caracteristică care intră în componența tiparelor cunoscute.

Putem da ca exemplu o rețea neuronală montată pe un echipament capabil de a colecta și clasifica patru tipuri de roci vulcanice. [57] Putem afirma de la început că un astfel de echipament este scump și deplasările efectuate de acesta în teren sunt costisitoare, deci se încearcă reducerea acestora la minim.

Pentru a putea colecta și clasifica roci vulcanice rețeaua neuronală a fost antrenată cu o serie de roci existente ca și exemple pozitive și o mulțime de roci non vulcanice ca exemple negative. Cu toate acestea echipamentul poate întâlni pe teren o mulțime de alte roci, care nu au făcut parte din procesul de antrenare. Mare parte din aceste roci cauzează false recunoașteri din partea rețelei neuronale. Astfel o mulțime de roci vulcanice nu sunt recunoscute ca fiind vulcanice (ieșirile rețelei sunt 0) iar o parte din cele care nu sunt vulcanice sunt recunoscute ca fiind vulcanice (una din ieșirile rețelei este 1).

Dorim să limităm și mai mult aceste greșeli, iar acest lucru este realizat prin adăugarea unui neuron pe ultimul strat.

Am observat că antrenarea cu exemple negative pregătește rețeaua neuronală pentru memorarea unor caracteristici nedorite. Din păcate nici un neuron de pe stratul de ieșire nu este direct responsabil de recunoașterea unor tipare nedorite. Acest lucru este făcut atunci când toți neuronii sunt inactivi, situație care poate genera confuzii.

Pentru a preîntâmpina astfel de situații avem nevoie de un neuron suplimentar pe ultimul strat. Am propus ca acest neuron să poartă numele de neuron **block** și principala lui responsabilitate este semnalizarea tiparelor nedorite. Atunci când neuronul este activ putem spune că tiparul aflat la intrarea rețelei neuronale nu este un tipar pe care rețeaua neuronală ar trebui să-l recunoască. Altfel spus, neuronul **block** este responsabil cu recunoașterea caracteristicilor care nu definesc clasa de obiecte ce trebuie recunoscută.

Vom arăta în continuare ce modificări trebuie făcute la nivelul uneia dintre cele mai folosite rețele neuronale: perceptronul multistrat.

Ca și arhitectură, perceptronul cu mai multe straturi se prezintă ca în Figura 26.

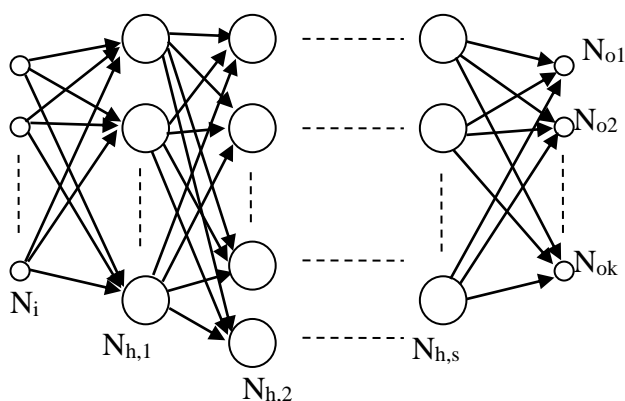


Figura 26. Arhitectura perceptronului cu mai multe straturi ascunse

Primul strat N_i este stratul de intrare. Neuronii de pe acest strat sunt lipsiți de funcția de activare, adică lasă să treacă orice valoare primită la intrare.

52 Învățarea pe baza corecției erorii cu exemple negative

Următoarele s straturi ($N_{h,1}, \dots, N_{h,s}$) se numesc straturi ascunse. Fiecare strat ascuns ($N_{h,l}$) primește valori la intrare numai de la stratul anterior lui ($N_{h,l-1}$), ieșirile lui constituindu-se ca intrări pentru stratul următor ($N_{h,l+1}$). Nu sunt permise conexiuni în interiorul stratului. Ieșirile ultimului strat ascuns $N_{h,s}$ sunt intrări pentru stratul de ieșire N_o . Trebuie spus că sunt permise și conexiuni de genul *skip layer* (astfel neuronii pot primi ca și intrări, ieșirile altor neuroni care nu se află pe un strat imediat precedent lor). Conexiunile directe între stratul de intrare și cel de ieșire sunt în special foarte folositoare.

Numărul de neuroni de pe straturile ascunse poate fi diferit de la strat la strat. Fiecare dintre acești neuroni are o funcție de activare F_i care acționează asupra intrărilor și *bias*-ului.

Modificarea perceptronului multistrat trebuie făcută astfel încât acesta să poată reține cu succes caracteristicile nedorite. Pentru aceasta trebuie să adăugăm un neuron **block** pe ultimul strat. Perceptronul multistrat cu 1 neuron **block** are următoarea arhitectură modificată. (

Figura 27)

Exemplu: Dacă antrenăm o rețea neuronală pentru recunoașterea caracterelor a, o, c, u, e putem lua ca exemple negative caracterele d, t, b, g, p, iar caracteristica ce nu aparține primei clase ar fi "coada" care intra în componența caracterelor din clasa a 2-a. Această caracteristică ar trebui memorată de rețeaua neuronală și semnalată de neuronul **block** (prin activarea acestuia) de fiecare dată când un caracter ce prezintă această caracteristică este prezent la intrare.

Trebuie precizat că antrenarea unei astfel de rețele nu presupune nici o modificare față de antrenarea clasică. Nu este nevoie să antrenăm în mod suplimentar neuronul **block** pentru ca acesta să poată reține cu succes caracteristicile nedorite. Acest lucru se va întâmpla în etapa de antrenare și nu este transparent utilizatorului.

Adăugarea unui neuron **block** pe stratul de ieșire și utilizarea acestuia ca *neuron semnalizator* pentru tipare nedorite, face ca rețeaua neuronală să reușească să clasifice atât tiparele dorite (unul sau mai mulți neuroni *normali* este activ) cât și pe cele nedorite (neuronul **block** este activ).

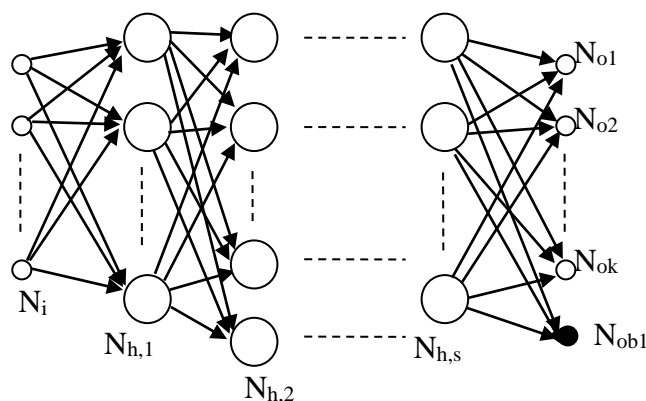


Figura 27. Arhitectura perceptronului cu mai multe straturi ascunse și 1 neuron block

Revenim la exemplul de la care am plecat, și anume cel despre echipamentul care trebuie să recunoască roci vulcanice, și considerăm totalitatea rocilor care pot fi intrări pentru rețeaua neuronală ca fiind formată din două mulțimi alcătuite din roci vulcanice și roci non vulcanice. Cele două mulțimi sunt prezentate în Figura 28 și după cum se observă, există o linie de demarcație clară între ele.

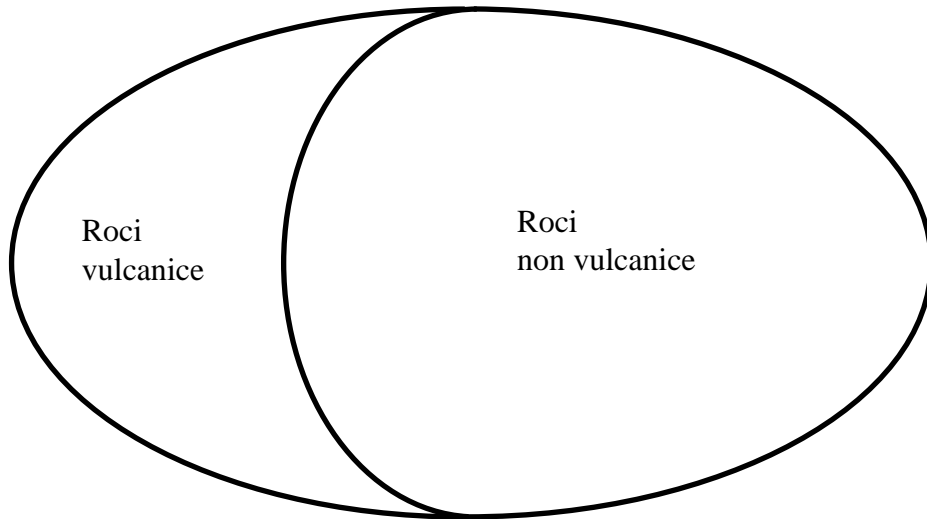


Figura 28. Totalitatea exemplurilor pentru rețeaua antrenată în recunoașterea rocilor vulcanice

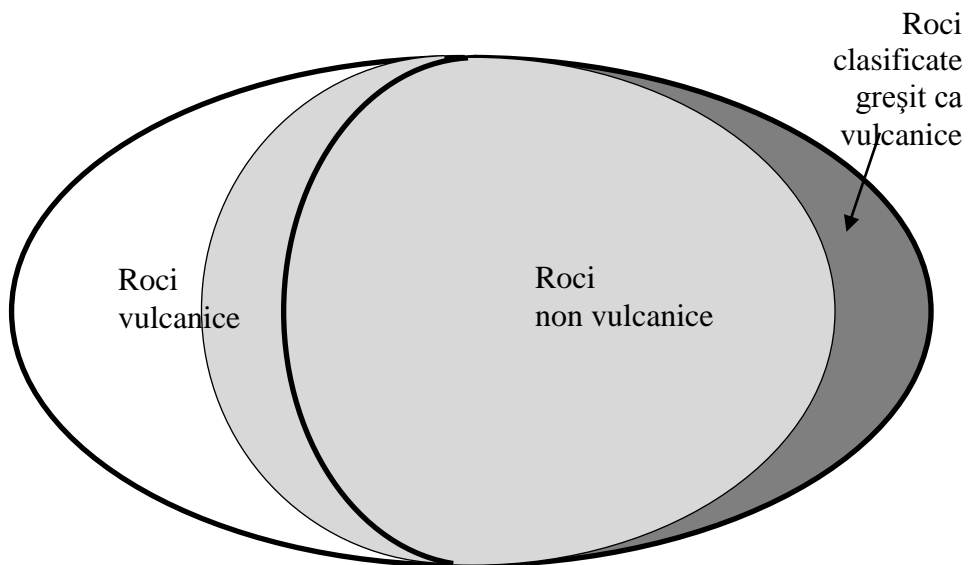


Figura 29. Clasificarea rocilor făcută de o rețea neuronală antrenată cu exemple negative și pozitive

54 Învățarea pe baza corecției erorii cu exemple negative

Considerăm primul caz în care avem o rețea neuronală fără neuron **block** și o antrenăm folosind exemple pozitive și negative. (Figura 29)

În faza de testare rețeaua neuronală clasifică corect numai o parte din rocile vulcanice (zona albă din desen). O parte din rocile non vulcanice este incorect clasificată ca făcând parte din categoria rocilor vulcanice. Această parte poate varia între 100% și 0% (cel mai probabil între 10% și 30%) din mulțimea rocilor non vulcanice. (zona gri închis din dreapta)

Părțile complementare celor două mulțimi, respectiv rocile vulcanice și non vulcanice nerecunoscute de către rețea sunt cele la care neuronii de la ieșire sunt inactivi. Această zonă este desenată cu gri deschis și ocupă o mare parte în desen. Aceasta este o zonă de incertitudine, deoarece nu putem ști cu siguranță în ce categorie intră rocile atunci când ieșirile rețelei sunt inactivе. O rocă plasată într-o astfel de zonă poate fi o rocă vulcanică nerecunoscută de rețea sau o rocă non vulcanică.

Pentru mărirea gradului de claritate al clasificării antrenăm o rețea neuronală cu un neuron **block** cu aceleași exemple negative și pozitive. În acest caz distribuția ieșirilor rețelei este următoarea. (Figura 30)

Se poate observa cum zona albă (certitudine) este mult mai mare decât cea de la rețeaua fără neuron **block**. După introducerea neuronului **block** se poate observa că o mare parte a rocilor care nu sunt vulcanice sunt catalogate corect de către rețea.

Scăpăm astfel de o parte din situațiile în care toți neuronii de pe ultimul strat erau inactivi și care genera o confuzie legată de exemplul de la intrare (nu știm sigur dacă exemplul de la intrare nu a fost recunoscut de către rețea sau nu face parte din exemplele dorite de noi).

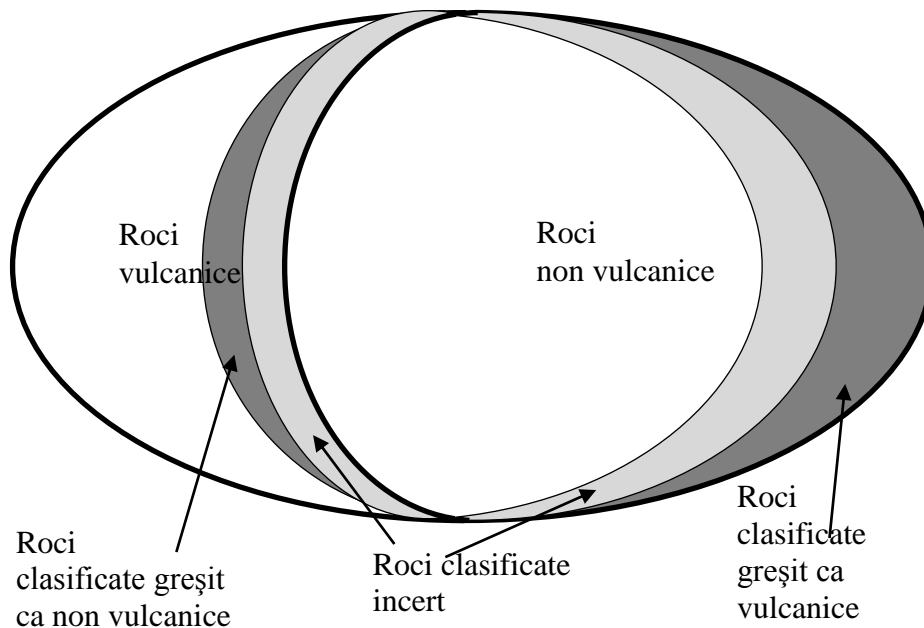


Figura 30. Clasificarea rocilor făcută de o rețea neuronală cu un neuron block antrenată cu exemple negative și pozitive

Avem în continuare zone gri închis (zone în care rețeaua neuronală greșește), precum și zone gri deschis (zone de incertitudine), caz în care toți neuronii de la ieșire sunt inactivi, inclusiv neuronul **block**.

Folosirea neuronului **block** pe ultimul strat îmbunătățește considerabil procentul de răspunsuri certe oferite de rețea precum și ratele de recunoaștere ale rețelei neuronale. Care sunt noile rate de recunoaștere și cu cât s-a îmbunătățit procentul de răspunsuri certe, sunt răspunsuri date în capitolul 5.

4.3.3. Utilizarea mai multor neuroni block având funcții de activare diferite

În capitolul anterior am definit neuronul **block** și am explicat rolul lui în antrenarea unei rețele neuronale. Am arătat că acesta face parte din stratul de ieșire al rețelei și este răspunzător de semnalarea exemplelor negative aflate la intrarea rețelei neuronale. Modalitatea în care el a fost integrat în stratul de ieșire și ce fel de rezultate produce au deschis calea către acest capitol.

În acest capitol vom face un pas înainte și vom încerca să introducem mai mulți neuroni **block** pe stratul de ieșire. Diferența dintre ei va consta tocmai în funcția de activare specifică fiecăruia.

Rolul funcției de activare este foarte important pentru un neuron, deoarece numai așa putem asigura nonlinearitatea rețelei neuronale. [58] Funcția de activare este o caracteristică a rețelei și se alege în funcție de problema ce trebuie rezolvată.

Din această cauză spunem că fiecare funcție de activare este capabilă de recunoașterea numai unor anumite caracteristici din setul de intrare. Folosirea mai multor neuroni cu funcții de activare diferite este modalitatea prin care se încearcă reținerea cât mai multor caracteristici și utilizarea acestora în procesul de recunoaștere.

Rațiunea folosirii mai multor neuroni **block** pe stratul de ieșire derivă din faptul că stratul de antrenare este compus din exemple pozitive și negative și pentru fiecare din aceste exemple unul sau mai mulți neuroni de pe stratul de ieșire devine activ. Exemplele pozitive sunt mult mai omogene decât cele negative și astfel neuronii de pe stratul de ieșire au aceeași funcție de activare. Omogenitatea provine din faptul că toate exemplele pozitive reprezintă o clasă de obiecte ce trebuie recunoscută de rețeaua neuronală.

Atunci când un exemplu negativ este introdus la intrare, unul din neuronii **block** de pe ultimul strat devine activ și semnalează astfel un tipar nedorit. Deoarece tiparele nedorite fac parte dintr-o mulțime foarte mare aceasta nu este omogenă. Astfel, rețeaua neuronală poate avea la intrare valori dintre cele mai ciudate (tipare nerecunoscute), iar ea trebuie să reușească să semnaleze acest fapt prin intermediul neuronilor **block**.

Având funcții de activare diferite, aceștia sunt capabili în interceptarea unei varietăți foarte mari de exemple negative.

Modificările aduse rețelei pentru a suporta mai mulți neuroni **block** pe ultimul strat sunt mici și similare cu cele pentru 1 neuron block. Astfel, dacă considerăm perceptronul multistrat din Figura 26, pentru a avea mai mulți neuroni block, arhitectura acestuia devine ca cea din Figura 31.

Fiecare dintre straturile ascunse au în componența lor același număr de neuroni ca și rețeaua neuronală fără nici un neuron block. Funcțiile de activare sunt stabilite la nivelul fiecărui strat și sunt dependente de problema ce necesită rezolvare.

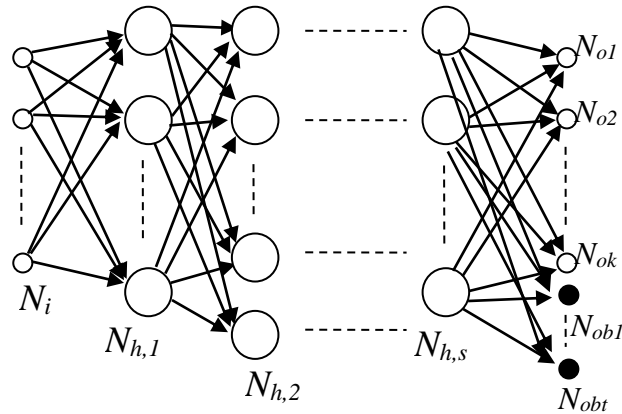


Figura 31. Arhitectura perceptronului cu k neuroni normali și t neuroni block pe ultimul strat

Pentru neuronii block de pe ultimul strat avem mai multe funcții de activare. Trebuie reamintit că dacă folosim tehnica de antrenare de tip back propagation, trebuie să avem grijă ca funcția de activare să fie diferențiabilă, deoarece avem nevoie de derivata ei în etapa de modificare a ponderilor.

O vedere mai detaliată asupra modului în care funcționează neuronii block se poate observa în Figura 32.

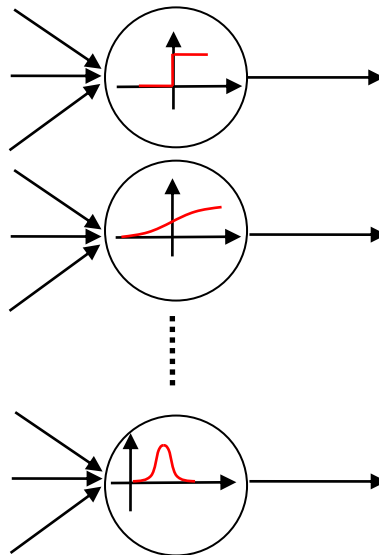


Figura 32. Neuronii block cu funcții de activare diferită

Se observă că fiecare dintre neuroni are o altă funcție de activare. Cu cât sunt mai mulți neuroni cu atât numărul de funcții de activare diferită crește.

De altfel, considerăm că un număr crescut de neuroni block este capabil de a intercepta mai multe tipare negative decât un număr mai mic.

Experimentele se vor concentra pe determinarea numărului de neuroni block optimi pentru fiecare problemă și pe găsirea acelor funcții de activare care satisfac cerințele cât mai multor probleme.

Se va încerca și găsirea unui mod de interpretare al rezultatului, în ideea că la un moment de timp dat, la ieșirea rețelei putem avea o combinație de valori active și inactive pentru neuronii block.

Acest aspect interesant va fi studiat în vederea obținerii unei cât mai bune recunoașteri a tiparelor negative de către rețeaua neuronală.

4.4. Concluzii

Acest capitol s-a ocupat preponderent de aspectele teoretice ale antrenării unei rețele neuronale utilizând și exemple negative în setul de antrenare. Au fost enunțate avantajele folosirii unui set mixt de antrenare precum și posibilele modificări de topologie ale rețelelor neuronale care să permită o mai bună și rapidă funcționare a rețelei neuronale.

Punctul de plecare pentru toate ipotezele prezentate este legat de problemele antrenării unei rețele neuronale având la dispoziție un set de antrenare restrâns. S-a arătat că în astfel de cazuri, cele mai multe dintre ele fiind speciale, rațiunile care au condus la micimea setului de antrenare țin de condițiile de aplicare, securitate sau resurse financiare.

Pentru a preîntâmpina aceste probleme am sugerat ca soluție folosirea exemplurilor negative în procesul de antrenare. Această practică nu este una nouă însă nu a fost exploatată suficient până acum, fiind oarecum minimizată și nefiind folosită în mod curent.

Pentru folosirea cu succes a exemplurilor negative în etapa de antrenare au fost prezentate trei noi metode de antrenare ce oferă fiecare o alternativă viabilă pentru cazurile în care setul de antrenare este incomplet sau are prea puține date.

O primă metodă este cea în care exemplele negative se găsesc în setul de antrenare într-o proporție ce va fi calculată în capitolul de experimente. Această metodă nu presupune modificări ale arhitecturii rețelei neuronale și este cea mai comodă în folosire și cu cel mai mult efect.

O rețea neuronală antrenată cu exemple negative și pozitive este mult mai sigură pe ea în procesul de testare cu exemple pentru care nu a fost antrenată. Totodată această metodă face ca rețeaua să nu se transforme într-o rețea super confidentă fapt ce ar produce o recunoaștere masivă față de orice exemplu care ar fi prezent la intrare.

A doua metodă este aceea în care se folosește un neuron suplimentar pe stratul de ieșire pe care l-am numit neuron **block**. Neuronul **block** este responsabil direct cu depistarea exemplurilor negative prezente la intrarea rețelei. Acest lucru reprezintă o îmbunătățire majoră în ceea ce privește modalitatea de recunoaștere a rețelei neuronale, deoarece dacă rețeaua nu este 100% sigură căreia clase de la ieșire îi aparține intrarea curentă, în unele cazuri ea poate fi sigură 100% că aceasta nu aparține nici unei clase.

Ideea a venit din domeniul învățării automate și poate fi implementată numai dacă am acorda importanță egală exemplurilor negative ca și celor pozitive. Modificările adusei unei rețele neuronale normale constau în adăugarea unui neuron suplimentar pe stratul de ieșire.

58 Învățarea pe baza corecției erorii cu exemple negative

Performanța obținută de rețea în acest caz este mult mai bună decât în cazul precedent, doar că o astfel de implementare presupune și o modificare a arhitecturii rețelei.

Modul în care această tehnică utilizează exemplele negative în procesul de antrenare și faptul că s-au adus și modificări rețelei pentru a putea evidenția clar aceste exemple, au făcut posibil definirea unei noi tehnici de învățare și anume: învățarea pe baza corecției erorii cu exemple negative.

Ultima tehnică se dorește a fi o extensie pentru noua metodă de antrenare prezentată. Ea se ocupă de problemele la care spațiul exemplilor negative este mult mai mare decât acela al exemplilor pozitive. Numărul acestora este foarte mare, iar omogenitatea lor este scăzută.

Din această cauză s-a încercat adăugarea mai multor neuroni block pe stratul de ieșire fiecare dintre ei având o funcție de activare diferită. Funcțiile de activare sunt cele care introduc nonlinearitatea într-o rețea neuronală și sunt dependente de tipul de problemă folosit.

Din această cauză, ele sunt recomandate pentru a fi folosite într-un număr cât mai mare (un număr mare de neuroni block) deoarece ajută la depistarea cât mai multor exemple negative prezentate la intrare.

5. EXPERIMENTE

Au fost prezentate, până în acest moment, conceptele teoretice care au stat la baza acestei teze, precum și ideile noi menite să îmbunătățească performanțele antrenării unei rețele neuronale. În acest capitol vor fi prezentate experimentele efectuate pentru infirmarea sau confirmarea tuturor ipotezelor.

Pentru aceasta vor fi prezentate inițial programele de antrenare și seturile de date folosite în cadrul experimentelor. Vor urma detaliile experimentelor, iar în final concluziile care au rezultat din acestea.

5.1 Programe de antrenare și seturi de date folosite pentru experimente

5.1.1 Programe de antrenare a rețelelor neuronale

Experimentele următoare au fost realizate cu ajutorul a două programe ce au ca scop principal antrenarea de rețele neuronale. Fiecare dintre cele două programe a fost ales având drept scop o antrenare cât mai precisă și mai rapidă pentru orice rețea neuronală. De asemenea datorită cantităților mari de date utilizate în setul de antrenare, ambele programe trebuiau să fie capabile de a gestiona seturi de date de zeci de mii de exemple (fiecare experiment a avut în medie ~ 30.000 de exemple de antrenare, care s-au tradus prin ~ 1Gb capacitate fișiere folosite).

NeuroShell 2.0

Primul program este NeuroShell versiunea 2.0 [59], un program specializat în vederea creării și antrenării rețelelor neuronale. Din punct de vedere al performanțelor, NeuroShell este un lider de necontestat în acest domeniu deoarece este primul program care a reușit să se impună pe piață ca fiind numărul 1 de 10 ani. Cu ajutorul acestui program se pot antrena o mulțime de configurații de rețele neuronale într-un timp rezonabil și cu multiple posibilități de procesare a datelor obținute.

Interfața principală a programului este prezentată în Figura 33, și după cum se observă, există o mare preocupare pentru permiterea diverselor operații de prelucrare a datelor înainte și după antrenare, specificarea unor parametri de antrenare, diverse modalități de vizualizare a rezultatelor, etc.

De asemenea NeuroShell poate alege dintr-un număr foarte mare de rețele neuronale: multilayer perceptron, rețele recurente, rețele Kohonen, rețele generale de regresie.

Antrenarea unei rețele neuronale cu ajutorul programului NeuroShell este intuitivă și cuprinde următorii pași:

- crearea unei noi probleme (entitate ce cuprinde toate datele și operațiile efectuate asupra unei rețele neuronale)
- importarea datelor de intrare – acest pas poate fi făcut manual (Data Entry) sau printr-un import de fișier cu un anumit format

60 Învățarea pe baza corecției erorii cu exemple negative

- prin care se poate specifica numărul de coloane de pe un rând și delimitatorul dintre acestea (File Import)
- definirea intrărilor și a ieșirilor – se specifică care dintre coloanele de pe un rând sunt de intrare și care sunt de ieșire; totodată se calculează maximul și minimul datelor ce pot apare la fiecare dintre intrări/ieșiri (Define Input/Output)
 - se creează setul de antrenare și testare (Test Set Extract); aici se poate specifica dacă se dorește și crearea unui set destinat testării finale (set de producție)

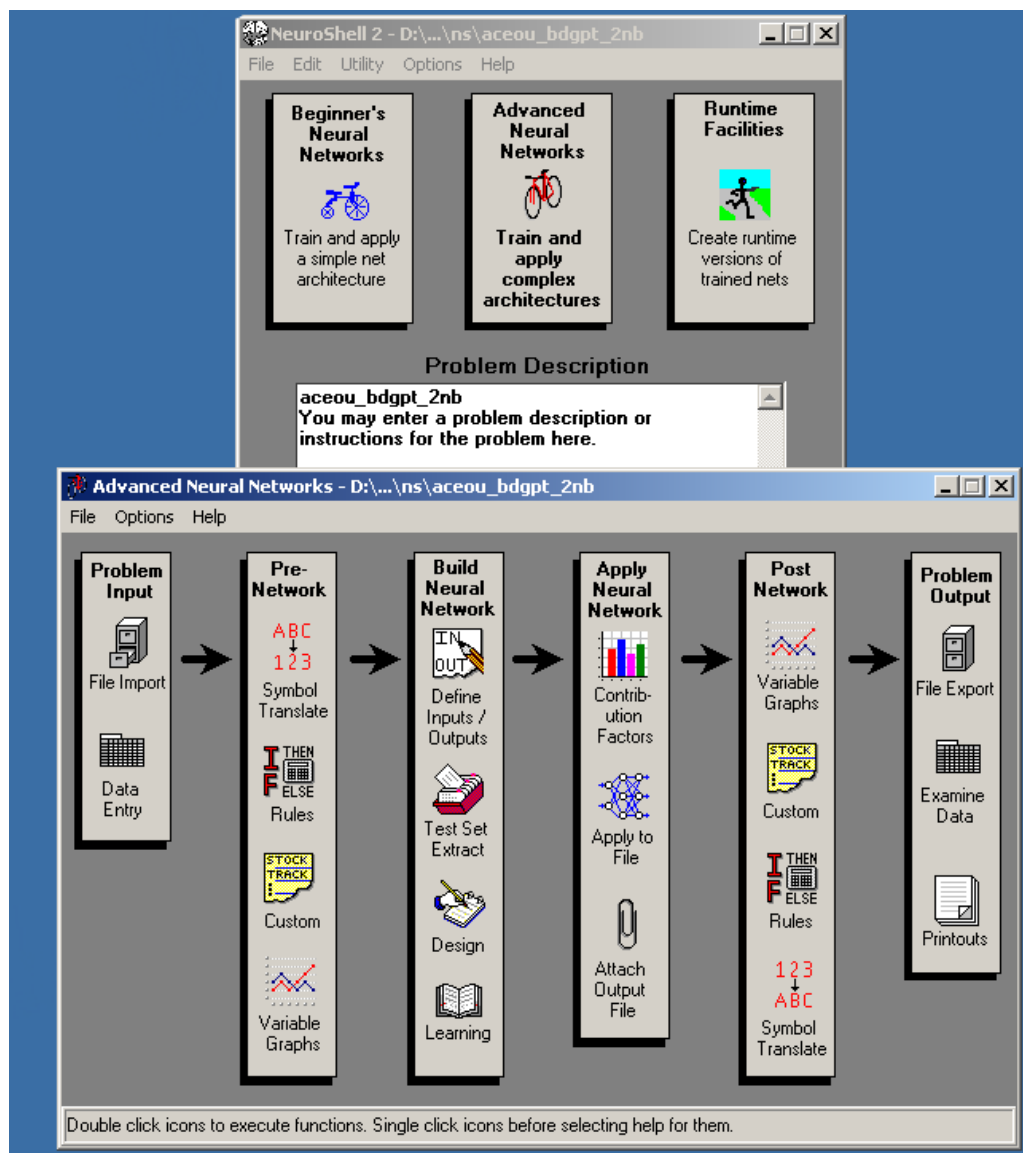


Figura 33. Interfața principală a programului NeuroShell

Învățarea pe baza corecției erorii cu exemple negative 61

- se specifică tipul rețelei și parametrii acesteia (număr de straturi, funcții de activare, ponderi, etc.) (Design)
- se începe antrenarea rețelei pentru un număr de epoci sau până la îndeplinirea unor condiții (Learning)
- se testează rețeaua antrenată cu setul de producție sau pe un nou set de date introdus de către utilizator (Apply to File)

Unul dintre dezavantajele programului este imposibilitatea de a alege funcții de activare diferite pentru neuronii de pe același strat. Deoarece unele dintre experimente au avut nevoie de această facilitate a fost nevoie de implementarea unui program separat ce permite alocarea unei funcții de activare independente fiecărui neuron.

Neural Network

Al doilea program este făcut în C++ și permite antrenarea unei rețele neuronale ce conține pe stratul de ieșire neuroni cu funcții de activare diferite. Interfața principală a programului este prezentată în Figura 34.

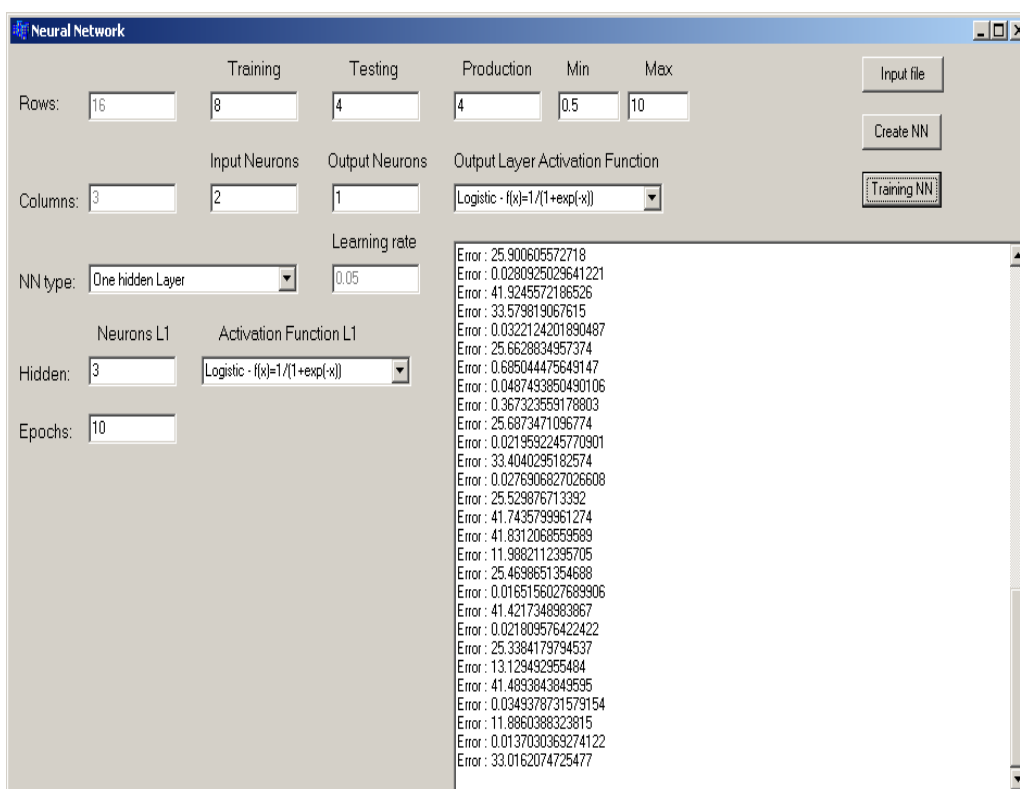


Figura 34. Interfața principală a programului de antrenare a rețelelor neuronale cu funcții de activare independente

Se poate observa că programul permite antrenarea mai multor tipuri de rețele neuronale și fiecare dintre acestea poate să fie configurată. Astfel, utilizatorul

poate alege numărul straturilor ascunse, numărul de neuroni de pe fiecare strat, precum și funcțiile de activare caracteristicile unui neuron.

Modul de utilizare este simplist și nu există foarte multe operații de prelucrare a datelor, așa cum întâlnim la NeuroShell. Datele de intrare pot fi citite numai dintr-un fișier care trebuie să respecte un anumit format.

Programul a fost construit în scopul validării unor concepte noi și nu are decât aplicabilitate științifică. Performanțele lui sunt bune, deși nu este scris în limbaj asamblare și nu conține instrucțiuni pentru calcule vectoriale.

5.1.2 Seturi de date folosite în cadrul experimentelor

Seturile de date folosite pentru experimente sunt dintre cele mai variate ca dimensiune și conținut. Fiecare dintre acestea face parte dintr-o bază de date internațională și este special construit pentru testarea și evaluarea unei rețele neuronale.

Am folosit mai multe seturi de date de antrenare pentru a obține o validare clară a experimentelor. În acest fel s-a dorit să se arate că ideile propuse pentru îmbunătățirea antrenării rețelelor neuronale sunt general valabile pentru orice domeniu de aplicabilitate. Totodată folosirea mai multor baze de date a fost necesară și pentru validarea rezultatelor și încercarea obținerii unei acuități deosebite în evaluarea rezultatelor.

NIST 19

Un prim set de date de antrenare este NIST 19 – o bază internațională ce conține mai mult de 800.000 de caractere scrise de diverse persoane. [60] Am ales această bază de date deoarece recunoașterea caracterelor cu ajutorul rețelelor neuronale este un domeniu de cercetare foarte activ și care se bucură de multă atenție în prezent. De asemenea, antrenarea unei rețele neuronale în vederea recunoașterii caracterelor necesită o rețea bine antrenată și cu o structură internă foarte mare.

Baza de date NIST 19 conține mostre de text scrise de 4170 de persoane. Fiecare dintre aceste persoane a completat câte un formular (Figura 35) în care se pot observa mai multe numere, diverse caractere și un text. Fiecare formular a fost scanat și literele și cifrele din interior au fost grupate pe categorii pentru a facilita astfel munca utilizatorului.

Toate aceste cifre și litere au fost segmentate realizându-se astfel mai mult de 814255 de imagini (vezi Anexa 1). Caracterele sunt memorate în imagini de 128x128 pixeli și se folosesc codurile ASCII pentru denumirea lor.

Experimentele din cadrul acestui capitol au avut nevoie numai de imaginile ce conțin litere și care sunt și cele mai multe din această bază de date.

Pentru a face posibilă o antrenare de rețea neuronală folosind aceste imagini s-a efectuat o operație de normalizare la dimensiunea de 32x32 (dacă erau folosite imaginile originale era nevoie de 16384 de neuroni de intrare). Chiar și în acest caz este nevoie de 1024 de neuroni de intrare pentru a putea introduce datele în rețeaua neuronală.

După operația de normalizare a fost efectuată o operație de translație necesară deplasării fiecărui caracter în centrul de greutate. Acest lucru este absolut necesar pentru a putea antrena o rețea neuronală în recunoașterea de caractere, în caz contrar, se puteau obține rezultate eronate sau rețeaua neuronală nu era capabilă să reușească învățarea caracterelor.

HANDWRITING SAMPLE FORM

NAME XXXXXXXXXX DATE 8-3-89 CITY MINDEN CITY STATE Mi ZIP 48456

This sample of handwriting is being collected for use in testing computer recognition of hand printed numbers and letters. Please print the following characters in the boxes that appear below.

0 1 2 3 4 5 6 7 8 9 0 1 2 3 4 5 6 7 8 9 0 1 2 3 4 5 6 7 8 9

0123456789 0123456789 0123456789

87 701 3752 *0759 960941

87 701 3752 80759 960941

158 4586 32123 832656 82

158 4586 32123 832656 82

7481 80539 419219 67 904

7481 80539 419219 67 904

61738 729658 75 390 5716

61738 729658 75 390 5716

109334 40 625 4234 46002

109334 40 625 4234 46002

gyxlakpdsbzirumwfqjenhocv

gyxlakpdsbzirumwfqjenhocv

ZXSBNCECMYWQTKFLUOHPIRVDA

ZXSBNCECMYWQTKFLUOHPIRVDA

Please print the following text in the box below:

We, the People of the United States, in order to form a more perfect Union, establish Justice, insure domestic Tranquility, provide for the common Defense, promote the general Welfare, and secure the Blessings of Liberty to ourselves and our posterity, do ordain and establish this CONSTITUTION for the United States of America.

We, the people of the United States, in order to form a more perfect Union, establish Justice, insure domestic Tranquility, provide for the common Defense, promote the general Welfare, and secure the Blessings of liberty to ourselves and our posterity, do ordain and establish this CONSTITUTION for the United States of America.

Figura 35. Formular pentru introducerea datelor în baza de date NIST 19

64 Învățarea pe baza corecției erorii cu exemple negative

O altă operație geometrică efectuată asupra imaginilor a fost una de scalare. Fiecare caracter a fost mărit/micșorat astfel încât conturul lui să fie conținut într-un pătrat de 32x32 pixeli. A fost nevoie de așa ceva deoarece caracterele aveau diverse dimensiuni, datorită diversilor autori ai acestor caractere.

O parte din imaginile obținute în urma acestor transformări au servit ca intrare pentru rețeaua neuronală în faza de antrenare. Restul au fost folosite pentru a testa rețelele antrenate și a vedea care sunt rezultatele obținute în urma antrenării.

Ocean Data

Al doilea set de date folosit este de la un observator de coastă folosit într-un amplu program guvernamental de monitorizare și măsurare a diverși parametri din ocean.[61] Datele sunt culese odată la 20 de minute și sunt procesate pentru a oferi valori statistice pe pagina de internet a Observatorului Martha's Vineyard.

Datele procesate sunt din 2001 până în 2008, obținând astfel mai mult de 200.000 de măsurători asupra unor parametri oceanografici. Aceste date au fost folosite pentru a determina gradul de risc privind apariția unor valuri foarte mari într-o anumită perioadă a anului.

Parametrii luați în considerare la antrenarea rețelelor neuronale sunt următorii (pentru mai multe detalii despre formatul datelor a se vedea Anexa 2):

- data la care s-a făcut respectiva măsurătoare; data este exprimată în nr. de zile trecute de la începerea anului calendaristic
- periodicitatea apariției valurilor (secunde)
- direcția de înaintare a valurilor, observată la o adâncime de 4.7 m deasupra fundului oceanului (grade)
- temperatura la 2.11 m deasupra fundului oceanului (grade Celsius)
- viteza de deplasare a valului aproape de fundul oceanului (la 3.7 m deasupra fundului oceanului) (cm/s)
- direcția de deplasare a valului măsurată aproape de fundul oceanului
- viteza de deplasare a valului aproape de suprafață (la 10.7 m deasupra fundului oceanului) (cm/s)
- direcția de deplasare a valului măsurată aproape de suprafața oceanului
- presiunea
- temperatura media a apei la 12.7 m adâncime
- salinitatea apei la 12.7 m adâncime
- începutul valului (între 0.05 și 0.15 Hz)
- creasta valului (între 0.15 și 0.25 Hz)
- perioada de repetiție pentru începutul valului
- perioada de repetiție pentru creasta valului
- direcția de înaintare pentru începutul valului
- direcția de înaintare pentru creasta valului

Neural Network Benchmarks

Este un set de date folosit pentru compararea performanțelor diverselor tipologii de rețele neuronale, dezvoltat de Universitatea Carnegie Mellon.[62] Cele mai cunoscute baze de date din acest set sunt: Sonar, Mushroom, Diabetes și Cancer.

Acest set are o lungă istorie și tradiție și există numeroase studii despre rețelele neuronale care s-au bazat pe comparații făcute pe acest set.[63][64][65]

Din această cauză am găsit necesar introducerea acestui set ca și comparație între diverse rețele neuronale.

Setul de date este bine construit și are date din mai multe domenii. Fiecare dintre bazele de date prezente sunt omogene într-un anumit procent. Acest lucru este necesar deoarece presupune o antrenare diferită pentru fiecare dintre seturile de date existente.

O listare completă a bazelor de date din acest set și câteva cuvinte despre fiecare este făcută în Anexa 3.

5.2 Experimente pentru determinarea procentului de exemple negative optim ce trebuie utilizat la antrenarea rețelelor neuronale

În capitolul 4.3.1 am explicat pe larg motivele care au condus la necesitatea aflării procentului de exemple negative care trebuie să existe într-un set de antrenare pentru o rețea neuronală. Pentru a afla cu exactitate procentul de exemple negative au fost efectuate mai multe experimente cu două mari baze de cunoștințe. Prima dintre bazele de date este NIST 19 (baza de date ce conține caractere), iar a doua este cu datele de la observatorul marin. Pentru fiecare experiment au fost folosite cantități mari de date pentru antrenare, în vederea obținerii unui număr cât mai exact.

5.2.1 Experimente pe NIST 19

Au fost făcute 2 experimente pe această bază de date cu scopul de a afla procentul de exemple negative. Fiecare dintre aceste două experimente a încercat să găsească cât mai exact valoarea procentului dorit, singura diferență constând în valoarea pasului de discretizare. Astfel, experimentul 1 a lucrat cu un set de antrenare la care s-au adăugat la fiecare pas procente mari de exemple negative, ajungându-se în situația finală de a avea un set de antrenare care conține mai multe exemple negative decât exemple pozitive.

Experimentul 2 a preluat datele de la Experimentul 1 și a încercat aplicarea unei discretizări mai fine. Astfel, deși au fost efectuate același număr de antrenări, întreg intervalul de aplicare pentru al doilea experiment a fost de numai 2 pași de discretizare de la Experimentul 1 (pasul de discretizare pentru experimentul 2 este de 10 ori mai mic decât cel folosit la exemplul 1) .

Experimentul 1

Acest prim experiment pleacă de la un set de antrenare format numai din exemple pozitive și adaugă incremental câte un procent de 5%(din setul inițial) de exemple negative. Numărul exemplilor pozitive și negative pentru fiecare antrenare este prezent în Tabelul 2. Se poate observa că s-au efectuat 23 de antrenări, scopul acestora fiind acela de a parcurge un interval cât mai mare pentru exemplele negative.

Pasul de incrementare pentru exemplele negative este de 5% (1000 de exemple) din numărul inițial de exemple pozitive (20.000 exemple) cu care s-a pornit acest experiment.

66 Învățarea pe baza corecției erorii cu exemple negative

În aceste condiții avem un set de antrenare care a pornit de la o valoare de 20.000 de exemple și a ajuns la final cu 42.000 de exemple, marea majoritate fiind exemple negative.

Antrenare	Ex. pozitive (număr)	Ex. pozitive (% din total)	Ex. negative (număr)	Ex. negative (% din Ex. pozitive)
1	20.000	100	0	0
2	20.000	95.24	1000	5
3	20.000	90.91	2000	10
4	20.000	86.95	3000	15
5	20.000	83.33	4000	20
6	20.000	80.00	5000	25
7	20.000	76.92	6000	30
8	20.000	74.07	7000	35
9	20.000	71.42	8000	40
10	20.000	68.96	9000	45
11	20.000	66.66	10000	50
12	20.000	64.51	11000	55
13	20.000	62.50	12000	60
14	20.000	60.60	13000	65
15	20.000	58.82	14000	70
16	20.000	57.14	15000	75
17	20.000	55.55	16000	80
18	20.000	54.05	17000	85
19	20.000	52.63	18000	90
20	20.000	51.28	19000	95
21	20.000	50.00	20000	100
22	20.000	48.78	21000	105
23	20.000	47.61	22000	110

Tabelul 2. Procentul de exemple pozitive și exemple negative utilizat pt. Experimentul 1

Experimentul a constatat în antrenarea unei rețele neuronale în recunoașterea caracterelor „a”, „e”, „n” și „r”. Pentru experiment am folosit o rețea neuronală de tip multilayer perceptron cu 1 strat ascuns. Configurația acestei rețele este următoarea

- stratul de intrare conține 1024 neuroni – am folosit ca intrări desene de 32x32 pixeli cu literele respective
- stratul ascuns are 700 de neuroni
- stratul de ieșire are 4 neuroni – fiecare dintre cei 4 neuroni este responsabil cu recunoașterea unui caracter

Funcțiile de activare corespunzătoare fiecărui dintre cele 3 straturi sunt:

- pentru stratul de intrare avem ca funcție de activare – funcția liniară $f(x) = x$.
- pentru stratul ascuns avem ca funcție de activare – funcția logistică
- pentru stratul de ieșire avem ca funcție de activare – funcția logistică

Antrenarea a pornit cu un set de 4 caractere (a,e,n, și r), fiecare având câte 5000 de instanțe. Treptat s-au adăugat la fiecare nouă antrenare câte 1000 de noi

Învățarea pe baza corecției erorii cu exemple negative 67

caractere(preponderent literele b,d,h,l și t), acestea din urmă având rol de exemple negative. Pentru fiecare antrenare, testarea s-a făcut pe un set de 26.000 de caractere, astfel, pentru fiecare literă a alfabetului am avut câte 1000 de instanțe.

Rezultatele obținute în cadrul acestui experiment sunt prezentate în Tabelul 3.

Antrenare	Exemple negative %	Litera „a” %	Litera „e” %	Litera „n” %	Litera „r” %	Întreg alfabetul %	Set producție %
1	0	91.00	94.40	96.30	96.10	31.95	78.94
2	4.76	90.80	92.60	95.20	95.80	54.23	82.06
3	9.09	91.30	91.90	95.30	95.20	58.90	82.96
4	13.05	90.30	92.80	94.80	95.50	62.31	83.33
5	16.67	88.40	91.20	94.30	95.20	63.19	82.68
6	20.00	88.70	90.80	94.20	95.00	66.19	82.76
7	23.08	88.60	89.50	93.70	95.00	67.34	82.54
8	25.93	88.60	90.80	93.10	94.90	69.00	82.81
9	28.58	89.20	90.20	93.00	94.70	68.42	82.79
10	31.04	88.10	88.90	92.60	94.50	72.03	82.28
11	33.33	89.20	88.70	93.30	94.00	70.12	82.50
12	35.49	87.30	88.80	92.90	94.70	70.53	82.23
13	37.50	88.70	88.50	92.40	93.70	71.17	82.20
14	39.40	88.20	87.90	92.40	93.40	72.58	81.95
15	41.18	87.80	88.60	92.20	93.60	72.53	82.02
16	42.86	88.10	89.20	92.20	93.70	73.34	82.24
17	44.44	89.20	89.30	91.20	94.40	71.07	82.38
18	45.95	88.00	87.30	90.30	93.90	74.07	81.53
19	47.37	87.60	87.70	91.00	92.90	74.43	81.54
20	48.72	86.90	88.30	91.40	92.90	75.21	81.60
21	50.00	88.10	88.70	91.40	93.10	75.44	81.98
22	51.22	86.70	86.80	90.50	92.60	75.20	81.04
23	52.39	86.80	88.10	90.50	92.60	75.56	81.32

Tabelul 3. Rezultatele obținute pe baza de date NIST 19 în cadrul experimentului 1

Se poate observa o mică scădere a ratei de învățare pentru caracterele „a”, „e”, „n” și „r” odată cu introducerea exemplilor negative în setul de antrenare. Acest lucru este oarecum firesc și natural, deoarece rețeaua neuronală nefiind antrenată cu exemple negative căuta să includă orice caracter prezent la intrare într-una din aceste clase. Din această cauză rata de succes este foarte mare, deoarece foarte puține caractere sunt „lăsate pe dinafară”.

Această abordare este oarecum similară cu ideea de a antrena o rețea neuronală să recunoască un singur caracter. Seturile de antrenare și testare ar trebui să cuprindă numai acel caracter, lucru ce ar determina o recunoaștere aproape de 100% a celui caracter de către rețea.

În acest caz problemele apar atunci când în setul de testare sunt caractere diferite de cele cu care a fost antrenată rețeaua, și nu mă refer la feluri diferite de scriere a unui caracter ci la clase diferite de caractere. După cum se observă din tabel, rețeaua neuronală care a fost antrenată numai cu caracterele „a”, „e”, „n” și „r” întâmpină mari dificultăți când la intrare apar și alte clase de caractere. Astfel, deși are rate de recunoaștere între 91% și 96.3% pentru caracterele „a”, „e”, „n” și

68 Învățarea pe baza corecției erorii cu exemple negative

„r” pe setul total de litere ale alfabetului nu obține decât 31.95%. Putem concluziona că multe dintre caracterele străine rețelei au fost „recunoscute” ca făcând parte din clasele cunoscute.

Situația se schimbă foarte mult atunci când în setul de antrenare sunt introduse și exemple negative, clase de caractere care trebuie recunoscute de către rețea ca nefăcând parte din clasele „a”, „e”, „n” și „r”.

Astfel, pentru un set de testare în care avem incluse toate literele alfabetului, procentul de recunoaștere crește odată cu creșterea numărului de exemple negative cunoscute. (Figura 37) Pe de altă parte, asistăm la o scădere a procentelor de recunoaștere a caracterelor principale („a”, „e”, „n” și „r”), scădere situată între 4 și 6 procente. (Figura 36)

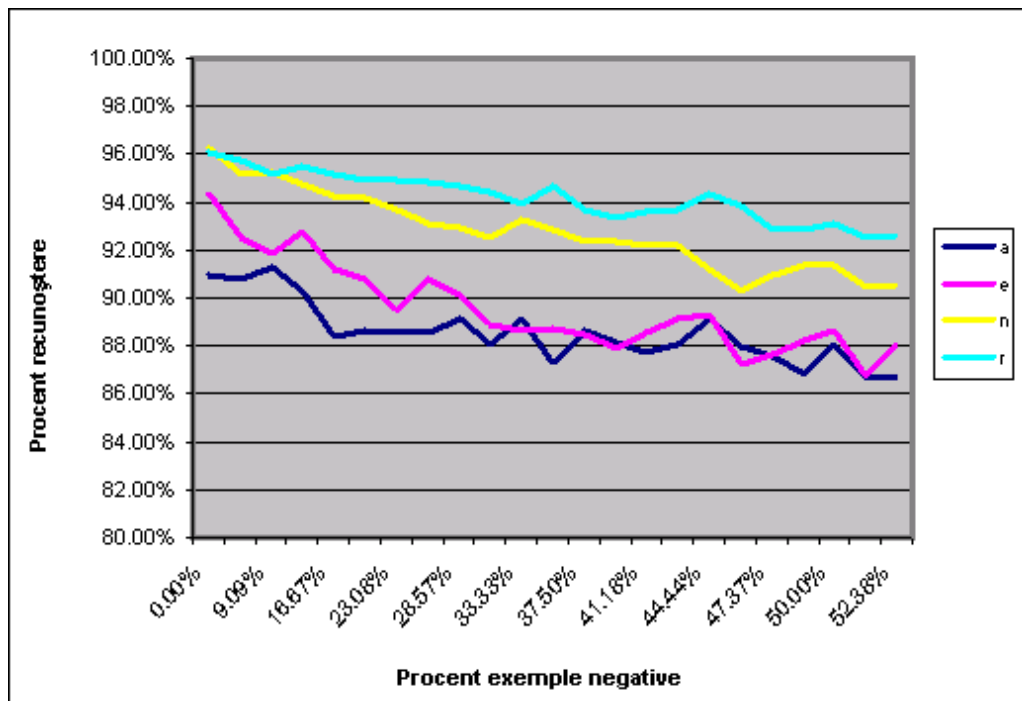


Figura 36. Reprezentarea grafică a procentelor de recunoaștere pentru caracterele „a”, „e”, „n” și „r”, de către rețeaua neuronală de la experimentul 1

Ne aflăm astfel într-o situație în care mărirea unei variabile conduce la micșorarea altei variabile. Din această cauză este necesară, construirea unei formule care să reflecte cât mai bine o situație reală.

Pentru a afla procentul de exemple negative optim, am conceput un set de producție în care numărul de exemple negative deține o fracție egală cu fiecare clasă ce trebuie recunoscută de către rețeaua neuronală.

Pentru exemplificare, dacă considerăm exemplul 1, avem 4 clase ce trebuie recunoscute de către rețea, deci procentul de exemple negative trebuie să fie egal cu procentul de exemple pozitive pentru fiecare din cele 4 clase. În acest caz fiecare din cele 4 clase, precum și totalul exemplelor negative dețin câte 1/5 din setul de antrenare.

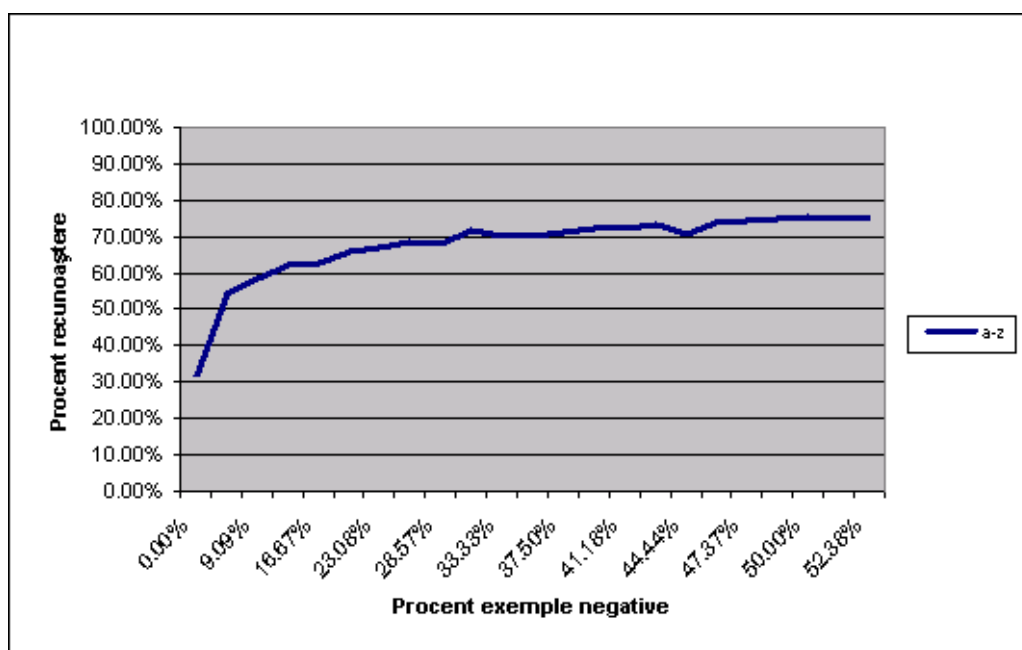


Figura 37. Reprezentarea grafică a procentelor de recunoaștere pentru întreg alfabetul, de către rețeaua neuronală de la experimentul 1

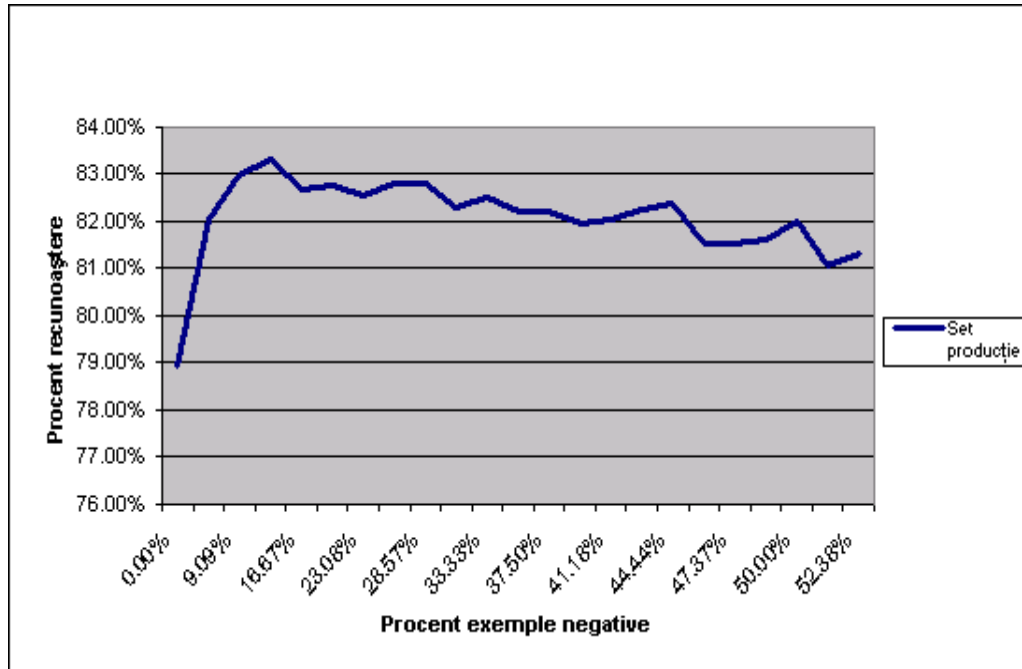


Figura 38. Reprezentarea grafică a procentelor de recunoaștere pentru setul de producție, de către rețeaua neuronală de la experimentul 1

70 Învățarea pe baza corecției erorii cu exemple negative

Formula generală de calcul a procentului total pentru setul de producție este următoarea:

$$P_{prod} = \frac{\sum P_{recunoastere} + P_{rec.clase\ neg.}}{Nr.clase\ pozitive + 1} \quad (5.1)$$

Reprezentarea grafică a procentului de recunoaștere pentru setul de producție se poate observa în Figura 38. Uitându-ne atent la acest grafic observăm că are un maxim pentru un set de antrenare format din 13.04% exemple negative (sau 15% din numărul de exemple pozitive).

Acesta este un procent maxim în situația în care am folosit un set de exemple negative ce crește la fiecare pas cu 5% din setul inițial de exemple pozitive. Pentru a vedea o valoare mai exactă a acestui procent este necesar un al doilea experiment care să utilizeze un pas de discretizare mai fin.

Concluzii

În urma efectuării experimentului 1 (antrenarea unei rețele neuronale în vederea recunoașterii caracterelor), au fost formulate următoarele concluzii:

- ✓ utilizarea într-un set de antrenare a cel puțin 5% exemple negative îmbunătățește considerabil performanțele rețelei neuronale (cu până la 100% pentru un set de testare ce conține și tipare negative)
- ✓ pentru definirea unui set de producție independent de problemă putem utiliza formula 5.1
- ✓ dacă se dorește un maxim de performanță pentru o rețea neuronală, trebuie să utilizăm un număr de exemple pozitive cuprins în intervalul [10% - 20%] din numărul de exemple pozitive

Experimentul 2

Experimentul 2 are ca punct de plecare experimentul 1 și încearcă găsirea unei valori mai exacte pentru procentul de exemple negative care trebuie utilizat în problema recunoașterii de caractere din baza de date NIST 19.

Așa cum s-a observat (vezi Figura 38 și Tabelul 3) procentul optim de exemple negative găsit în cadrul experimentului 1 este de 13.05% din numărul total de exemple sau 15% din exemplele pozitive. Pentru găsirea unei valori mai exacte, o să antrenăm rețele neuronale ce au setul de exemple negative cuprins între valorile 9.09% și 16.66% din numărul total de exemple sau 10% și 20% din exemplele pozitive.

Rețeaua neuronală este identică cu cea de la exemplul 1, și la fel este și setul de testare cu toate literele alfabetului (26.000 de caractere) respectiv formula pentru calculul procentului unui set de producție (vezi formula 5.1)

Pasul de discretizare folosit este de 0.5%, de 10 ori mai mic decât pasul folosit la experimentul 1. Prezentăm direct rezultatele obținute în cadrul experimentului 2 în Tabelul 4.

Se poate observa că procente de recunoaștere sunt diferite față de cele obținute la experimentul 1. Acest fapt este datorat inițializării ponderilor cu valori aleatoare, precum și faptul că setul de antrenare este obținut, de asemenea,

Învățarea pe baza corecției erorii cu exemple negative 71

aleator. Cu toate acestea procentele de recunoaștere obținute la toate categoriile se situează în același interval cu procentele obținute la experimentul 1.

Similar cu exemplul 1, procentul de recunoaștere pentru literele „a”, „e”, „n” și „r” scade odată cu creșterea numărului de exemple negative folosit la antrenarea rețelei. De asemenea, procentul de recunoaștere pentru întregul alfabet crește dacă numărul exemplilor negative folosite la antrenare crește.

Procentul de recunoaștere pentru setul de producție are o tendință crescătoare până la valoarea de 83.39% (obținută pentru un set de antrenare ce conține aproximativ 16% exemple negative), după care tendința este descrescătoare.

Se verifică în acest fel datele experimentului 1, care precizau că procentul maxim de recunoaștere obținut pentru un set de producție se obține pentru un număr de exemple negative situat într-un interval de 9%-17%.

Antrenare	Exemple negative %	Litera „a” %	Litera „e” %	Litera „n” %	Litera „r” %	Întreg alfabetul %	Set producție %
1	9.09	91.30	93.30	95.30	95.20	55.44	83.05
2	9.50	90.70	93.40	95.10	95.60	56.34	82.93
3	9.91	91.60	93.20	94.70	95.40	57.25	83.09
4	10.31	91.20	93.20	95.60	95.50	56.03	83.21
5	10.71	89.70	93.50	95.60	95.30	58.56	83.00
6	11.11	90.50	92.10	94.90	95.20	57.62	82.76
7	11.50	90.30	93.70	94.50	95.60	57.62	83.17
8	11.89	91.00	91.90	95.20	95.80	58.40	83.15
9	12.28	90.80	93.00	95.30	95.40	57.08	83.21
10	12.66	90.70	92.70	94.80	95.20	58.18	83.03
11	13.04	90.10	92.50	95.30	94.90	60.89	83.10
12	13.42	89.20	92.10	94.90	95.20	60.33	82.91
13	13.79	91.00	92.20	95.10	95.50	58.47	83.26
14	14.16	90.30	92.10	94.20	95.10	61.44	83.01
15	14.53	90.70	93.10	93.90	94.90	60.02	83.21
16	14.89	89.70	92.00	95.00	95.10	62.32	83.07
17	15.25	89.40	92.80	95.20	95.00	60.57	83.14
18	15.61	90.80	92.10	94.80	95.10	60.91	83.22
19	15.97	90.70	93.20	95.00	94.80	59.80	83.39
20	16.32	89.10	93.20	94.10	95.20	61.57	83.02
21	16.67	89.20	92.50	94.00	94.90	61.74	82.93

Tabelul 4. Rezultatele obținute pe baza de date NIST 19 în cadrul experimentului 2

În Figura 39 este reprezentat graficul evoluției procentului de recunoaștere pe setul de producție în funcție de numărul de exemple negative. Zonele de creștere și scădere a procentului sunt vizibile mai clar în figură și se poate observa și zona de maxim obținută pentru procentul de recunoaștere.

La finalul celor două experimente desfășurate pe setul de date NIST 19 am determinat procentul de exemple negative optim pentru antrenare ca fiind 16%. Același procent, de data aceasta exprimat ca număr de exemple negative din numărul total de exemple pozitive este de 19%.

72 Învățarea pe baza corecției erorii cu exemple negative

Cu toate acestea la o privire atentă asupra graficelor de evoluție a procentului de recunoaștere pe seturile de producție (Figura 38, Figura 39) observăm o oscilare a acestui procent de-a lungul intervalului parcurs. Acest fapt ne determină să recomandăm un interval în care se află procentul optim de exemple negative ce trebuie folosit, în detrimentul unei singure valori.

Astfel, putem spune că intervalul în care este situat procentul optim de exemple negative este 15.5%-16% din numărul total de exemple, sau 18%-19% din numărul total de exemple pozitive.

Pentru verificarea acestor procente se vor efectua experimente de găsim a procentului optim de exemple negative și pe un alt set de date total diferit de setul de date NIST19.

Nu mai după aceste experimente putem concluziona intervalul exact în care se găsește procentul optim de exemple negative.

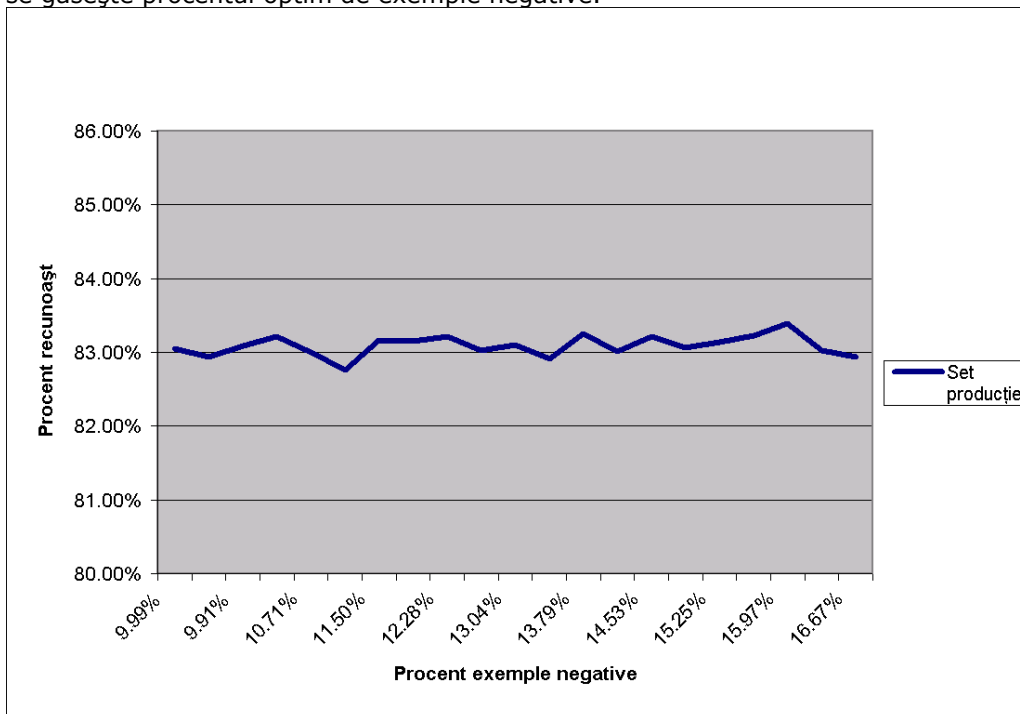


Figura 39. Reprezentarea grafică a procentelor de recunoaștere pentru setul de producție, de către rețeaua neuronală de la experimentul 2

Concluzii

Concluziile care au fost formulate în urma realizării experimentului 2 (antrenarea unei rețele neuronale pentru recunoaștere de caractere, cu o precizie mai mare în definirea procentului de exemplelor negative din setul de antrenare) sunt prezente în cele ce urmează:

- ✓ procentului de exemple negative (pentru problema recunoașterii caracterelor) din setul de antrenare este localizat în intervalul [15.5% - 16%] din numărul total de exemple, sau [18% - 19%] din numărul de exemple pozitive

5.2.2 Experimente pe setul de date Ocean Data

La fel ca și în capitolul anterior, s-a încercat găsirea procentului optim de exemple negative ce trebuie utilizate pentru rezolvarea unei probleme cu ajutorul rețelelor neuronale. În acest experiment am schimbat natura problemei; în locul recunoașterii de caractere s-a apelat de această dată la estimarea unor mărimi pe baza unor date culese anterior.

Și de această dată au fost efectuate două experimente, primul a încercat să localizeze intervalul în care se află procentul de exemple negative optim, iar al doilea experiment este pentru calcularea exactă a acestui procent.

Experimentul 3

Pentru următoarele 2 experimente avem un set de antrenare mai mic decât cel folosit la recunoașterea de caractere. Setul de antrenare inițial este format numai din exemple pozitive și se adaugă incremental câte un procent de 5% (din setul inițial) de exemple negative. Numărul exemplilor pozitive și negative pentru fiecare antrenare este prezent în Tabelul 5. La fel ca la experimentul 1 avem 23 de antrenări care reușesc să parcurgă un interval al exemplilor negative situat între 0% și 52.39% din totalul exemplilor din setul de antrenare, sau între 0% și 110% din numărul de exemple pozitive utilizat.

Antrenare	Ex. pozitive (număr)	Ex. pozitive (% din total)	Ex. negative (număr)	Ex. negative (% din Ex. pozitive)
1	13.000	100	0	0
2	13.000	95.24	650	5
3	13.000	90.91	1300	10
4	13.000	86.95	1950	15
5	13.000	83.33	2600	20
6	13.000	80.00	3250	25
7	13.000	76.92	3900	30
8	13.000	74.07	4550	35
9	13.000	71.42	5200	40
10	13.000	68.96	5850	45
11	13.000	66.66	6500	50
12	13.000	64.51	7150	55
13	13.000	62.50	7800	60
14	13.000	60.60	8450	65
15	13.000	58.82	9100	70
16	13.000	57.14	9750	75
17	13.000	55.55	10400	80
18	13.000	54.05	11050	85
19	13.000	52.63	11700	90
20	13.000	51.28	12350	95
21	13.000	50.00	13000	100
22	13.000	48.78	13650	105
23	13.000	47.61	14300	110

Tabelul 5. Procentul de exemple pozitive și exemple negative utilizat pt. Experimentul 3

74 Învățarea pe baza corecției erorii cu exemple negative

Pasul de incrementare pentru exemplele negative este de 5% (650 de exemple) din numărul inițial de exemple pozitive (13.000 exemple) cu care s-a pornit acest experiment.

În aceste condiții avem un set de antrenare care a pornit de la o valoare de 13.000 de exemple și a ajuns la final cu 27.300 de exemple, marea majoritate fiind exemple negative.

Experimentul constă în determinarea gradului de risc privind apariția unor valuri foarte mari într-o anumită perioadă a anului. Rețeaua neuronală are ca intrări diverși parametri oceanografici (vezi Anexa 2) măsurabili, iar la ieșire avem una din cele 3 categorii de risc privind înălțimea valului:

- risc inexistent – cuprinde valuri a căror înălțime este cuprinsă în intervalul [0 , 0.5] m
- risc scăzut – cuprinde valuri a căror înălțime este cuprinsă în intervalul [0.5 , 1] m
- risc mediu – cuprinde valuri a căror înălțime este cuprinsă în intervalul [1 , 1.5] m

Dacă nici una din ieșirile rețelei nu este activă se consideră că valul are o înălțime cu un grad ridicat de risc. Exemplele negative cu care a fost antrenată rețeaua sunt numai din această ultimă categorie.

Configurația rețelei neuronale este următoarea

- stratul de intrare conține 17 neuroni – am folosit ca intrări toți parametrii din Anexa 2 mai puțin parametrul 8
- stratul ascuns are 160 de neuroni
- stratul de ieșire are 3 neuroni – corespunzătoare celor 3 nivele de risc pentru valuri

Funcțiile de activare corespunzătoare fiecărui dintre cele 3 straturi sunt:

- pentru stratul de intrare avem ca funcție de activare – funcția liniară $f(x) = x$.
- pentru stratul ascuns avem ca funcție de activare – funcția logistică
- pentru stratul de ieșire avem ca funcție de activare – funcția logistică

S-au efectuat 23 de antrenări, având pentru prima antrenare un set format numai din exemple pozitive(13.000) și pentru ultima un set format din 13.000 exemple pozitive și 14.300 exemple negative.

Rezultatele obținute în cadrul acestui experiment sunt prezentate în Tabelul 6. La fel ca și la precedentele experimente, rata de învățare pentru cele 3 categorii de risc scade odată cu creșterea procentului de exemple negative introduse în setul de antrenare. Scăderea nu este așa de accentuată ca în cazul experimentului 1, observându-se că avem chiar o categorie de risc (cea cu risc scăzut) la care procentul de recunoaștere a rămas oarecum constant.

Acest fapt este foarte important, deoarece arată diversitatea datelor față de cele de la experimentele precedente. Acest aspect se poate observa în Figura 40 unde ratele de recunoaștere pentru cele trei categorii de risc pornesc de la procente foarte diferite între ele. În timp ce pentru risc inexistent avem procente de recunoaștere situate în jurul valorii de 85%, pentru risc scăzut avem 98% iar pentru risc mediu avem 50%.

Antrenare	Exemple negative %	Risc inexistent %	Risc scăzut %	Risc mediu %	Set test %	Set producție %
1	0	87.07	97.92	55.71	43.73	60.17
2	4.76	86.21	94.44	50.00	85.55	79.64
3	9.09	84.48	96.53	54.29	86.82	81.29
4	13.05	85.34	98.61	54.29	88.09	82.29
5	16.67	83.62	95.14	52.86	90.00	81.38
6	20.00	82.76	94.44	48.57	90.82	80.37
7	23.08	81.03	97.22	50.00	91.55	81.12
8	25.93	82.76	94.44	51.43	91.73	81.48
9	28.58	80.17	95.14	50.00	91.91	80.48
10	31.04	80.17	96.53	51.43	91.73	81.42
11	33.33	78.45	97.22	50.00	91.27	80.93
12	35.49	77.59	97.22	48.57	91.45	80.52
13	37.50	79.31	97.22	47.14	91.91	80.50
14	39.40	76.72	95.14	51.43	91.91	80.56
15	41.18	78.45	97.22	50.00	90.00	81.16
16	42.86	77.59	95.83	48.57	92.00	80.27
17	44.44	76.72	94.44	51.43	92.09	80.36
18	45.95	75.00	95.83	47.14	91.27	79.23
19	47.37	78.45	95.14	47.14	91.55	80.15
20	48.72	75.86	95.14	44.29	92.36	78.69
21	50.00	79.31	95.83	42.86	92.45	79.44
22	51.22	75.86	96.53	44.29	91.27	79.10
23	52.39	75.00	95.83	45.71	91.27	79.10

Tabelul 6. Rezultatele obținute pe baza de date Ocean Data în cadrul experimentului 3

76 Învățarea pe baza corecției erorii cu exemple negative

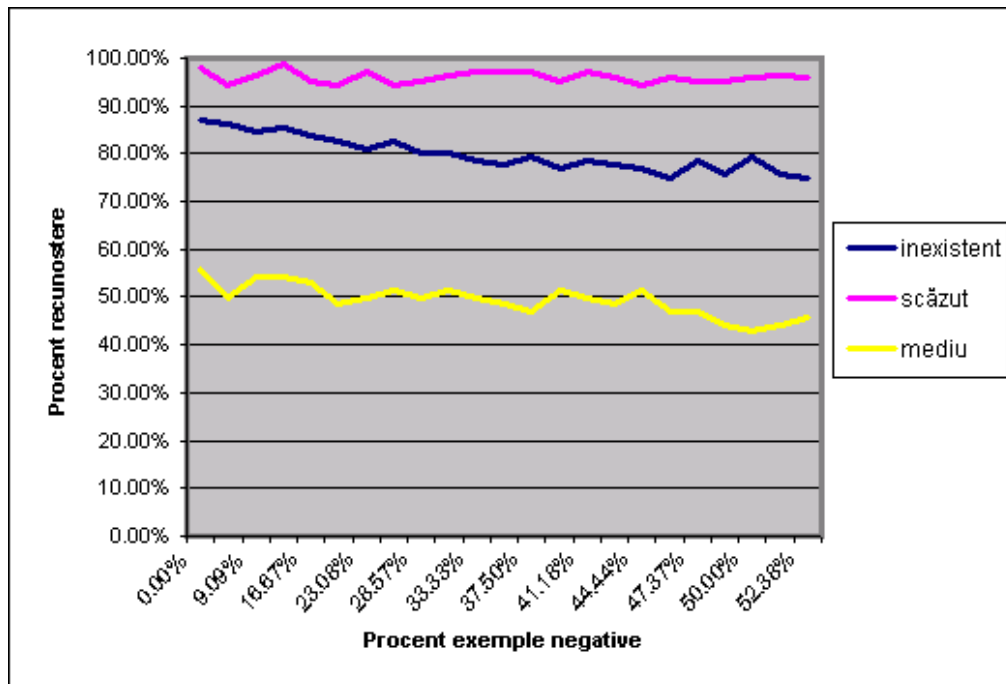


Figura 40. Reprezentarea grafică a procentelor de recunoaștere pentru cele trei categorii de risc de către rețeaua neuronală de la experimentul 3

Graficul setului de testare (Figura 41) se prezintă similar cu cel obținut la Experimentul 1. Observăm și aici o creștere accentuată a procentului de recunoaștere pentru primele procente de exemple negative introduse în setul de antrenare și o stagnare a acestui procent odată cu depășirea procentului de 30% exemple negative în setul de antrenare.

În privința setului de producție acesta pare identic cu cel generat la Experimentul 1. (Figura 38 și Figura 42) Acest fapt conduce la concluzia că procentele de exemple negative folosite într-o antrenare de rețele neuronale trebuie să fie la fel indiferent de natura aplicației sau de datele folosite de aceasta.

Procentul maxim de recunoaștere pentru un set de producție este obținut pentru o valoare de 13% exemple negative conținute în setul de antrenare. Dorim o valoare mai exactă a acestui proces pentru setul de date Ocean's Data, și de aceea o să executăm încă un experiment la care intervalul de exemple negative folosite la antrenare este [9.09 , 16.67]. Procentele acestea sunt echivalente cu un set de exemple negative situat între 10% și 20% din numărul de exemple pozitive din setul de antrenare. O să împărțim acest interval în 20, rulând pentru fiecare valoare o antrenare a rețelei neuronale.

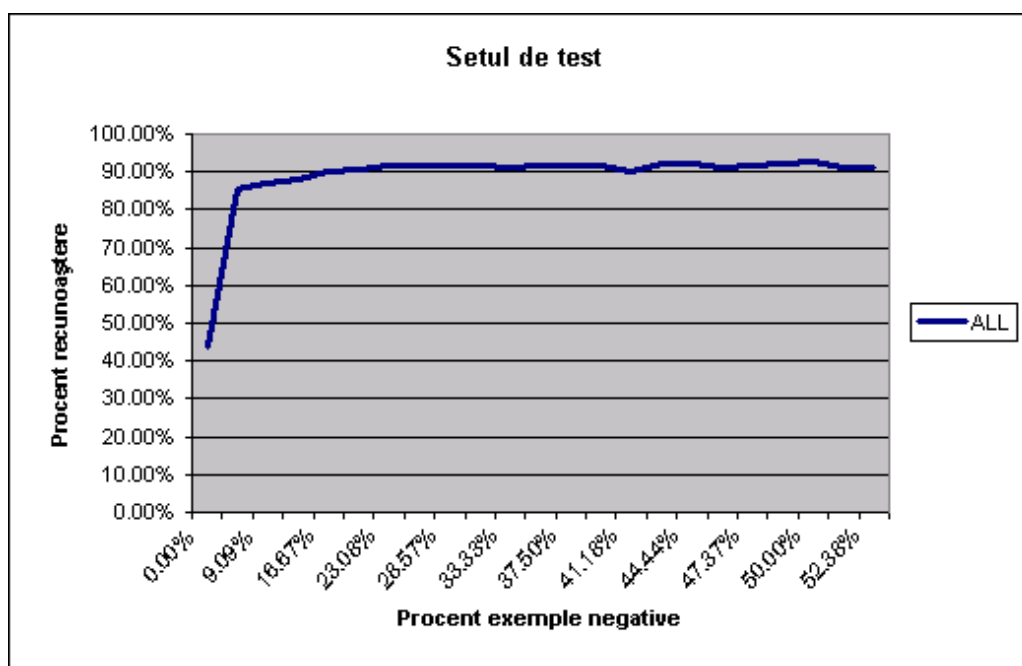


Figura 41. Reprezentarea grafică a procentelor de recunoaștere pentru setul de test, de către rețeaua neuronală de la experimentul 3

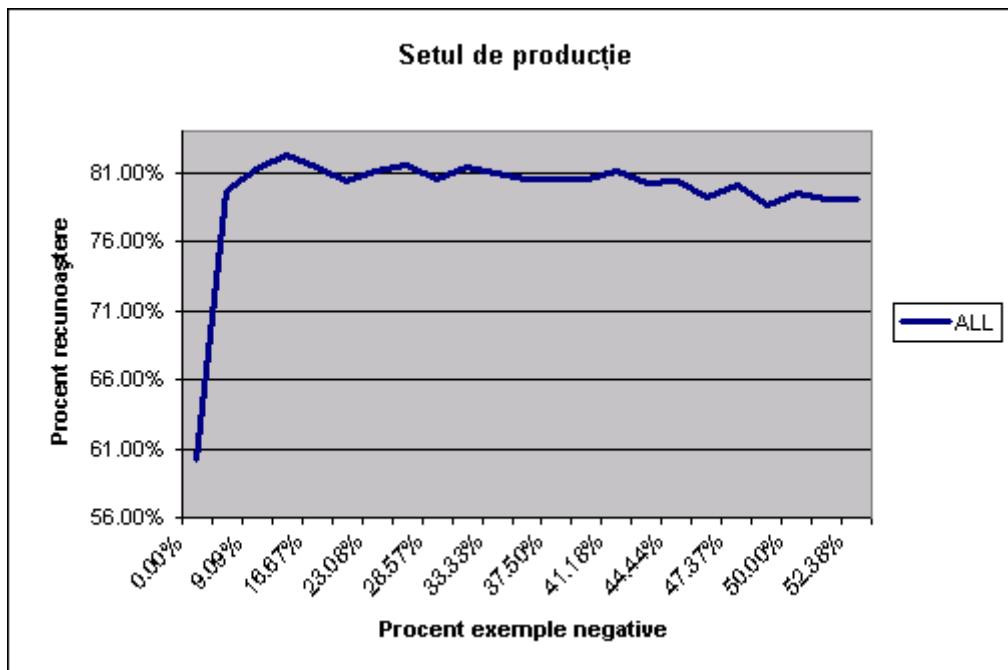


Figura 42. Reprezentarea grafică a procentelor de recunoaștere pentru setul de producție, de către rețeaua neuronală de la experimentul 3

78 Învățarea pe baza corecției erorii cu exemple negative

Concluzii

În urma efectuării experimentului 3 (antrenarea unei rețele neuronale pentru detectarea unor valori periculoase), au fost formulate următoarele concluzii:

- ✓ și pentru această antrenare, procentul de exemple negative optim rămâne situat în intervalul [10% - 20%] din numărul de exemple pozitive
- ✓ recunoașterea pe setul de producție prezintă valori și formă asemănătoare cu cea de la experimentul 1

Experimentul 4

Experimentul 4 are ca punct de plecare experimentul 3 și încearcă găsirea unei valori mai exacte pentru procentul de exemple negative care trebuie utilizat în problema recunoașterii unor tipologii de valori din baza de date Ocean's Data.

La fel ca și la Experimentul 2 trebuie să căutăm valoarea exactă a procentului dorit în intervalul [9.09% , 16.67%] – procente din setul de testare, sau [10% , 20%] dacă exprimăm în funcție de procente pozitive.

Rețeaua neuronală folosită în acest experiment este identică cu cea de la Experimentul 3. Seturile de antrenare au fost generate astfel încât să avem o împărțire a intervalului de căutare în 20 de părți. Pentru aceasta pasul de discretizare este de 0.5 % (exemple negative din exemple pozitive), de 10 ori mai mic decât pasul folosit la experimentul 3. Prezintă direct rezultatele obținute în cadrul experimentului 4 în Tabelul 7.

Antrenare	Exemple negative %	Risc inexistent %	Risc scăzut %	Risc mediu %	Set test %	Set producție %
1	9.09	80.17	96.53	55.71	86.18	80.08
2	9.50	79.31	97.22	54.29	87.27	80.24
3	9.91	81.90	97.92	51.43	87.55	80.34
4	10.31	81.03	98.61	54.29	84.00	79.91
5	10.71	81.90	98.61	51.43	85.64	80.06
6	11.11	81.90	98.61	50.00	87.27	79.96
7	11.50	79.31	98.61	47.14	86.45	78.54
8	11.89	79.31	98.61	51.43	87.36	79.93
9	12.28	78.45	97.22	58.57	90.00	81.74
10	12.66	80.17	97.92	54.29	88.00	80.66
11	13.04	80.17	97.92	55.71	87.82	80.95
12	13.42	71.55	98.61	58.57	88.09	80.01
13	13.79	77.59	98.61	50.00	87.09	78.98
14	14.16	76.72	97.92	54.29	88.91	80.28
15	14.53	78.45	97.92	51.43	87.36	79.45
16	14.89	75.00	97.22	51.43	89.00	79.29
17	15.25	78.45	97.22	61.43	88.64	82.20
18	15.61	70.69	95.83	58.57	89.64	79.91
19	15.97	75.86	95.14	51.43	87.82	78.56
20	16.32	77.59	95.83	48.57	88.00	78.55
21	16.67	79.31	95.83	51.43	89.82	80.08

Tabelul 7. Rezultatele obținute pe baza de date Ocean Data în cadrul experimentului 4

Și la acest experiment procentele de recunoaștere sunt diferite față de cele de la experimentul 3. Așa cum am explicat anterior acest lucru se datorează inițializării ponderilor cu valori aleatoare, precum și faptului că setul de antrenare este obținut de asemenea aleator. Cu toate acestea procentele de recunoaștere obținute la toate categoriile se situează în același interval cu procentele obținute la experimentul 1.

Pentru o analiză mai clară, am reprezentat grafic evoluția procentului de recunoaștere pentru setul de producție în Figura 43.

Se poate ușor observa că procentul de recunoaștere are un maxim de 82.20% pentru valoarea de 15.25% exemple negative din setul de antrenare (numărul de exemple negative este echivalent cu 18% din numărul de exemple pozitive).

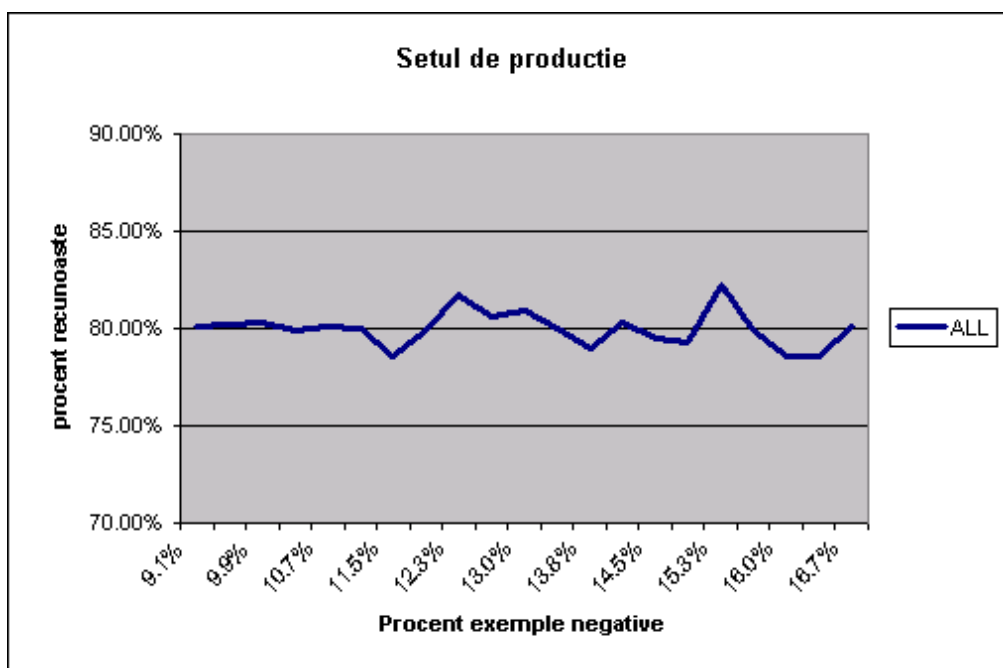


Figura 43. Reprezentarea grafică a procentelor de recunoaștere pentru setul de producție, de către rețeaua neuronală de la experimentul 4

Procentul de recunoaștere pentru setul de producție are o tendință crescătoare până la valoarea de 82.20%, după care tendința este descrescătoare.

Se verifică în acest fel datele experimentului 3, care precizau că procentul maxim de recunoaștere obținut pentru un set de producție se obține pentru un număr de exemple negative situat într-un interval de 9%-17%.

O altă observație care confirmă datele obținute la experimentul 3 este aceea că procentul de recunoaștere pentru întregul set crește dacă numărul exemplilor negative folosite la antrenare crește.

Concluzii

În urma efectuării experimentului 4 (antrenarea unei rețele neuronale pentru detectarea unor valori periculoase), au fost formulate următoarele concluzii:

- ✓ pentru această problemă, intervalul [17% - 19%] (din numărul de exemple pozitive) reprezintă o delimitare mai clară a intervalului în care este situat procentul optim de exemple negative ce trebuie utilizat la antrenare.

5.2.3 Determinarea procentului de exemple negative optim ce trebuie utilizat la antrenarea rețelelor neuronale

Pentru determinarea procentului de exemple negative optim ce trebuie utilizat la antrenarea rețelelor neuronale au fost desfășurate 4 experimente. Două dintre acestea au folosit baza de date NIST 19 (bază de date ce conține caractere scrise de mână), iar celelalte două au folosit baza de date Ocean's Data (bază de date ce conține diverse măsurători aplicate asupra valorilor). Acest fapt a asigurat experimentelor noastre o largă diversitate a datelor, fapt ce conduce la o relevanță semnificativă a rezultatelor obținute.

Pentru găsirea procentului de exemple negative, pe fiecare bază de date s-au efectuat două experimente: primul experiment încearcă localizarea acestui procent la nivel de interval, iar al doilea experiment reușește găsirea unei valori pentru acest procent (prin împărțirea mai fină a intervalului de la primul experiment).

Rezultatele obținute pe cele două baze de date sunt (menționăm că toate valorile procentuale reprezintă procente din setul total de antrenare):

- NIST 19 – intervalul găsit este [9% - 17%], procentul găsit fiind de 16%
- Ocean's Data – intervalul găsit este [9% - 17%], procentul găsit fiind de 15.25%

Cele două valori găsite sunt foarte asemănătoare chiar dacă seturile de antrenare sunt total diferite. Pentru a întări această observație prezentăm mai jos câteva comparații între rezultatele obținute pe cele două seturi de valori experimentale furnizate de experimente.

În Figura 44 avem desenate graficele obținute de setul de testare pentru ambele baze de date. Chiar dacă valorile procentuale sunt diferite, forma celor două este identică. Acest lucru exprimă clar tendința de creștere a procentului de recunoaștere pentru un set de testare, atunci când procentul de exemple negative din setul de antrenare crește. Creșterea aceasta este asimptotică, fiind mai accentuată pentru valori ale procentului de exemple negative până la 20% din totalul exemplilor din setul de antrenare.

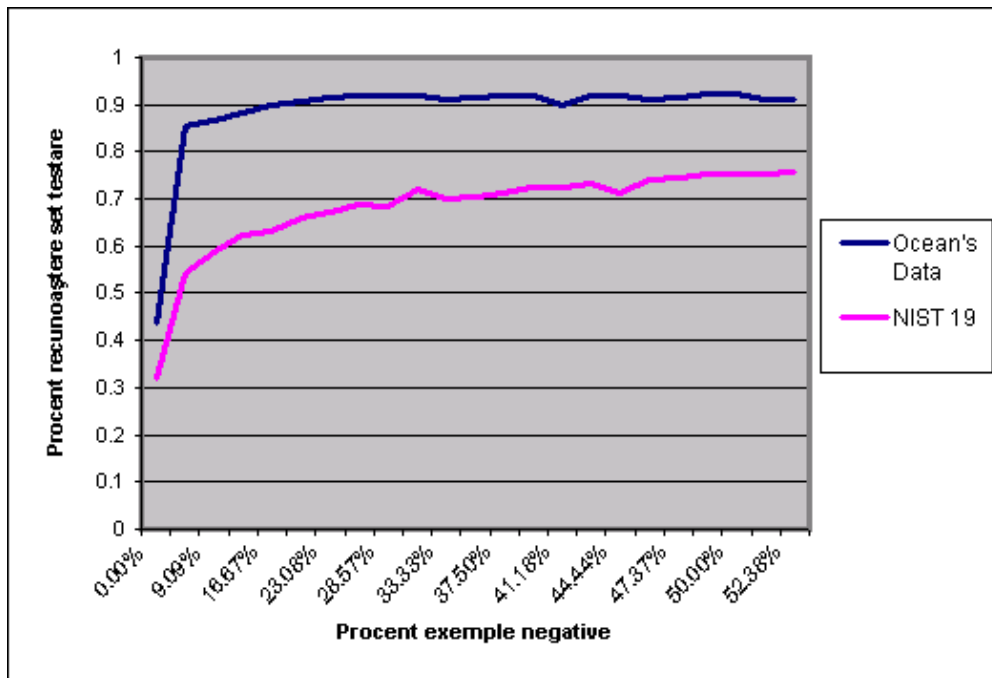


Figura 44. Reprezentarea grafică a procentelor de recunoaștere obținute pe setul de testare pentru cele două seturi de date

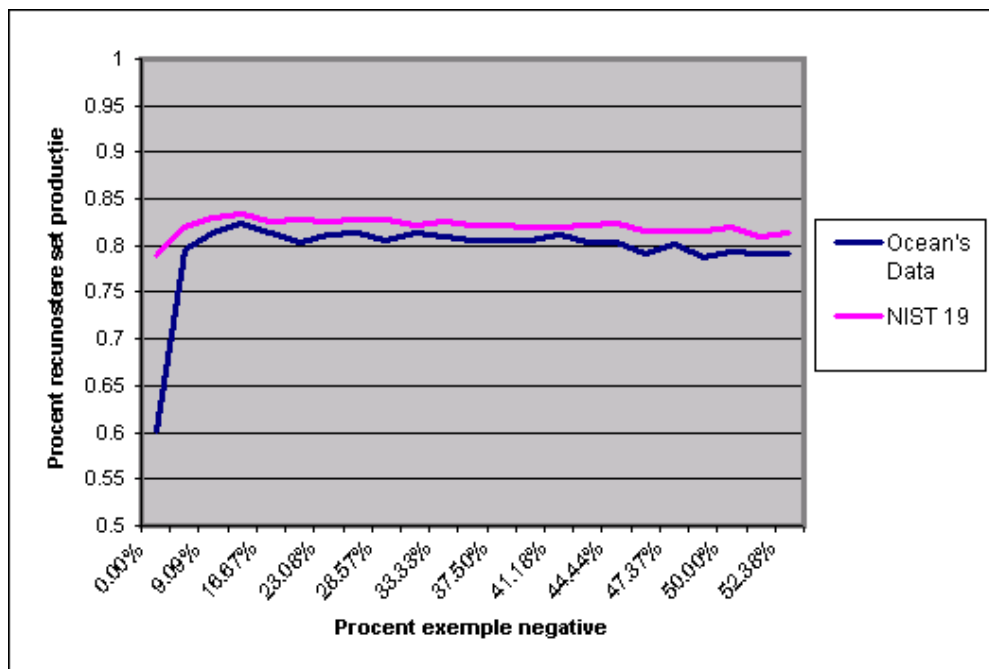


Figura 45. Reprezentarea grafică a procentelor de recunoaștere obținute pe setul de producție pentru cele două seturi de date

O altă comparație interesantă este făcută pe procente de recunoaștere obținute pe un set de producție. Spre deosebire de setul de testare, cel de producție a fost alcătuit după o formulă propusă de autor (5.1) și redă foarte fidel distribuția unor exemple din clase necunoscute cu exemplele din clase cunoscute de către rețeaua neuronală.

Astfel, în Figura 45 se pot observa asemănările dintre cele două grafice pentru cele două seturi. Deși pentru procente de recunoaștere obținute pe setul de testare avem o diferență de până la 30% (pentru anumite configurații), pentru setul de producție, această diferență nu este mai mare de 4%. În acest fel obținem o validare certă pentru formula ce descrie setul de producție.

În plus se poate observa cum procentul de recunoaștere variază în limita a 5% pentru valori ale setului de antrenare cu conținut mai mare de 5% exemple negative. În acest context, putem spune că ponderea cea mai mare asupra variației procentului de antrenare este dată de folosirea exemplelor negative în setul de testare, în detrimentul unui set de antrenare ce folosește numai exemple pozitive (variații de până la 25% a procentului de recunoaștere).

Cu toate acestea, pentru cei care doresc un maxim de randament (procent de recunoaștere) recomandăm folosirea unui procent situat în intervalul [15% - 16%] din numărul total de exemple din setul de antrenare (sau [17% - 19%] din numărul total de exemple pozitive).[84]

Concluzii

Pe baza informațiilor prezentate anterior, pentru experimentele 1-4 au fost formulate următoarele concluzii:

- ✓ folosirea a cel puțin 5% exemple negative în setul de antrenare al unei rețele neuronale îmbunătățește performanțele acesteia cu până la 25% pentru un set de testare ce conține și tipare negative
- ✓ pentru definirea unui set de producție independent de problemă putem utiliza formula 5.1 (graficele de la două probleme diferite au formă și valori asemănătoare)
- ✓ dacă se dorește un maxim de performanță pentru o rețea neuronală, trebuie să utilizăm un număr de exemple pozitive cuprins în intervalul [17% - 19%] din numărul de exemple pozitive
- ✓ procente de recunoaștere pe clase individuale sunt puțin mai mici (cu până la 5%) atunci când utilizăm exemple negative în setul de antrenare

5.2.4 Modelul matematic pentru procesul de antrenare cu exemple negative

În subcapitolul anterior am încercat, pe baza experimentelor, să găsim procentul optim de exemple negative ce trebuie utilizat la antrenarea unei rețele neuronale.

În continuare, vom justifica matematic afirmația făcută în prezenta lucrare, a faptului că procentul de exemple negative ce trebuie să fie folosit în cazul antrenării unei rețele neuronale trebuie să fie cuprins între 10 - 20% din totalul exemplilor utilizate pentru a obține performanțe maxime.

În acest scop se face apel la o tehnică de analiză regresională prin intermediul căreia sunt analizate datele rezultate din procesul de antrenare a trei rețele neuronale pentru un număr de trei seturi de date și anume : un set de date destinat recunoașterii literelor, a datelor furnizate de un sonar și a datelor rezultate din analizele medicale pentru diabet. Cele trei tipuri de date vor fi în continuare numite generic litere, sonar și diabet.

Etapele sunt următoarele:

- determinarea unui model corelațional pentru fiecare din cele trei tipuri de date.
- demonstrarea faptului ca acestea aparțin aceleiași categorii de modele.
- definirea unui model general al procesului de recunoaștere cu exemple negative.
- testarea modelului pe o nouă bază de date pentru verificarea veridicității acestuia.

Pentru analiza acestora s-a recurs la utilitarul DataFit[88] și Origin6.0.[89]

Analiză date de tip litere, sonar, diabet.

În cadrul prezentei analize, datele utilizate sunt cele rezultate în urma procesului de recunoaștere. Acestea se referă la procentul de exemple negative utilizat în procesul de antrenare și la o valoare normalizată dată de raportul dintre procentul de recunoaștere obținut cu exemple negative și procentul de recunoaștere obținut cu exemple pozitive. Normalizarea a fost necesară deoarece procentele de recunoaștere variază în funcție de natura aplicației și de tiparele folosite la antrenarea rețelei.

Pentru cele trei tipuri de date, rezultatele experimentale sunt prezentate în tabelul de mai jos (Tabelul 8).

Scopul este găsirea unei funcții de următorul tip:

$$\text{Recunoaștere normalizată} = f(\text{Procent exemple negative})$$

În urma interpolării, pentru fiecare dintre cele 3 funcții s-au obținut formele din figurile următoare(Figura 46, Figura 47 și Figura 48)

Procent exemple negative	Recunoaștere normalizată DIABET	Recunoaștere normalizată SONAR	Recunoaștere normalizată LITERE
0	1	1	1
5	1.108482	1.114285714	1.039523689
10	1.221101	1.250892857	1.050924753
15	1.307723	1.296428571	1.055611857
16	1.279962	1.313749999	1.054725108
17	1.278027	1.307142856	1.054091715
18	1.297856	1.307142856	1.053204966
19	1.32343	1.339285714	1.056371928
20	1.307462	1.349999999	1.047377755
25	1.307775	1.214285714	1.048391183
30	1.290598	1.239285714	1.045604256
35	1.283814	1.226428571	1.049024576
40	1.267533	1.244285714	1.048771219

84 Învățarea pe baza corecției erorii cu exemple negative

45	1.285275	1.246428571	1.042310616
50	1.226556	1.241071428	1.045097542
55	1.258814	1.228571428	1.041677223
60	1.235901	1.196428571	1.041297188
65	1.237989	1.210714285	1.038130225
70	1.22186	1.227678571	1.039016975
75	1.204118	1.197321428	1.041803902
80	1.212989	1.209821428	1.043577401
85	1.206205	1.166071428	1.032809729
90	1.223947	1.148214285	1.032936407
95	1.208292	1.149107142	1.033696478
100	1.193776	1.096428571	1.038510261

Tabelul 8. Valorile normalizate pentru cele 3 baze de cunoștințe

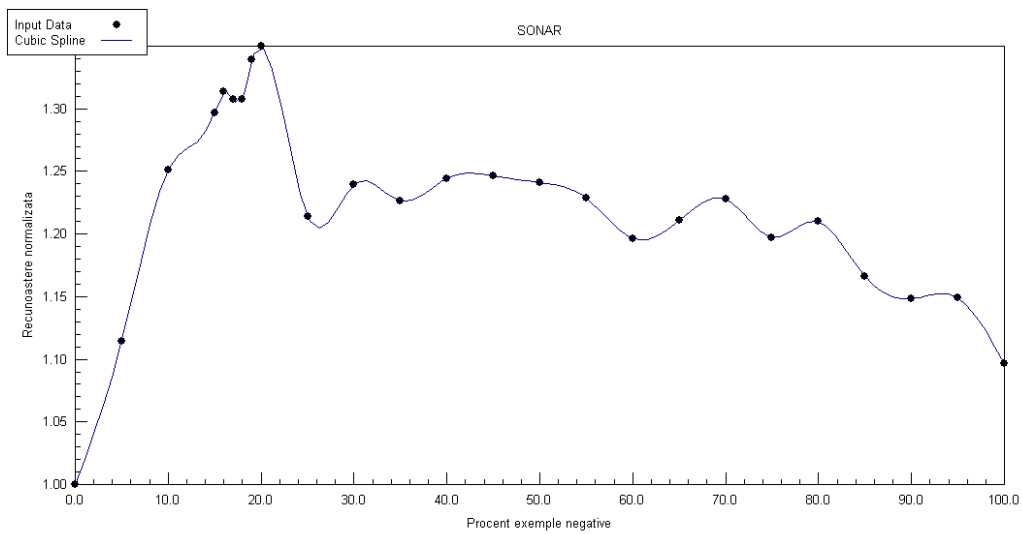


Figura 46. Interpolarea procentelor de recunoaștere normalizate pentru SONAR

$$\text{Recunoaștere normalizată SONAR} = f(\text{Procent exemple negative})$$

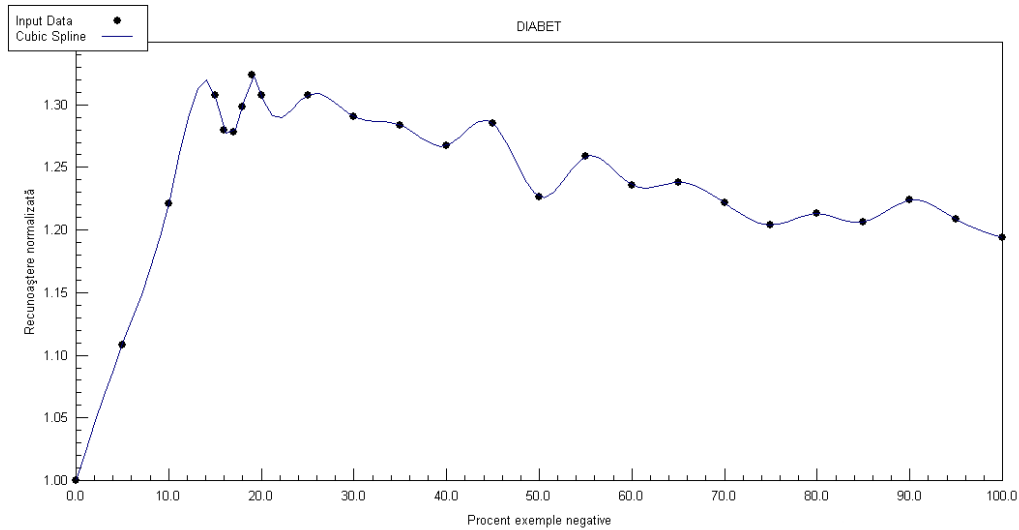


Figura 47. Interpolarea procentelor de recunoaștere normalizate pentru DIABET

$$\text{Recunoaștere normalizată DIABET} = f(\text{Procent exemple negative})$$

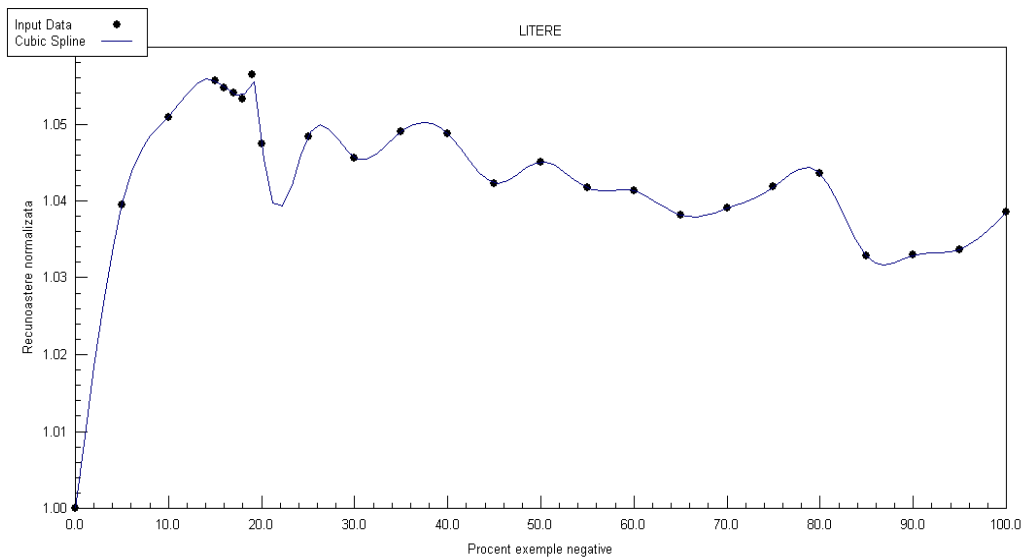


Figura 48. Interpolarea procentelor de recunoaștere normalizate pentru LITERE

$$\text{Recunoaștere normalizată LITERE} = f(\text{Procent exemple negative})$$

Din analiza celor trei funcții de interpolare se observă că acestea au aproximativ aceeași formă, și prezintă o creștere a ratei de recunoaștere maximă pentru un interval de exemple negative cuprins între 10% și 20% din numărul de exemple pozitive utilizat pentru antrenare.

86 Învățarea pe baza corecției erorii cu exemple negative

O primă concluzie care rezultă este aceea că antrenarea cu exemple negative induce un comportament similar în procesul de recunoaștere. În cursul acestui proces observăm prezența unui maxim de instanțe recunoscute pentru fiecare dintre cele 3 exemple.

Intervalul de exemple negative în care acesta se situează este de [10, 20] % din numărul de exemple pozitive din setul de antrenare. Următoarea etapă este aceea de a vedea în ce măsură acest comportament similar poate fi definit printr-un model, și dacă da, în ce măsură acest model este corect din punct de vedere statistic.

Determinarea modelului procesului de antrenare cu exemple negative

Pentru determinarea modelului comportamental al procesului de antrenare cu exemple negative, se propune utilizarea unei tehnici corelaționale pentru a defini legăturile între datele prezente în același set. Fiecare dintre aceste legături este analizată pentru a vedea în ce măsură poate conduce la obținerea unui model matematic credibil.

În continuare vom detalia procesul de analiză efectuat pentru fiecare set de date în parte.

Modelul matematic al procesului de antrenare pentru SONAR, în urma efectuării unei analize corelaționale, are următoarea formă.

Definiția modelului	$f(x) = a * x^4 + b * x^3 + c * x^2 + d * x + e$
Numărul de observații	25
Numărul de observații ratate	0
Tipul modelului	Neliniar
Limita de iterații neliniare	250
Eroarea standard pentru procesul de estimare	3.53E-02
Coeficienții de determinări multiple(R^2)	0.8367
Credibilitatea modelului	83.67%

Modelul rezultat prezintă o credibilitate de 0.836 pentru o încredere de 95%. Forma acestuia este următoarea:

$$f(x) = -6.91 * 10^{-8} * x^4 + 1.52 * 10^{-5} * x^3 - 1.14 * 10^{-3} * x^2 + 3.179 * 10^{-2} * x + 1.0126 \quad (5.2)$$

Din datele obținute pentru acest model se poate observa calitatea deosebit de bună pe care acesta o posedă, cu un model comportamental de 0.836 în condițiile unei încrederi de 95%.

Modelul matematic al procesului de antrenare pentru DIABET, în urma efectuării unei analize corelaționale, are următoarea formă.

Învățarea pe baza corecției erorii cu exemple negative 87

Definiția modelului	$f(x) = a * x^4 + b * x^3 + c * x^2 + d * x + e$
Numărul de observații	25
Numărul de observații ratate	0
Tipul modelului	Neliniar
Limita de iterații neliniare	250
Eroarea standard pentru procesul de estimare	1.73E-02
Coeficienții de determinări multiple(R ²)	0.9487
Credibilitatea modelului	94.86%

Modelul rezultat prezintă o credibilitate de 0.948 pentru o încredere de 95%. Forma acestuia este următoarea:

$$f(x) = -4.76 * 10^{-8} * x^4 + 1.15 * 10^{-5} * x^3 - 9.65 * 10^{-4} * x^2 + 0.0302 * x + 0.9997 \quad (5.3)$$

Din datele obținute pentru acest model se poate observa calitatea deosebit de bună pe care și acesta o posedă, cu un model comportamental de 0.948 în condițiile unei încrederi de 95%.

Modelul matematic al procesului de antrenare pentru LITERE, în urma efectuării unei analize corelaționale, are următoarea formă.

Definiția modelului	$f(x) = a * x^4 + b * x^3 + c * x^2 + d * x + e$
Numărul de observații	25
Numărul de observații ratate	0
Tipul modelului	Neliniar
Limita de iterații neliniare	250
Eroarea standard pentru procesul de estimare	5.787E-03
Coeficienții de determinări multiple(R ²)	0.784
Credibilitatea modelului	78.48%

Modelul rezultat prezintă o credibilitate de 0.784 pentru o încredere de 95%. Forma acestuia este următoarea:

$$f(x) = -8.72 * 10^{-9} * x^4 + 2.03 * 10^{-6} * x^3 - 1.602 * 10^{-4} * x^2 + 4.638 * 10^{-3} * x + 1.0109 \quad (5.4)$$

Din datele obținute pentru acest model se poate observa calitatea bună pe care acesta o posedă, cu un model comportamental de 0.784 în condițiile unei încrederi de 95%.

Determinarea unui model general al procesului de antrenare cu exemple negative

În acest moment ne propunem să verificăm dacă modelele determinate în pasul anterior sunt reprezentative pentru procesul de antrenare cu exemple

88 Învățarea pe baza corecției erorii cu exemple negative

negative. Dacă vom obține un răspuns afirmativ pentru această verificare, dorim să știm și dacă este posibilă obținerea unui model general prin intermediul căruia să fie determinat numărul de exemple negative pentru un caz particular existent.

Intr-o primă instanță vom verifica dacă cele trei modele fac parte din aceeași clasă. Pentru aceasta se va utiliza un test t , verificarea fiind făcută pentru setul de parametri (a, b, c, d, e) ce caracterizează modelele. Testul t este făcut pentru a verifica dacă două modele diferă în mod semnificativ.

Verificarea se va face cu ajutorul utilitarului Origin 6.0 și se utilizează parametrii de la două modele succesive. Datele care au stat la baza analize sunt prezentate în tabelul de mai jos.

	a	b	c	d	e
SONAR	-6.91E-08	1.52E-05	-0.00114	0.0318	1.0126
DIABET	-4.76E-08	1.15E-05	-0.000965	0.0302	0.9997
LITERE	-8.72E-09	2.03E-06	-0.000160	0.00464	1.10109
Valoarea medie	-4.180E-08	9.57E-06	-0.000755	0.0222093	1.00773

Tabelul 9. Valorile coeficienților pentru cele 3 modele studiate

Rezultatele obținute sunt prezentate pentru fiecare dintre cele 2 analize efectuate asupra coeficienților.

Pentru bazele de date SONAR și DIABET am obținut rezultatele prezente în tabelul de mai jos. Analiza a fost făcută pentru un nivel de credibilitate de 95% și putem spune că cele două modele caracterizează aceleași populații de procese de antrenare.

Baza de date	Media	Variația	Numărul de elemente
SONAR	0.20866	0.20217	5
DIABET	0.20579	0.19714	5
t = -0.01014 p = 0.99216			

Pentru DIABET și LITERE, și beneficiind de un nivel de credibilitate de 95%, rezultă conform rezultatelor din tabelul de mai jos că cele două modele caracterizează aceleași populații de procese de antrenare.

Baza de date	Media	Variația	Numărul de elemente
SONAR	0.20579	0.19714	5
DIABET	0.20308	0.20394	5
t = -0.00958 p = 0.99259			

Concluzia rezultată în urma acestui studiu este că cele trei modele descriu același fenomen (caracterizează același proces de antrenare cu exemple negative) și că pot reprezenta baza de plecare pentru determinarea unui model global al acestui tip de antrenare a unei rețele neuronale.

Pentru construirea acestuia se pleacă de la valorile medii ale parametrilor ce definesc cele trei modele discutate anterior, valori care au fost prezentate într-un tabel anterior (Tabelul 9).

Modelul general rezultat prezintă următoarea formă:

$$f(x) = -4.18067 * 10^{-8} * x^4 + 9.57666 * 10^{-6} * x^3 - 7.5507 * 10^{-4} * x^2 + 2.2209 * 10^{-2} * x + 1.000773333 \quad (5.5)$$

Testarea modelului general pe o nouă bază de date

Utilizând acest model general am ales o nouă bază de date pentru a testa veridicitatea acestuia. Deoarece am făcut numeroase experimente cu rețeaua ce încearcă determinarea apariției unor valori periculoase (VALURI), am ales aceste date pentru a testa modelul general.

Rezultatele obținute de acesta pe noua bază de date sunt prezentate în Figura 49. Se poate observa că acesta reușește localizare precisă a procentului de exemple negative optim.

De asemenea, toate valorile de recunoaștere ale rețelei prezente pentru un procent de exemple negative situate între [0% - 100%] sunt interpolate cu succes de către modelul general.

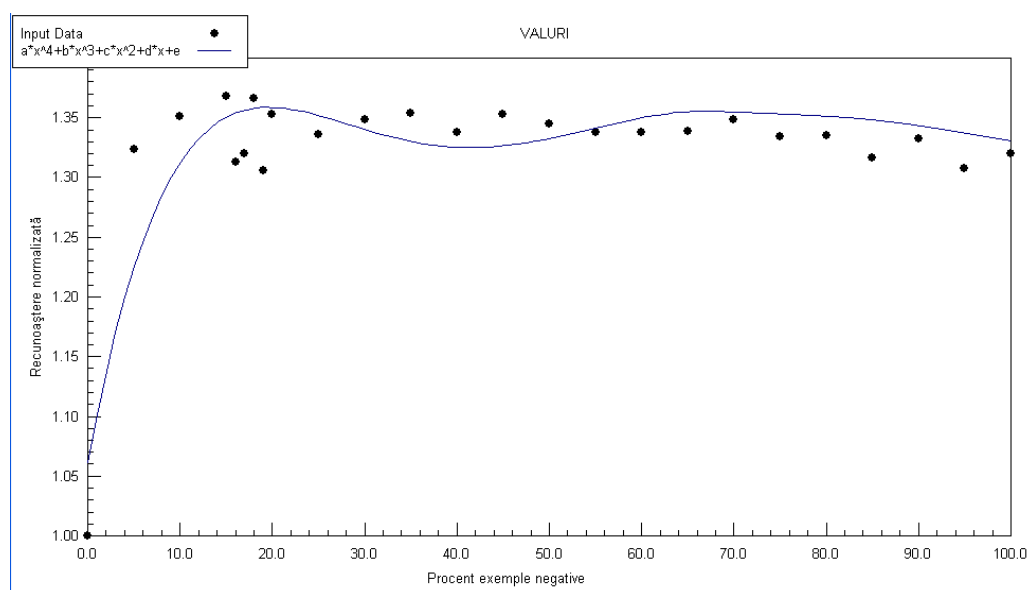


Figura 49. Modelul general pentru antrenarea cu exemple negative aplicat pentru VALURI

Concluzii

Încheiem această analiză prin formularea următoarelor concluzii referitoare la determinarea unui model general de antrenare cu exemple negative:

- ✓ cele trei modele analizate (LITERE, DIABET și SONAR) descriu același fenomen (caracterizează același proces de antrenare cu exemple negative) și reprezintă baza de plecare pentru

- determinarea unui model global al acestui tip de antrenare a unei rețele neuronale.
- ✓ modelul general obținut are forma prezentată în formula 5.5
- ✓ testarea acestuia a fost făcută pe baza de date VALURI și s-a reușit localizarea precisă a procentului optim de exemple negative

5.3 Experimente efectuate pe rețele neuronale artificiale de tip multilayer perceptron cu 1 neuron block

În capitolul anterior am observat că antrenarea cu exemple negative pregătește rețeaua neuronală pentru memorarea unor caracteristicilor nedorite. Acest lucru este foarte benefic asigurând astfel o robustețe a rețelei neuronale precum și o îmbunătățire semnificativă a procentului de recunoaștere. Din păcate, la tipologia clasică a rețelei neuronale de tip multilayer perceptron, nici un neuron de pe stratul de ieșire nu este direct responsabil de recunoașterea unor tipare nedorite. Acest lucru se realizează în majoritatea cazurilor printr-o inactivitate totală a neuronilor de ieșire, situație similară și cu cazul în care rețeaua neuronală nu recunoaște tiparul de la intrare.

Pentru a diferenția clar un tipar de intrare negativ de un tipar de intrare nerecunoscut de rețea, avem nevoie de unul sau mai mulți neuroni care să ne spună acest lucru.

Pentru aceasta am definit o nouă topologie de rețea neuronală de tip multilayer perceptron și anume rețea neuronală de tipul multilayer perceptron cu neuroni bloc.

În acest capitol vom antrena în paralel rețele multilayer perceptron clasice împreună cu rețele multilayer perceptron cu 1 neuron **block**.

Vom realiza diverse comparații între acestea în multiple situații și cu seturi de antrenare diferite. Se va realiza și un studiu cu privire la influența noii tipologii de rețea asupra procentului de recunoaștere, în funcție de numărul de clase prezente la ieșire. La final, vom încerca să rezumăm toate datele obținute în câteva concluzii despre rezultatele obținute de noua topologie.

5.3.1 Experimente pe NIST 19

Au fost făcute 2 experimente pe această bază de date pentru a studia modul de comportament și performanțele obținute de noua topologie în procesul de recunoaștere. Primul experiment a măsurat performanțele obținute de rețeaua multilayer perceptron cu neuron **block** atunci când numărul de exemple negative prezent în setul de antrenare variază între [5% - 100%]. Astfel, s-au efectuat mai multe antrenări de rețele neuronale cu un set de antrenare conținând diverse procente de exemple negative. Pentru fiecare set de antrenare s-au antrenat 2 rețele: o rețea multilayer perceptron clasică și o rețea multilayer perceptron cu un neuron **block**.

Al doilea experiment a testat modul în care rețeaua multilayer perceptron cu neuron **block** se comportă atunci când numărul claselor recunoscute la ieșire variază. Și pentru acest experiment s-au antrenat 2 tipuri de rețele pentru fiecare situație posibilă (numărul de clase de la ieșire a variat între 1 și 10).

Ambele experimente utilizează exemple negative în seturile de antrenare.

Experimentul 5

Așa cum am precizat mai sus, pentru acest experiment s-au realizat multiple seturi de antrenare având ponderi diferite pentru exemplele negative. Deoarece pentru fiecare set de la intrare am comparat rezultatele obținute de rețeaua multilayer perceptron cu neuron **block** cu o rețea multilayer perceptron clasică, am utilizat seturile de antrenare folosite în cadrul Experimentului 1 și Experimentului 2.

Reamintim că experimentul pleacă inițial de la un set de antrenare ce conține un număr echivalent cu 5% exemple negative (din numărul de exemple pozitive) și adaugă incremental acest număr la exemplele negative până la obținerea unor procente de exemple negative și pozitive egale în setul de antrenare.

Numărul exemplilor pozitive și negative pentru fiecare antrenare este prezent în Tabelul 2, mai puțin prima înregistrare pentru care nu au fost folosite exemple negative. De asemenea precizăm că pentru valori ale procentelor exemplilor negative cuprinse în intervalul [15% - 20%] (din numărul de exemple pozitive) au fost făcute mai multe antrenări. Astfel, în acest interval variația exemplilor negative în setul de antrenare a fost de 1% și nu de 5% cât este în afara intervalului. Acest lucru s-a datorat găsirii în capitolul precedent a valorii optime de exemple negative cuprinse în intervalul [17% - 19%] (din numărul de exemple pozitive).

Deoarece acest experiment este făcut pentru a compara performanțele unei rețele multilayer perceptron clasică cu una cu neuron block, am dorit să utilizăm rezultatele obținute în cadrul Experimentului 1, și de aceea caracterele ce trebuie recunoscute de rețelele neuronale au rămas aceleași ca la Experimentele 1 și 2: „a”, „e”, „n” și „r”.

Reamintim configurația rețelei de la Experimentul 1 ca fiind de tip multilayer perceptron cu 1 strat ascuns. Configurația acesteia este următoarea:

- stratul de intrare conține 1024 neuroni – am folosit ca intrări desene de 32x32 pixeli cu literele respective
- stratul ascuns are 700 de neuroni
- stratul de ieșire are 4 neuroni – fiecare dintre cei 4 neuroni este responsabil cu recunoașterea unui caracter

Funcțiile de activare corespunzătoare fiecărui dintre cele 3 straturi sunt:

- pentru stratul de intrare avem ca funcție de activare – funcția liniară $f(x) = x$.
- pentru stratul ascuns avem ca funcție de activare – funcția logistică
- pentru stratul de ieșire avem ca funcție de activare – funcția logistică

În cadrul acestui experiment această rețea va purta denumirea de rețea multilayer perceptron clasică. A doua rețea folosită poartă denumirea de rețea multilayer perceptron cu un neuron **block** și are următoarea configurație:

- stratul de intrare conține 1024 neuroni – am folosit ca intrări desene de 32x32 pixeli cu literele respective
- stratul ascuns are 700 de neuroni
- stratul de ieșire are 5 neuroni – 4 neuroni responsabili cu recunoașterea celor 4 caractere, plus un neuron suplimentar (neuron block) responsabil cu recunoașterea tiparelor negative.

Funcțiile de activare corespunzătoare fiecărui dintre cele 3 straturi sunt:

92 Învățarea pe baza corecției erorii cu exemple negative

- pentru stratul de intrare avem ca funcție de activare – funcția liniară $f(x) = x$.
- pentru stratul ascuns avem ca funcție de activare – funcția logistică
- pentru stratul de ieșire avem ca funcție de activare – funcția logistică

Antrenarea a pornit cu un set de 4 caractere (a,e,n, și r), fiecare având câte 5000 de instanțe(exemple pozitive) precum și câte 200 de caractere(literele b,d,h,l și t), acestea din urmă având rol de exemple negative. Numărul exemplilor negative a scăzut la 40 fiecare, în intervalul [15% - 20%] pentru o observare mai fină a evoluției procentului de recunoaștere.

Rezultatele obținute de către rețeaua multilayer clasică au fost prezentate în Tabelul 3 și Tabelul 4. Rezultatele obținute de către rețeaua neuronală cu un neuron block sunt prezentate în Tabelul 10.

Pentru a oferi o imagine de ansamblu am reprezentat grafic procentele de recunoaștere obținute de rețeaua multilayer perceptron clasică și rețeaua multilayer perceptron cu 1 neuron **block** pentru literele „a” și „r” în Figura 50 (graficele pentru „e” și „n” sunt similare și nu le-am mai reprezentat).

Antrenare	Exemple negative %	Litera „a” %	Litera „e” %	Litera „n” %	Litera „r” %	Întreg alfabetul %	Set producție %
	0	91.10	94.40	96.30	96.10	31.95	78.94
1	4.76	93.30	95.70	96.40	96.10	55.30	83.05
2	9.09	92.70	94.70	95.00	95.80	60.83	83.63
3	13.04	93.20	93.40	94.70	95.70	64.30	83.90
4	13.79	92.50	93.20	95.20	95.60	62.78	83.87
5	14.53	92.70	93.10	94.80	96.00	64.33	83.97
6	15.25	92.70	93.50	94.90	95.60	64.43	84.12
7	15.97	93.40	93.10	94.60	95.60	64.11	84.13
8	16.67	92.10	93.40	95.20	95.30	66.52	84.00
9	20.00	92.00	92.50	94.60	94.80	68.08	83.81
10	23.08	91.20	93.20	94.80	94.80	71.61	83.89
11	25.93	91.09	92.90	94.70	95.20	71.61	83.92
12	28.57	91.90	92.30	94.10	95.00	70.14	83.91
13	31.03	91.80	91.70	93.40	94.90	70.31	83.70
14	33.33	91.30	92.20	93.40	94.00	71.73	83.62
15	35.48	90.20	92.50	94.00	94.50	71.40	83.60
16	37.50	90.80	91.30	92.60	94.80	69.83	83.36
17	39.39	90.70	90.80	93.50	93.80	72.63	83.29
18	41.18	91.10	90.70	92.70	93.90	73.09	83.20
19	42.86	91.40	91.60	93.20	93.90	74.21	83.59
20	44.44	90.80	91.80	93.50	94.00	73.00	83.61
21	45.95	91.00	91.20	92.60	93.70	74.17	83.32
22	47.37	91.00	91.20	92.10	93.30	75.02	83.17
23	48.27	90.80	90.20	92.50	93.80	73.86	83.06
24	50.00	91.10	91.30	92.40	94.50	74.46	83.47

Tabelul 10. Rezultatele obținute pe baza de date NIST 19 în cadrul experimentului 5

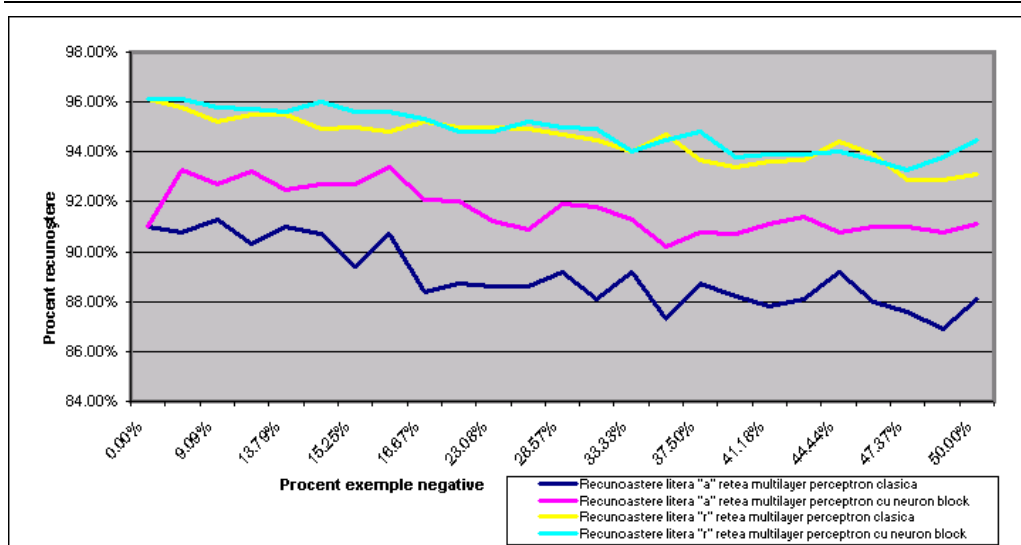


Figura 50. Reprezentarea grafică pentru procentele de recunoaștere obținute de „a” și „r” de către rețeaua multilayer perceptron și rețeaua multilayer perceptron cu 1 neuron block

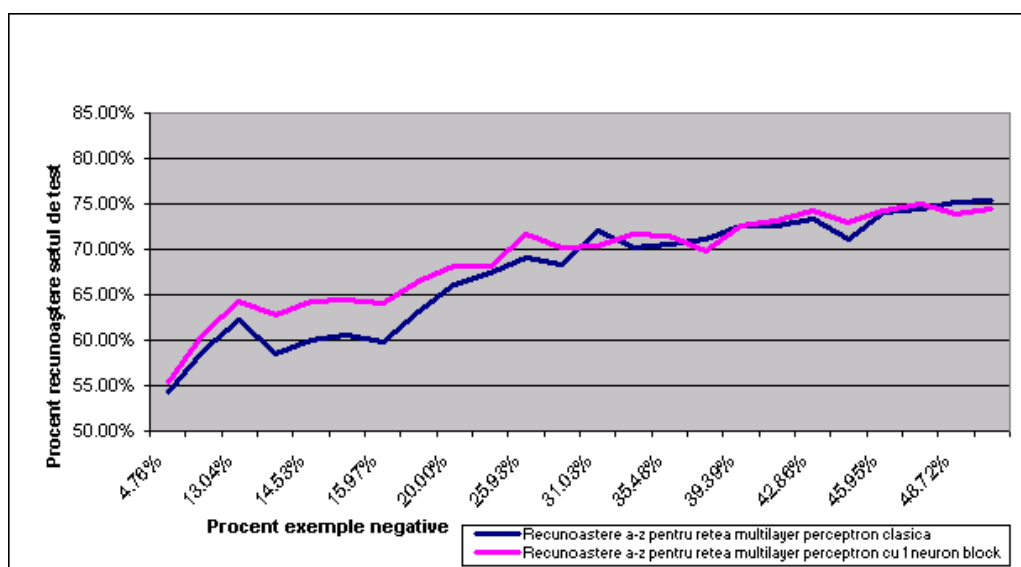


Figura 51. Reprezentarea grafică pentru rezultatele obținute pe setul de testare de către rețeaua multilayer perceptron și rețeaua multilayer perceptron cu 1 neuron block

Se poate observa cu ușurință faptul că procentele obținute de rețeaua multilayer perceptron cu neuron **block** pentru fiecare clasă sunt net superioare celor obținute de rețeaua multilayer perceptron clasică. Observăm de asemenea o reală îmbunătățire a recunoașterii unor tipare care sunt asemănătoare cu altele și pentru care recunoașterea e mai dificil de făcut. (De ex. litera „a” se confunda cu literele „e” și „o”)

Astfel, antrenarea unei rețele multilayer perceptron cu neuron **block** oferă rezultate mai bune decât antrenarea unei rețele multilayer perceptron clasice pentru fiecare din clasele ce trebuie recunoscute la ieșire.

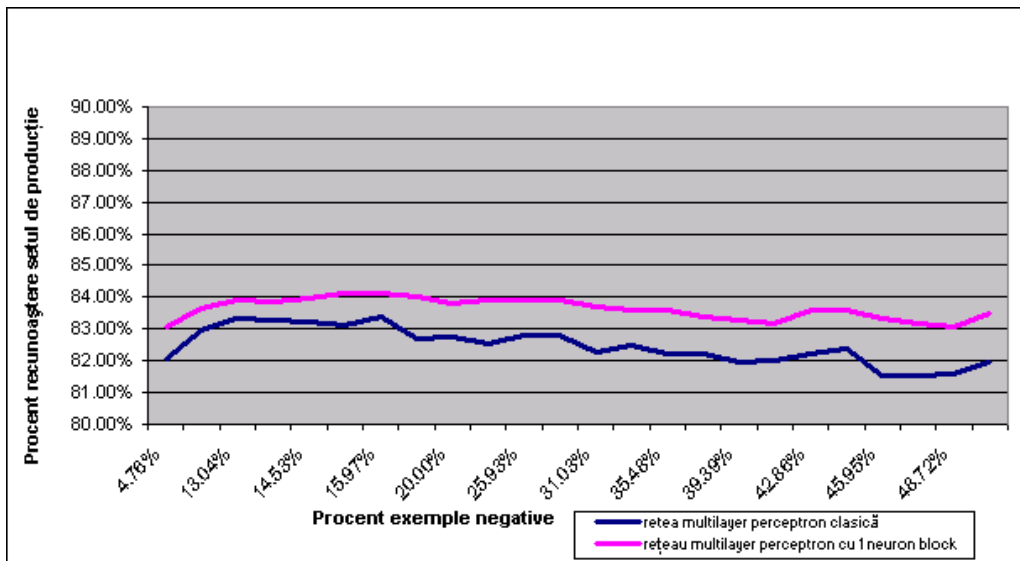


Figura 52. Reprezentarea grafică pentru rezultatele obținute pe setul de producție de către rețeaua multilayer perceptron și rețeaua multilayer perceptron cu 1 neuron block

Pentru a analiza procentele obținute de cele două rețele pe seturile de testare și producție, am construit graficele din Figura 51 și Figura 52. Se poate observa și aici că procentele obținute de către rețeaua multilayer perceptron cu 1 neuron **block** sunt superioare celor obținute de rețeaua multilayer perceptron clasică. Se observă astfel că acestea diferă cu valori cuprinse între 0% și 5%.

O altă observație este aceea că toate procentele de recunoaștere pentru setul de producție sunt mai mari la rețeaua multilayer perceptron cu 1 neuron **block** decât rețeaua multilayer perceptron clasică. Acest lucru denotă o maturitate a noii arhitecturi ce se prezintă astfel superioară celei clasice.

Pe lângă procentele de recunoaștere mai mari, rețeaua multilayer perceptron cu un neuron **block** oferă și o claritate a ieșirilor. Astfel putem distinge acum cu ușurință între intrările care nu fac parte din clasele ce trebuie recunoscute de rețea și intrările care nu sunt recunoscute de rețea. Acest lucru poate oferi noi posibilități de analiză a datelor și clasificare mai sigură a ieșirilor rețelei.

În continuare a fost studiat modul în care rețeaua multilayer perceptron cu neuron **block** reacționează atunci când numărul claselor de ieșire crește.

Concluzii

În urma efectuării experimentului 5 (antrenarea unei rețele multilayer perceptron cu 1 neuron **block** în vederea recunoașterii caracterelor, și comparație între aceasta și o rețea multilayer perceptron clasică), au fost formulate următoarele concluzii:

- ✓ procentele obținute de noua topologie de rețea (multilayer perceptron cu 1 neuron **block**) pe un set de producție sunt cu până la 5% mai bune decât o rețea multilayer perceptron clasică
- ✓ procentele individuale pe clase de recunoaștere sunt de asemenea mai mari decât cele obținute de o rețea multilayer perceptron clasică antrenată fără exemple negative; lucru care nu a putut fi obținut de rețeaua multilayer perceptron clasică antrenată și cu

exemple negative (reamintim că acest aspect a fost relevant în experimentele 1-4)

- ✓ o mai mare claritate a ieșirilor la rețeaua multilayer perceptron cu neuron **block**; astfel tiparele negative sunt identificate cu ușurință ca o nouă clasă prezentă la ieșire

Experimentul 6

În acest experiment vom varia numărul de clase prezente la ieșirea rețelei de la 1 la 10 clase. Vom încerca să evidențiem astfel comportamentul rețelei multilayer perceptron cu 1 neuron **block** față de o rețea multilayer clasică atunci când numărul claselor de la ieșire crește.

Configurațiile celor 2 rețele sunt asemănătoare, ca singură diferență remarcăm numai neuronul suplimentar de pe stratul de ieșire prezent la rețeaua multilayer perceptron cu 1 neuron **block**.

Deși variază de-a lungul celor 10 antrenări, configurațiile acestea se încadrează în următorul tipar:

- stratul de intrare conține 1024 neuroni – am folosit ca intrări desene de 32x32 pixeli cu literele respective
- stratul ascuns are între 650 și 660 de neuroni, variind cu 1 pentru fiecare nou tipar adăugat
- stratul de ieșire are între 1 și 10 neuroni pentru rețeaua multilayer perceptron clasică și între 2 și 11 neuroni pentru rețeaua multilayer perceptron cu neuron **block**.

Funcțiile de activare corespunzătoare fiecărui dintre cele 3 straturi sunt:

- pentru stratul de intrare avem ca funcție de activare – funcția liniară $f(x) = x$.
- pentru stratul ascuns avem ca funcție de activare – funcția logistică
- pentru stratul de ieșire avem ca funcție de activare – funcția logistică

Cele 10 tipare folosite la ieșire reprezintă recunoașterea următoarelor litere: „e”, „a”, „n”, „r”, „b”, „d”, „h”, „l”, „t” și „q” (folosite în această ordine). Numărul de tipare pozitive de antrenare a fost fixat la 20.000, având astfel 20.000 de tipare pentru litera „e” la primul experiment și terminând cu câte 2.000 pentru fiecare dintre cele 10 litere prezente.

Tiparele negative au fost în număr de 3000 (literele „c”, „f”, „i”, „k” și „m”) reprezentând 15% din numărul total de tipare pozitive.

Așa cum am precizat mai sus au fost făcute 20 de antrenări, câte 10 pentru fiecare dintre cele 2 rețele. Testarea s-a efectuat pe un set de producție cu 26.000 de exemple, conținând 26 de litere a câte 1.000 de tipare fiecare.

Procentele de recunoaștere obținute au fost calculate conform formulei (5.1) și sunt prezente în Tabelul 13 și reprezentate vizual în Figura 53.

În Tabelul 11 și Tabelul 12 pot fi observate valorile procentelor de recunoaștere pentru fiecare din cele 10 clase de ieșire utilizate în cadrul experimentului.

De asemenea, pentru o mai bună vizualizare a rezultatelor am reprezentat grafic procentele de recunoaștere pentru litera „e” (a fost prezentă în toate experimentele) obținute de cele 2 rețele de-a lungul experimentelor în Figura 54.

96 Învățarea pe baza corecției erorii cu exemple negative

Nr. cls.	Lit. „e” %	Lit. „a” %	Lit. „n” %	Lit. „r” %	Lit. „b” %	Lit. „d” %	Lit. „h” %	Lit. „l” %	Lit. „t” %	Lit. „q” %
1	99.0									
2	95.3	96.1								
3	95.1	93.7	96.5							
4	93.9	92.7	95.5	95.2						
5	87.9	91.5	94.4	95.6	95.3					
6	87.2	90.0	93.4	95.3	94.5	93.8				
7	85.9	88.0	88.2	94.4	93.6	93.9	92.6			
8	82.6	87.8	89.0	92.5	93.0	92.6	90.4	81.0		
9	81.6	86.3	88.0	92.9	92.3	92.4	90.9	73.7	81.7	
10	81.3	78.9	87.1	91.7	93.1	91.6	89.3	71.7	82.7	89.0

Tabelul 11. Procentele de recunoaștere obținute de rețeaua multilayer perceptron cu 1 neuron block

Nr. cls.	Lit. „e” %	Lit. „a” %	Lit. „n” %	Lit. „r” %	Lit. „b” %	Lit. „d” %	Lit. „h” %	Lit. „l” %	Lit. „t” %	Lit. „q” %
1	99.0									
2	95.4	95.3								
3	93.3	90.7	95.8							
4	93.1	90.2	95.0	94.8						
5	82.9	88.4	92.4	94.7	93.8					
6	81.5	84.1	91.9	93.7	93.4	92.2				
7	82.2	82.8	87.1	94.2	91.1	91.1	89.3			
8	74.7	82.2	86.4	92.6	91.2	89.1	87.8	79.5		
9	74.4	80.7	85.1	90.9	89.9	88.9	88.6	71.5	77.3	
10	74.2	72.8	84.6	91.4	89.6	86.3	89.4	65.8	77.5	82.9

Tabelul 12. Procente de recunoaștere obținute de rețeaua multilayer perceptron clasică

Nr. clase	Recunoaștere rețea multilayer perceptron cu 1 neuron block (%)	Recunoaștere rețea multilayer perceptron clasică (%)
1	73.92 %	74.52 %
2	82.72 %	82.33 %
3	86.91 %	85.42 %
4	88.24 %	87.35 %
5	88.98 %	87.02 %
6	89.51 %	87.18 %
7	89.24 %	86.37 %
8	86.91 %	84.03 %
9	85.46 %	81.90 %
10	84.77 %	80.72 %

Tabelul 13. Procentele de recunoaștere obținute pe setul de producție de către cele 2 rețele

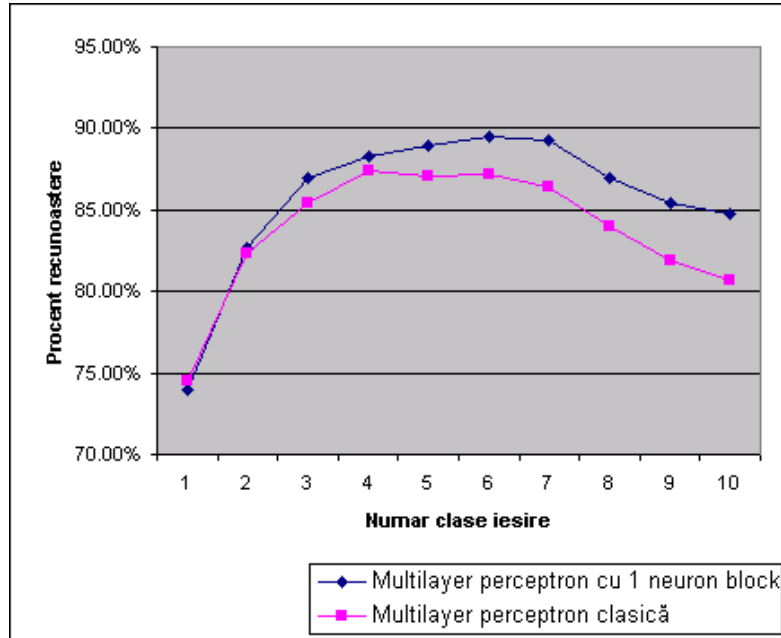


Figura 53. Procentele obținute pe setul de producție de ambele rețele pentru experimentul 6

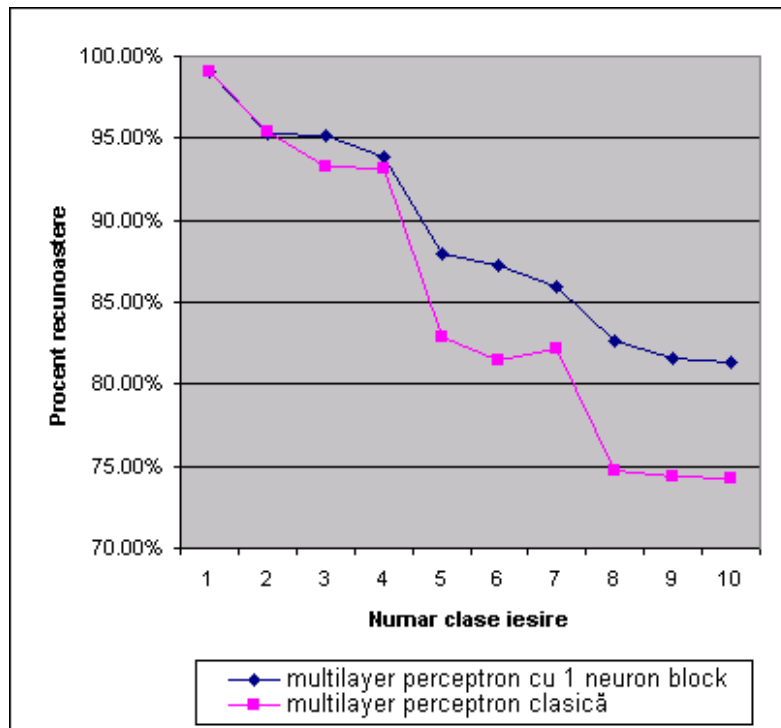


Figura 54. Procentele de recunoaștere pentru litera „e” în cadrul experimentului 6

Se poate ușor observa că pentru întreg setul de producție, rețeaua multilayer perceptron cu neuron **block** a obținut rate mai mari decât cea clasică pentru situațiile în care avem cel puțin 2 clase diferite la intrare. Cu cât numărul de clase crește, diferența se accentuează ajungând până la 4% pentru antrenarea unei rețele ce are 10 clase diferite la intrare.

Acest aspect recomandă folosirea unei rețele multilayer cu neuron **block** atunci când avem mai multe clase de intrări. Cu cât numărul de clase de intrare este mai mare, cu atât este de dorit folosirea acestui tip de rețea.

Dacă analizăm comportamentul acestei rețele și la nivel de clasă particulară, observăm și aici o îmbunătățire semnificativă față de o rețea multilayer obișnuită. Astfel, în Figura 54 se poate observa o superioritate clară a rețelei multilayer cu neuron **block** și la nivel de clasă de recunoaștere.

De exemplu, pentru litera „e” am obținut procente de recunoaștere superioare de până la 7%. Acest aspect este unul deosebit de important și merită subliniat faptul că rețeaua multilayer cu un neuron **block** prezintă procente de recunoaștere superioare față de rețeaua multilayer clasică și la nivel individual de clasă de intrare. Cu cât numărul de clase de la intrare este mai mare, cu atât diferența dintre cele două rețele este mai accentuată.

La fel ca și în experimentele de la capitolul anterior am dori să verificăm rezultatele obținute pentru antrenarea unei rețele multilayer perceptron cu neuron **block** pe cât mai multe seturi de date. Din această cauză, următorul capitol este dedicat experimentelor făcute pe setul Ocean’s Data de rețele multilayer cu neuron **block**.

Concluzii

Concluziile care au fost formulate în urma realizării experimentului 6 (antrenarea unei rețele neuronale de tip multilayer perceptron cu 1 neuron **block** utilizând mai multe clase de ieșire) sunt prezentate în cele ce urmează:

- ✓ pentru întreg setul de producție, rețeaua multilayer perceptron cu neuron **block** a obținut rate mai mari decât rețeaua multilayer perceptron normală atunci când sunt cel puțin 2 clase diferite la intrare
- ✓ cu cât numărul de clase de la ieșire crește, diferența se accentuează ajungând până la 4% pentru antrenarea unei rețele ce are 10 clase diferite la intrare
- ✓ și la nivel de clasă individuală se poate observa o mai bună recunoaștere a rețelei multilayer perceptron cu neuron **block** față de rețeaua multilayer perceptron normală

5.3.2 Experimente pe Ocean’s Data

Și pe acest set de date s-au efectuat numai experimente pentru a observa cum anume sunt influențate rețelele multilayer perceptron cu neuron **block** de numărul de exemple negative din setul de antrenare.

Experimente legate de influența numărului de clase prezent la ieșire asupra unei rețele multilayer perceptron cu neuron **block**, nu au putut fi executate. Explicația rezidă în numărul mic de clase de intrare prezent în acest set, ceea ce face ca datele să fie neconcludente.

Experimentul 7

Similar cu experimentul 5, și pentru acest experiment au fost realizate mai multe seturi de antrenare cu ponderi diferite pentru procentul de exemple negative conținut. Pentru fiecare din acest set au fost antrenare două tipuri de rețele: o rețea multilayer perceptron cu neuron **block** și o rețea multilayer perceptron normală. Din această cauză, seturile de antrenare utilizate pentru fiecare antrenare sunt cele de la exemplul 3.

Numărul exemplurilor pozitive și negative este cel din Tabelul 5 (mai puțin prima înregistrare), iar pentru intervalul [15% - 20%] (procente exemple negative din numărul de exemple pozitive) s-au generat seturi de antrenare la care procentul de exemple negative variază cu 1% din numărul de exemple pozitive. Am făcut acest lucru deoarece, acest interval conține procentul optim de exemple negative recomandat la antrenarea unei rețele neuronale și dorim o analiză mai atentă în acest caz.

Tema experimentului este similară cu cea a Experimentul 3 și încearcă determinarea gradului de risc privind apariția unor valuri foarte mari într-o anumită perioadă a anului.

Configurația rețelei neuronale de tipul multilayer perceptron cu neuron **block** este următoarea

- stratul de intrare conține 17 neuroni – am folosit ca intrări toți parametrii din Anexa 2 mai puțin parametrul 8
- stratul ascuns are 160 de neuroni
- stratul de ieșire are 4 neuroni – avem 3 dintre aceștia răspunzători cu nivele de risc pentru valuri, iar al 4-lea fiind neuronul block (responsabil cu detecția tiparelor negative de la intrare)

Funcțiile de activare corespunzătoare fiecărui dintre cele 3 straturi sunt:

- pentru stratul de intrare avem ca funcție de activare – funcția liniară $f(x) = x$.
- pentru stratul ascuns avem ca funcție de activare – funcția logistică
- pentru stratul de ieșire avem ca funcție de activare – funcția logistică

Prima antrenare utilizează un set de 13.000 de exemple pozitive și 650 exemple negative, iar ultima are 13.000 exemple pozitive și 13.000 exemple negative. La fiecare pas de antrenare numărul exemplurilor negative a crescut cu 650, iar în intervalul [15% - 20%] (exemple negative din numărul de exemple pozitive) numai cu 130, pentru o observare mai fină a evoluției procentului de recunoaștere.

Rezultatele obținute de către o rețea multilayer perceptron clasică sunt prezentate în Tabelul 6 și Tabelul 7. Pentru același set de date, rezultatele obținute de către rețeaua multilayer perceptron cu un neuron **block** sunt prezente în Tabelul 14.

100 Învățarea pe baza corecției erorii cu exemple negative

Antrenare	Exemple negative %	Risc inexistent %	Risc scăzut %	Risc mediu %	Set test %	Set producție %
	0	85.34	94.44	64.29	28.00	61.93
1	4.76	87.07	96.53	60.00	86.18	82.85
2	9.09	78.45	99.31	58.57	88.18	82.00
3	13.04	87.93	99.31	61.43	89.82	85.48
4	13.79	77.59	98.61	64.29	90.18	83.53
5	14.53	81.90	98.61	57.14	90.36	82.82
6	15.25	78.45	97.92	62.86	90.73	83.34
7	15.97	77.59	97.22	65.71	91.64	84.16
8	16.67	82.76	95.83	64.29	91.09	84.39
9	20.00	89.66	95.83	65.71	91.82	86.66
10	23.08	83.62	96.53	54.29	92.18	82.96
11	25.93	74.14	95.14	60.00	92.45	81.73
12	28.57	79.31	97.22	58.57	93.09	83.22
13	31.03	73.28	98.61	57.14	92.27	81.64
14	33.33	78.45	99.31	62.86	92.09	84.47
15	35.48	70.69	98.61	50.00	91.82	79.63
16	37.50	77.59	97.92	45.71	92.00	79.82
17	39.39	65.52	97.92	54.29	92.00	79.36
18	41.18	64.66	97.22	52.86	92.00	78.55
19	42.86	66.38	97.22	51.43	92.00	78.66
20	44.44	68.97	97.22	45.71	91.73	77.91
21	45.95	67.24	95.83	50.00	92.00	77.98
22	47.37	66.38	97.92	41.43	91.64	76.33
23	48.27	66.38	98.61	42.86	91.82	76.90
24	50.00	68.97	94.44	41.43	91.82	76.18

Tabelul 14. Rezultatele obținute pe baza de date Ocean's Data în cadrul experimentului 7

Pentru o bună vizualizare a datelor (la fel ca și la restul experimentelor) am reprezentat grafic aceste valori în figurile următoare. Aceste date au fost comparate cu cele obținute în cadrul experimentelor 3 și 4. Reamintim că cele 2 experimente (3 și 4) au măsurat performanțele obținute de o rețea multilayer perceptron antrenată cu un set ce conține și exemple negative.

În Figura 55 au fost reprezentate procentele obținute pentru fiecare grad de risc în parte, de cele 2 tipuri de rețele. Se poate ușor observa că rețeaua multilayer perceptron cu neuron **block** este superioară celei clasice, obținând pentru toate categoriile procentele superioare.

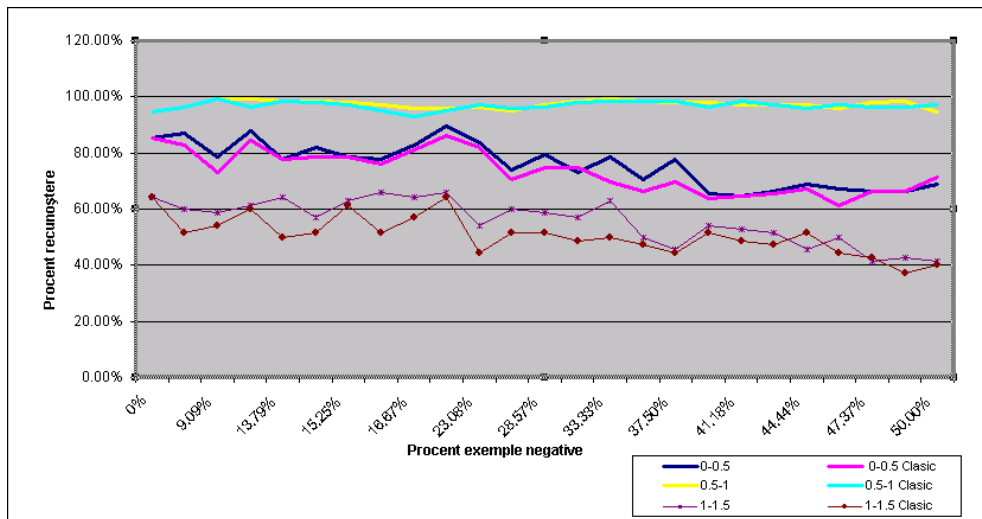


Figura 55. Procentele de recunoaștere pentru valorile de risc obținute de către o rețea multilayer perceptron cu neuron block și o rețea multilayer perceptron clasică

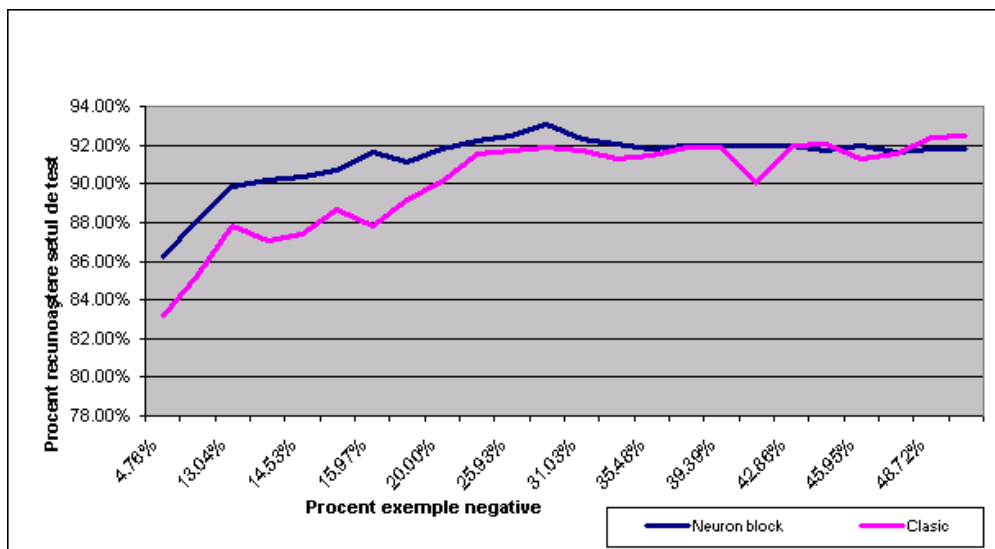


Figura 56. Procentele de recunoaștere pe setul de testare obținute de către o rețea multilayer perceptron cu neuron block și o rețea multilayer perceptron clasică

Ambele figuri (Figura 56 și Figura 57) conțin rezultate comparative obținute de rețeaua multilayer perceptron cu neuron **block** față de rețeaua multilayer perceptron normală pe două seturi de date (un set de producție și un set de testare).

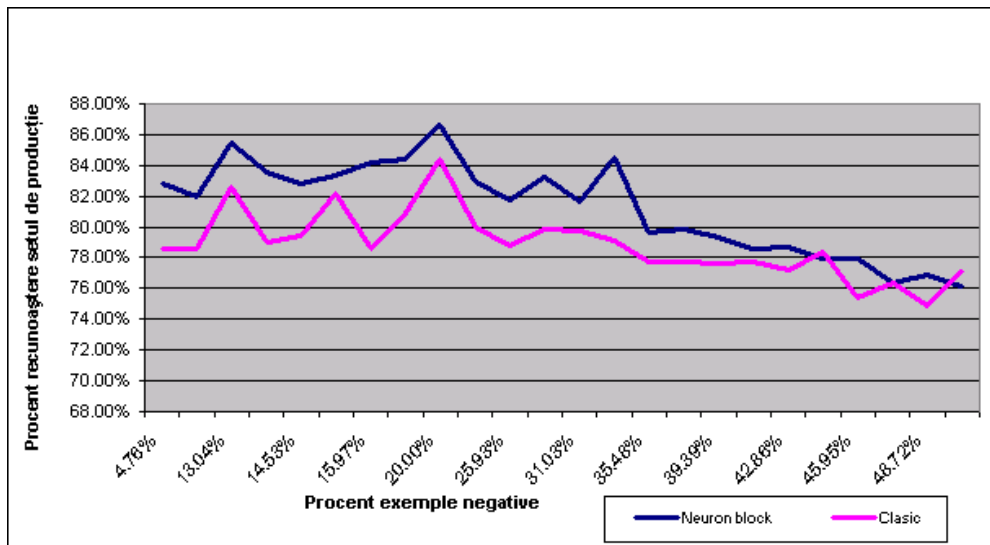


Figura 57. Procentele de recunoaștere pe setul de producție obținute de către o rețea multilayer perceptron cu neuron block și o rețea multilayer perceptron clasică

Din cele trei figuri se observă clar superioritatea rețelei multilayer perceptron cu neuron **block** față de o rețea multilayer perceptron normală. Aceasta a obținut valori mai mari pentru toate situațiile în care setul de antrenare conține până la 35% procente negative (din numărul exemplilor pozitive). După acest prag, diferențele dintre cele două antrenări se reduc.

Faptul că rețeaua multilayer perceptron cu neuron **block** obține procente de recunoaștere superioare celei clasice, denotă o maturitate a arhitecturii și o comportare mai bună.

Așa cum a reieșit și din experimentul 5, o rețea multilayer perceptron cu neuron **block** oferă o mai bună claritate a ieșirilor. Astfel putem distinge acum cu ușurință între intrările care nu fac parte din clasele ce trebuie recunoscute de rețea și intrările care nu sunt recunoscute de rețea. Acest lucru poate oferi noi posibilități de analiză a datelor și o clasificare mai sigură a ieșirilor rețelei.

Concluzii

În urma efectuării experimentului 7 (antrenarea unei rețele multilayer perceptron cu neuron **block** în vederea depistării unor valori periculoase, și comparație între aceasta și o rețea multilayer perceptron clasică), au fost formulate următoarele concluzii:

- ✓ procentele obținute de noua topologie de rețea (multilayer perceptron cu 1 neuron **block**) pe un set de producție sunt cu până la 8% mai bune decât o rețea multilayer perceptron clasică
- ✓ și pentru acest set de date procentele individuale pe clase de recunoaștere sunt mai mari decât cele obținute de o rețea multilayer perceptron clasică antrenată fără exemple negative
- ✓ o mai mare claritate a ieșirilor la rețeaua multilayer perceptron cu neuron **block**; astfel tiparele negative sunt identificate cu ușurință ca o nouă clasă prezentă la ieșire

5.3.3 Avantajele utilizării unei rețele multilayer perceptron cu neuron block față de o rețea neuronală de tip multilayer perceptron simplă

Acest subcapitol s-a ocupat de analiza unei noi tipologii de rețea multilayer perceptron obținută prin adăugarea unui neuron pe ultimul strat al unei rețele neuronale normale.

Ideea de adăugare a unui neuron suplimentar pe stratul de ieșire a fost puternic influențată de prezența exemplilor negative în setul de antrenare. Pentru aceste exemple s-a dorit crearea unui neuron care să fie responsabil cu recunoașterea tiparelor negative prezente la intrare. Din această cauză l-am numit neuron **block** (responsabil cu blocarea anumitor tipare).

Experimentele desfășurate de-a lungul acestui subcapitol au scos în evidență **rolul major pe care acesta îl deține în cadrul procesului de antrenare prin simplificarea metodei de arbitrar** desfășurată la nivelul ultimului strat. Neuronul(neuronii) câștigători erau desemnați prin aplicarea unor funcții de activare care stabileau dacă un neuron este sau nu activ.

Inactivitatea tuturor neuronilor de pe stratul de ieșire induce o stare confuză deoarece poate fi văzută ca o nerecunoaștere a tiparului de la intrare sau poate fi o clasificare a acestuia ca un exemplu negativ.

Odată cu introducerea unui neuron suplimentar, procesul de arbitrar se simplifică simțitor. Avem astfel un neuron de ieșire și pentru exemplele negative care pot apărea la intrarea rețelei, eliminându-se astfel situația confuză de mai sus. De asemenea, desemnarea unui neuron ca fiind câștigător este foarte simplă, luând în acest caz neuronul cu ieșirea cea mai mare.

În exemplele rulate în acest subcapitol s-a observat **o îmbunătățire simțitoare a procesului de recunoaștere cu până la 5%** pentru o astfel de rețea. Un alt aspect interesant a fost acela că **procentele de recunoaștere pentru rețeaua cu neuron block sunt superioare în orice situație** celei clasice. Acest aspect denotă o maturitate a arhitecturii tradusă printr-o uniformitate în procesul de recunoaștere. [66]

Alt aspect important este oferit de procentele de recunoaștere obținute de fiecare clasă. Dacă privim cu atenție toate datele observăm că acestea **sunt superioare celor obținute de o rețea neuronală care a fost antrenată fără exemple negative**. Acest aspect este datorat simplității metodei de arbitrar și considerăm că este o realizare importantă oferită de rețeaua cu neuron block.

Se poate afirma la finalul acestui subcapitol că **o rețea neuronală de tipul multilayer perceptron cu neuron block este superioară uneia clasice din toate punctele de vedere**. Rezultatele obținute de aceasta sunt cu până la 5% mai bune, iar acest lucru este obținut doar printr-o simplă modificare a stratului de ieșire(acesta trebuie să conțină un neuron **block**).

5.4 Experimente efectuate pe rețele multilayer perceptron cu mai mulți neuroni block

În capitolul anterior am observat că utilizarea unei rețele multilayer perceptron cu un neuron **block** pe stratul de ieșire conduce la obținerea unor procente de recunoaștere superioare față de cele obținute de o rețea similară clasică (fără neuron block). Am dori să experimentăm în continuare acest fenomen prin

104 Învățarea pe baza corecției erorii cu exemple negative

introducerea mai multor neuroni block pe stratul de ieșire al rețelei multilayer perceptron. Fiecare dintre aceștia vor avea o funcție de activare diferită și din această cauză presupunem că vor manifesta comportamente diferite în procesul de recunoaștere.

Experimentele următoare utilizează 2 neuroni suplimentari pe stratul de ieșire. Fiecare dintre aceștia utilizează funcții de activare diferite, iar activarea cel puțin a unuia face ca tiparul de la intrare să fie considerat un exemplu negativ.

5.4.1 Experimentul 8 (baza de date NIST 19)

Acest experiment este foarte asemănător cu experimentul 5, singura diferență constând în introducerea a încă unui neuron block pe stratul de ieșire.

Așa cum am procedat până acum, și pentru acest experiment s-au realizat multiple seturi de antrenare. Diferența dintre acestea constă în numărul de exemple negative conținut de fiecare set în parte. Deoarece am dori o comparație cu datele obținute la experimentul 5, am decis să folosim exact aceleași seturi de date folosite de către acel experiment.

Astfel, antrenarea a pornit cu un set de 4 caractere (a,e,n, și r), fiecare având câte 5000 de instanțe(exemple pozitive) precum și câte 200 de caractere(literele b,d,h,l și t), acestea din urmă având rol de exemple negative. Numărul exemplilor negative a scăzut la 40 fiecare, în intervalul [15% - 20%] pentru o observare mai fină a evoluției procentului de recunoaștere.

Rețeaua multilayer perceptron cu mai mulți neuroni **block** antrenată pentru acest experiment are următoarea configurație:

- stratul de intrare conține 1024 neuroni – am folosit ca intrări desene de 32x32 pixeli cu literele respective
- stratul ascuns are 700 de neuroni
- stratul de ieșire are 6 neuroni – 4 neuroni responsabili cu recunoașterea celor 4 caractere; 2 neuroni suplimentari(neuron **block**) responsabil cu recunoașterea tiparelor negative.

Funcțiile de activare corespunzătoare fiecărui dintre cele 3 straturi sunt:

- pentru stratul de intrare avem ca funcție de activare – funcția liniară $f(x) = x$.
- pentru stratul ascuns avem ca funcție de activare – funcția logistică
- pentru stratul de ieșire avem ca funcție de activare – funcția logistică (pentru cei 4 neuroni responsabili cu detectarea literelor și unul din neuronii suplimentari) și funcția tangentă hiperbolică pentru celălalt neuron block

Rezultatele obținute de către rețeaua multilayer perceptron cu doi neuroni **block** sunt prezentate în Tabelul 15.

Datele sunt asemănătoare cu cele obținute la experimentul 5. Acest lucru poate fi observat și în Figura 58 și Figura 59. În ambele figuri procentele de recunoaștere pentru rețeaua multilayer perceptron cu 1 neuron **block** sunt asemănătoare cu cele ale rețelei multilayer perceptron cu 2 neuroni **block**.

Învățarea pe baza corecției erorii cu exemple negative 105

Antrenare	Exemple negative %	Litera „a” %	Litera „e” %	Litera „n” %	Litera „r” %	Întreg alfabetul %	Set producție %
	0	91.10	94.40	96.30	96.10	31.95	78.94
1	4.76	92.70	96.20	96.90	96.20	55.74	83.91
2	9.09	92.00	95.40	95.80	95.80	59.35	83.75
3	13.04	92.30	94.30	95.30	95.10	63.17	83.90
4	13.79	92.00	94.10	95.10	95.40	63.55	84.22
5	14.53	91.90	93.80	94.90	96.20	63.61	84.34
6	15.25	92.00	94.30	95.50	95.90	64.20	84.63
7	15.97	92.40	93.70	95.30	95.60	65.14	84.49
8	16.67	91.80	93.50	95.00	95.30	66.54	83.89
9	20.00	91.50	93.00	95.10	94.70	69.23	84.15
10	23.08	91.00	93.90	95.20	95.30	70.15	84.41
11	25.93	91.20	93.00	94.80	95.40	70.01	84.36
12	28.57	91.50	93.00	94.80	94.70	71.39	84.24
13	31.03	91.10	91.80	93.80	94.50	71.13	83.77
14	33.33	90.60	93.00	93.60	94.00	72.31	83.84
15	35.48	89.90	92.10	93.90	94.30	69.31	82.68
16	37.50	90.00	92.10	93.10	93.70	71.70	82.74
17	39.39	90.40	91.50	93.70	93.40	72.63	82.85
18	41.18	90.50	91.60	92.80	93.60	75.01	82.99
19	42.86	91.00	92.30	92.90	93.70	73.20	83.68
20	44.44	90.20	92.60	94.00	94.40	72.48	83.93
21	45.95	90.30	91.90	93.50	93.90	74.31	83.64
22	47.37	90.40	92.00	93.00	92.90	76.27	83.41
23	48.27	90.00	90.90	93.10	92.90	76.63	83.12
24	50.00	90.50	91.20	92.50	93.10	76.30	83.19

Tabelul 15. Rezultatele obținute la experimentul 8

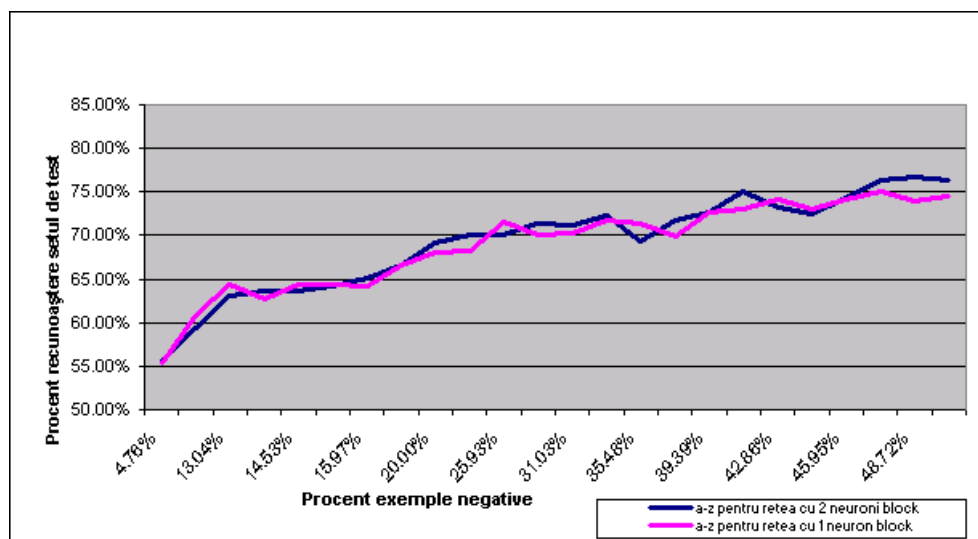


Figura 58. Procentele de recunoaștere obținute pe un set de test pentru o rețele multilayer perceptron cu 1 și 2 neuroni block pe stratul de ieșire

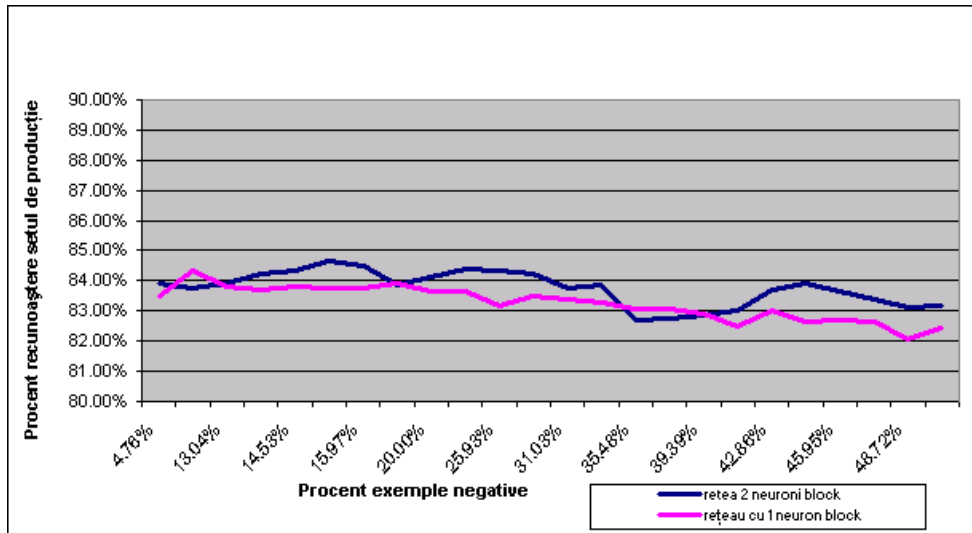


Figura 59. Procentele de recunoaștere obținute pe un set de producție pentru rețelele multilayer perceptron cu 1 și 2 neuroni block pe stratul de ieșire

Această „asemănare” a procentelor de recunoaștere pentru cele 2 tipuri de rețele este prezentă și la nivel de clasă de recunoaștere. Astfel, reprezentând procentele de recunoaștere obținute de clasele „a” și „r” în Figura 60 se observă o situație similară.

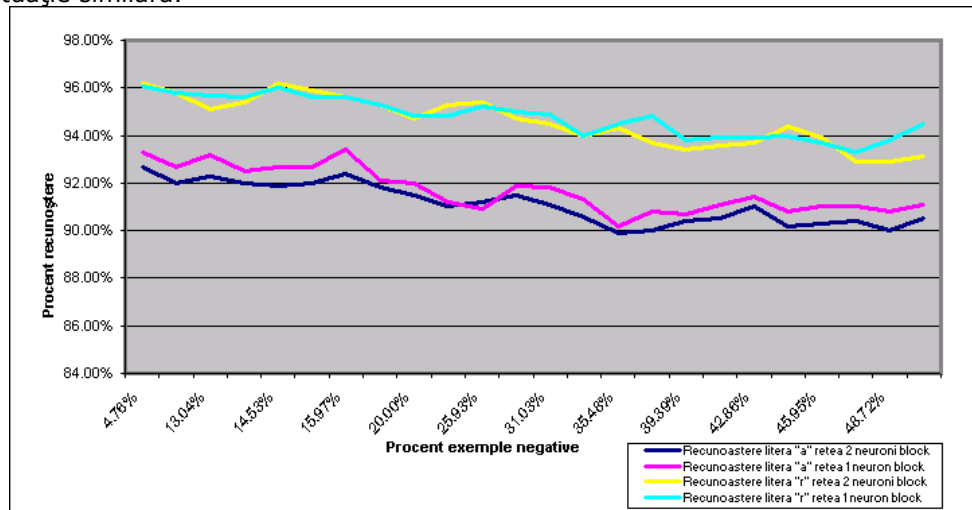


Figura 60. Procentele de recunoaștere obținute de către literele „a” și „r” pentru rețelele multilayer perceptron cu 1 și 2 neuroni block pe stratul de ieșire

Se observă că adăugarea celui de-al doilea neuron **block** nu a adus nici o îmbunătățire a performanțelor. Rata de recunoaștere a rămas aceeași cu cea de la rețeaua multilayer perceptron cu 1 neuron block.

Următorul experiment are același scop ca și cel curent, numai că a fost efectuat pe o altă bază de date.

Concluzii

În urma efectuării experimentului 8 (antrenarea unei rețele multilayer perceptron cu doi neuroni **block** în vederea recunoașterii caracterelor, și comparație între aceasta și rețeaua multilayer perceptron cu un neuron **block**), au fost formulate următoarele concluzii:

- ✓ pentru acest set de date nu s-a observat nici o deosebire clară (la nivel de performanță pe setul de producție) între rețeaua multilayer perceptron cu un neuron **block** și rețeaua multilayer perceptron cu doi neuroni **block**
- ✓ recunoașterea la nivel de clasă individuală de la ieșirea rețelei cu doi neuroni **block** prezintă valori asemănătoare cu cele obținute de rețeaua multilayer perceptron cu un neuron **block**

5.4.2 Experimentul 9 (baza de date Ocean's Data)

Și pentru acest experiment vom folosi pentru comparație datele obținute anterior la antrenarea unei rețele multilayer perceptron cu 1 neuron **block**. Astfel, vom prelua setul de antrenare și rezultatele folosite în cadrul experimentului 7, singura modificare fiind introducerea celui de-al doilea neuron **block** pe stratul de ieșire.

Configurația rețelei multilayer perceptron cu doi neuroni **block** obținute este următoarea:

- stratul de intrare conține 17 neuroni – am folosit ca intrări toți parametrii din Anexa 2 mai puțin parametrul 8
- stratul ascuns are 160 de neuroni
- stratul de ieșire are 5 neuroni – avem 3 dintre aceștia răspunzători cu nivele de risc pentru valuri, iar 2 sunt responsabili cu detectarea tiparelor negative)

Funcțiile de activare corespunzătoare fiecărui dintre cele 3 straturi sunt:

- pentru stratul de intrare avem ca funcție de activare – funcția liniară $f(x) = x$.
- pentru stratul ascuns avem ca funcție de activare – funcția logistică
- pentru stratul de ieșire avem ca funcție de activare – funcția logistică pentru primii 4 neuroni; pentru neuronul **block**, nou introdus avem o funcție de activare de tip tangentă hiperbolică.

Antrenarea a pornit cu un set de 13.000 de exemple pozitive și 650 exemple negative ajungând la 13.000 exemple pozitive și 13.000 exemple negative. La fiecare pas de antrenare numărul exemplarelor negative a crescut cu 650, iar în intervalul [15% - 20%] (exemplare negative din numărul de exemple pozitive) numai cu 130, pentru o observare mai fină a evoluției procentului de recunoaștere.

Rezultatele obținute de către multilayer perceptron cu doi neuroni **block** sunt prezentate în Tabelul 16.

Pentru o bună analiză am comparat aceste rezultate cu cele obținute la experimentul 7. Reprezentările vizuale ale rezultatelor obținute de cele două tipuri de rețele multilayer perceptron (cu 1 și 2 neuroni **block** pe stratul de ieșire) pot fi observate în Figura 61 și Figura 62.

Antrenare	Exemple negative %	Risc inexistent %	Risc scăzut %	Risc mediu %	Set test %	Set producție %
	0	85.34	94.44	64.29	28.00	61.93
1	4.76	84.48	97.92	58.57	84.55	82.85
2	9.09	85.34	97.22	61.43	87.27	82.00
3	13.04	84.48	96.53	62.86	90.00	85.48
4	13.79	81.90	95.14	65.71	90.73	83.53
5	14.53	82.76	93.75	64.29	90.36	82.82
6	15.25	78.45	95.14	65.71	90.00	83.34
7	15.97	79.31	94.44	64.29	90.09	84.16
8	16.67	78.45	91.67	61.43	89.73	84.39
9	20.00	86.21	93.75	60.00	90.45	86.66
10	23.08	87.93	95.83	57.14	91.36	82.96
11	25.93	88.79	97.22	58.57	91.45	81.73
12	28.57	78.45	98.61	61.43	92.73	83.22
13	31.03	76.72	99.31	62.86	93.18	81.64
14	33.33	77.59	98.61	60.00	92.55	84.47
15	35.48	76.72	97.22	58.57	92.73	79.63
16	37.50	73.28	96.53	54.29	93.18	79.82
17	39.39	67.24	95.83	55.71	92.55	79.36
18	41.18	68.97	95.14	52.86	92.00	78.55
19	42.86	69.83	96.53	50.00	91.36	78.66
20	44.44	68.10	95.83	42.86	91.00	77.91
21	45.95	68.97	93.75	44.29	91.09	76.30
22	47.37	66.38	97.22	45.71	91.82	77.04
23	48.27	68.97	96.53	40.00	91.36	75.98
24	50.00	68.10	95.83	42.86	91.09	76.21

Tabelul 16. Rezultatele obținute la experimentul 9

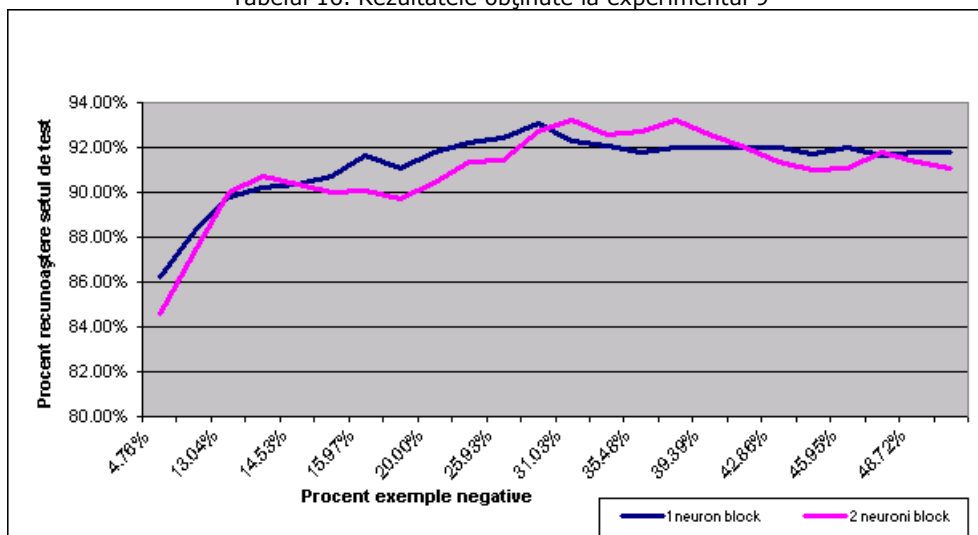


Figura 61. Procentele de recunoaștere obținute pe un set de test pentru rețele multilayer perceptron cu 1 și 2 neuroni block pe stratul de ieșire

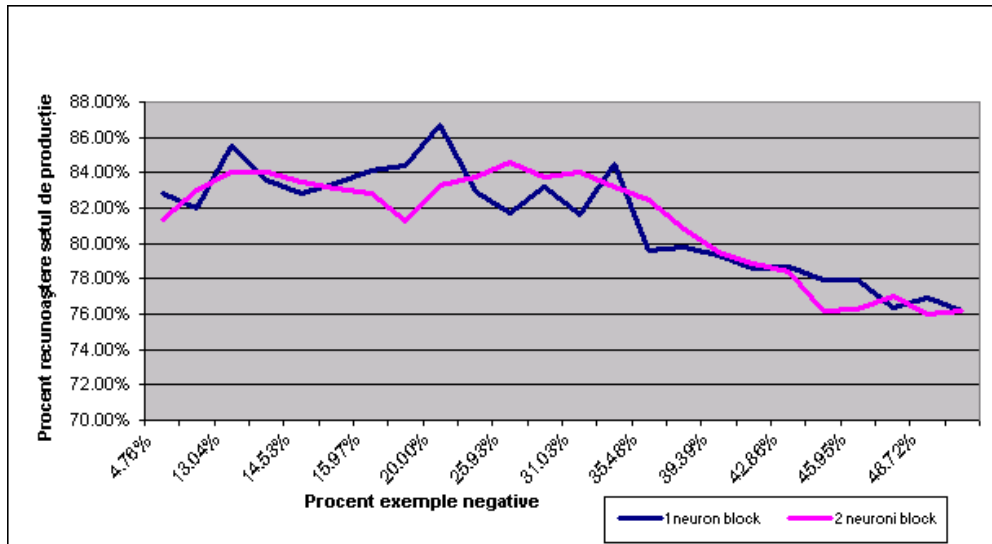


Figura 62. Procentele de recunoaștere obținute pe setul de producție pentru rețele de tip multilayer perceptron cu 1 și 2 neuroni block pe stratul de ieșire

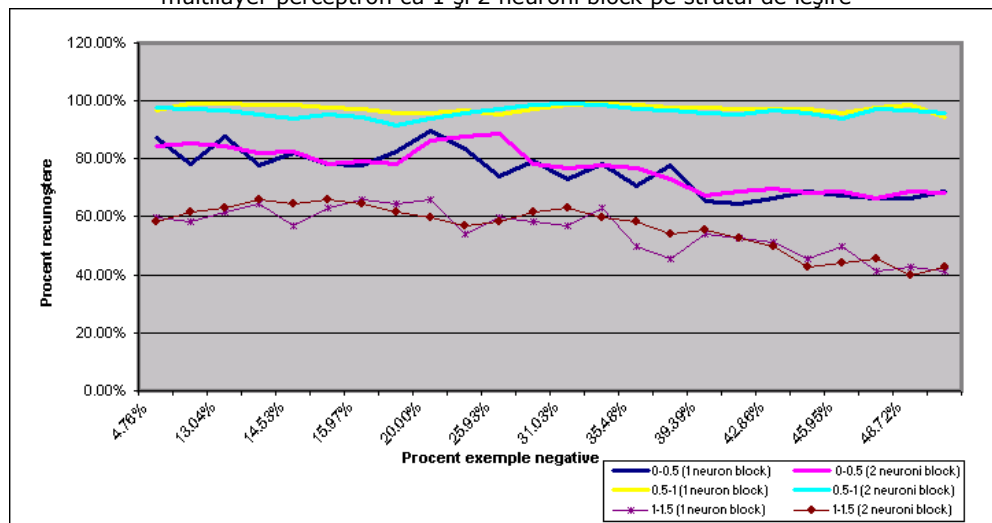


Figura 63. Procentele de recunoaștere obținute pe clase de recunoaștere de rețele de tip multilayer perceptron cu 1 și 2 neuroni block pe stratul de ieșire

La fel ca la experimentul 8, observăm că introducerea unui neuron suplimentar pe stratul de ieșire nu a condus la obținerea unor rezultate superioare. Am reprezentat grafic și procentele de recunoaștere pe fiecare clasă de la ieșire (vezi Figura 63), dar lucrurile sunt similare cu cele discutate mai sus.

Așa cum s-a observat din cele două experimente, introducerea celui de-al doilea neuron suplimentar pe stratul de ieșire, cu o altă funcție de activare decât primul, nu conduce la îmbunătățirea performanțelor rețelei neuronale de tip multilayer perceptron.

110 Învățarea pe baza corecției erorii cu exemple negative

Rezolvarea acestei probleme constă într-o împărțire mai riguroasă a exemplilor de antrenare în clase negative și asocierea unui neuron **block** pentru fiecare din aceste clase. O propunere în acest fel ar fi introducerea dinamică a câte unui neuron **block** pentru fiecare clasă de exemple negative de la intrare.

Deocamdată, asocierea a mai mult de 1 neuron **block** pentru detectarea exemplilor negative nu reușește să îmbunătățească performanțele unei rețele neuronale.

Concluzii

În urma efectuării experimentului 9 (antrenarea unei rețele multilayer perceptron cu doi neuron **block** în vederea detectării unor valori periculoase, și comparație între aceasta și rețeaua multilayer perceptron cu un neuron **block**), au fost formulate următoarele concluzii:

- ✓ pentru acest set de date nu s-a observat nici o deosebire clară (la nivel de performanță pe setul de producție) între rețeaua multilayer perceptron cu un neuron **block** și rețeaua multilayer perceptron cu doi neuroni **block**
- ✓ recunoașterea la nivel de clasă individuală de la ieșirea rețelei cu doi neuroni **block** prezintă valori asemănătoare cu cele obținute de rețeaua multilayer perceptron cu un neuron **block**
- ✓ pentru creșterea performanțelor, s-a propus pentru studiu, o împărțire mai riguroasă a exemplilor negative în mai multe clase și asocierea unui neuron **block** pentru fiecare clasă nou formată

5.5 Concluzii

Acest capitol a fost dedicat în întregime experimentelor care au fost efectuate pentru testarea ideilor prezentate în Capitolul 4.

S-a început prin **evidențierea importanței pe care exemplele negative o au în cadrul procesului de antrenare**. Astfel, cu ajutorul unui set de antrenare în care numărul de exemple negative a fost mărit succesiv, s-a observat o îmbunătățire remarcabilă a procentului de recunoaștere obținut de rețeaua neuronală.

Pentru a putea compara rezultatele obținute prin antrenarea mai multor rețele diferite, **a fost propusă o formulă de calcul generală a procentului de recunoaștere pentru un set de producție** (Formula 5.1). În acest mod, toate experimentele ulterioare au ca punct comun valori ce pot fi comparabile.

În urma efectuării mai multor experimente pe două baze de date diferite, s-a observat un comportament comun al procentului de recunoaștere pe setul de producție. Acesta lua valori maxime în intervalul [10% - 20%] (număr exemple negative din numărul de exemple pozitive).

Pentru a confirma acest lucru, s-a procedat la antrenarea unor rețele pe alte două baze de date recunoscute în acest domeniu: sonar și diabet.

Rezultatele obținute din experimentele pe setul de caractere, sonar și diabet, au reprezentat punctul de plecare pentru generarea unui model general al procentului de recunoaștere în funcție de numărul de exemple negative folosit.

Cu ajutorul programului DataFit s-a generat câte un model pentru fiecare bază de date folosită. Cele 3 modele au avut aceeași formă, dar coeficienți diferiți.

Verificarea apartenenței la același fenomen pentru seturile de coeficienți a fost făcută printr-o analiză statistică cu ajutorul testului t .

Utilizând programul Origin6.0, s-a demonstrat că seturile de coeficienți descriu același fenomen deoarece ele nu diferă în mod semnificativ. De asemenea programul a furnizat și setul de parametrii ce caracterizează modelul general.

Modelul general a fost verificat pe baza de date Ocean's Data obținându-se rezultate favorabile. **Modelul astfel generat este viabil și reușește să aproximeze evoluția procentului de recunoaștere pe setul de producție în funcție de procentul de exemple negative folosit la antrenare.**

Al doilea set de experimente a fost efectuat pentru testarea noii metode de învățare propusă în această teză: învățarea pe baza corecției erorii cu exemple negative.

Pentru aceasta s-au antrenat mai multe rețele neuronale de tip multilayer perceptron la care s-a introdus un neuron adițional pe stratul de ieșire. Deoarece acesta este responsabil cu semnalarea exemplilor negative prezente la intrare l-am numit neuron **block**.

În acest mod s-a realizat **o simplitate a metodei de arbitraj desfășurată la nivelul ultimului strat**. Neuronul/neuronii câștigători erau desemnați de o funcție de activare. Prin introducerea neuronului block putem considera ca fiind câștigător, neuronul cu valoarea de ieșire maximă.

Astfel se elimină și confuzia generată de inactivitatea tuturor neuronilor pe stratul de la ieșire: nerecunoaștere a tiparului sau clasificare a acestuia ca fiind un exemplu negativ.

Modificarea astfel creată a reușit **o îmbunătățire substanțială, atât a procentului de recunoaștere general (cu până la 5%) cât și a procentelor de recunoaștere individuale fiecărei clase de la ieșire.**

În continuarea experimentelor a fost testată o extensie a tehnicii de învățare propusă anterior. Pe stratul de ieșire au fost adăugați doi neuroni suplimentari cu funcție de activare diferită, dorindu-se o detecție mai bună a modelelor negative.

Rezultatele au fost însă asemănătoare celor obținute de rețeaua cu un neuron block, nici o performanță notabilă nefiind înregistrată. Principala problemă a fost cauzată de „omogenitatea” exemplilor negative de la intrare. O împărțire a acestora în mai multe clase și alocarea unui neuron pentru fiecare ar putea fi, în opinia autorului, o rezolvare a problemei.

6. ÎMBUNĂTĂȚIREA TIMPULUI DE ANTRENARE A RNA PRIN FOLOSIREA CARACTERISTICILOR DATELOR DE INTRARE

Așa cum am arătat în capitolul 1, rețelele neuronale artificiale sunt structuri ale căror proprietăți le fac potrivite pentru rezolvarea unor probleme complexe de clasificare a tiparelor. Cu toate acestea, se întâmpină dificultăți în aplicarea lor în procesul de rezolvare a unor probleme reale. Cea mai mare dificultate constă în găsirea unui algoritm care să poată calcula un set optimal de ponderi într-un timp relativ scurt.

Din această cauză, literatura de specialitate este plină de tehnici care ajută la creșterea vitezei de antrenare pentru o rețea neuronală. Aceste se grupează în două mari categorii:

- Tehnici care se ocupă de creșterea vitezei de rulare a algoritmului de antrenare; în această categorie avem tehnici de rulare a algoritmului pe diverse rețele de calculatoare[67], tehnici care rulează pe GPU(Graphics Unit Processor)[68], etc.
- Tehnici care se ocupă de optimizarea algoritmului de antrenare; în această categorie avem tehnici de utilizare a algoritmilor genetici pentru generarea inițială a ponderilor[69], tehnici de inițializare a ponderilor utilizând informație anterioară despre datele ce urmează a fi procesate[70], etc.

Din mulțimea de tehnici care încearcă optimizarea algoritmului de antrenare, ne interesează acele tehnici care utilizează elemente și concepte de data mining. Domeniul Data mining este un domeniu recunoscut pentru performanțele deosebite în găsirea unor cunoștințe în volume mari de date (KDD – Knowledge discovery in databases). În cadrul unui proces de tip KDD are loc o identificare a unor date valide, posibil utile în viitoarele prelucrări, și totodată se încearcă identificarea unor tipare în datele de studiu.

UN proces de tip KDD este reprezentat în Figura 64.

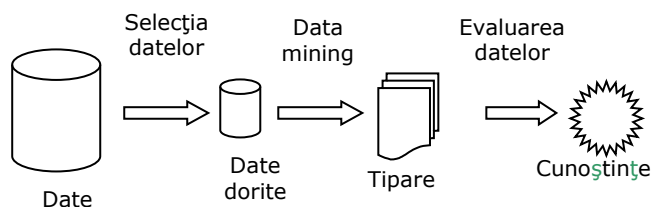


Figura 64. Pașii ce alcătuiesc un proces de tip KDD

114 Învățarea pe baza corecției erorii cu exemple negative

Scopul final al unui proces de tip KNN este extragerea anumitor caracteristici din datele prezentate la intrare astfel încât acestea să fie reprezentative pentru problema ce trebuie rezolvată.[71]

Prin înlăturarea tuturor acelor date care sunt irelevante sau redundante (față de noțiunile ce trebuie învățate), procesul de descoperire a caracteristicilor este mult mai ușor și mai rapid. Acest proces poartă denumirea de *selecție a caracteristicilor dintr-un set de date*. Acest proces este de regulă bine definit și poate fi urmărit pe toată durata desfășurării lui.

În funcție de natura căutării, procesul de selecție a caracteristicilor trebuie să-și definească 4 elemente[72]:

- **Punctul de start** – este primul element care trebuie definit. Algoritmul pornește prin selecția unui punct în spațiul format dintr-o mulțime de caracteristici. Această selecție este importantă deoarece va afecta direcția căutării. O posibilitate întâlnită deseori este pornirea de la o mulțime de caracteristici vidă și adăugarea unei caracteristici în urma execuției unui pas din algoritm (poartă denumirea de căutare înainte). O altă posibilitate este pornirea cu mulțimea tuturor caracteristicilor și eliminarea unei caracteristici la fiecare pas de execuție (căutarea înapoi). Există și a treia posibilitate, și ea presupune alegerea unui punct undeva la mijloc și navigarea din acel punct către o margine a mulțimii.
- **Modul de organizare al căutării.** Tehnicile de căutare euristice sunt mult mai rapide și oferă rezultate mai bune decât cele exhaustive. Singura problemă a acestora este că nu garantează rezultatul obținut ca fiind cel optim.
- **Strategia de evaluare.** Acest element este de departe cel mai important factor în întreg procesul de selecție a caracteristicilor. Rolul lui este de a preciza modul în care se evaluează un număr de caracteristici. O primă metodă de evaluare este cea euristică în care mulțimea de caracteristici este analizată prin prisma caracteristicile generale ale datelor. A doua metodă presupune un algoritm de inducție ce este folosit pentru analiza mulțimii de caracteristici.
- **Criteriul de oprire.** Decizia de încetare pentru selecția celor mai bune caracteristici dintr-o mulțime este luată în următoarele cazuri: putem să ne oprim din procesul de adăugare/ștergere de caracteristici, atunci când nu mai există nici o caracteristică care să îmbunătățească într-un fel selecția curentă; putem revizui setul curent atâta timp cât valoarea acestuia nu scade; putem continua generarea noului set până când toate caracteristicile ce pot fi adăugate s-au epuizat, în acest caz selectăm cel mai bun set obținut până atunci.

Mai mulți autori menționează utilizarea unor tehnici de selecție a celor mai bune caracteristici ca fiind un mod de optimizare a procesului de rezolvare a unei probleme. Vom prezenta în continuare câteva din tehnicile curente de selecție a caracteristicilor și care au fost aplicate cu succes în rezolvarea unor probleme care au implicat rețele neuronale. La sfârșitul capitolului vom face și o comparație între rezultatele obținute de către aceștia folosind diverse tehnici și rezultatele obținute utilizând tehnica prezentată în acest capitol.[73]

În 1997 Jain și Zongker definesc problema selecției de caracteristici în felul următor[74]:

Dându-se un set de caracteristici, trebuie selectate un număr dintre acestea care obțin cele mai bune rezultate când este aplicat un anumit sistem de clasificare.

Pe lângă reducerea costurilor în problema de recunoaștere (deoarece se reduce numărul de caracteristici care trebuie să fie colectate) are loc, în anumite cazuri, și o mai bună clasificare datorată reducerii numărului de exemple ce trebuie procesat. Aceștia au studiat un număr mare de algoritmi propuși pentru selecția unui număr de caracteristici, și au ales ca fiind cel mai bun, algoritmul „*Sequential Forward Floating Selection*” (SFFS) dezvoltat de Pudil și alții.[75]

În 2003, Kim și Street propun o nouă metodă, denumită ELSA (Evolutionary Local Selection Algorithms) și o utilizează în decizii manageriale. Această metodă utilizează rețelele neuronale artificiale pentru a descoperi diverse combinații de caracteristici. În final, serviciile sau produsele achiziționate de partea managerială trebuiau să aibă numai acele caracteristici evidențiate anterior de către ELSA.[76] Autorii concluzionează că un model ce combină ELSA cu rețelele neuronale artificiale produce rezultate satisfăcătoare numai atunci când partea managerială are un scenariu decizional creat anterior.

În 2007 Gigli împreună cu alți cercetători, prezintă o nouă arhitectură pentru un algoritm de data mining dezvoltat în vederea împărțirii pe clase a unui set de exemple date[77]. Algoritmul integrează o librărie de extragere de caracteristici împreună cu data mining și fuziune de date, pentru a optimiza și automatiza soluția de clasificare prezentată în final.

Ei descriu cum selecția de caracteristici și algoritmi de data mining se combină cu ajutorul algoritmilor genetici utilizând o sursă de date comună. Totodată, pentru surse de date multiple, ei propun utilizarea unora dintre cele mai bune tehnici de fuziune de date, acesta realizându-se tot cu ajutorul algoritmilor genetici.

Toate aceste studii relevă faptul că aplicarea unei tehnici de tip selectare de caracteristici la un set de date conduce la obținerea unui set de date mai mic și mai reprezentativ pentru problema ce trebuie rezolvată. Acest set restrâns conservă toate caracteristicile necesare în vederea rezolvării problemei propuse și optimizează timpul și resursele ce sunt necesare. De asemenea, există cazuri în care datele selecționate printr-o astfel de tehnică obțin rezultate mai bune, lucru datorat acurateței de care acestea dau dovadă.

Astfel, antrenarea unei rețele neuronale utilizând un set de caracteristici ale datelor de intrare pare simplă și foarte naturală. Această idee derivă și din faptul că o mare parte din datele de intrare ale rețelei neuronale, utilizate la antrenarea ei, sunt recurente sau conțin informații care nu sunt necesare în acest proces. Trebuie precizat că procesul de selectare de caracteristici dintr-un set de date care să reprezinte cu succes datele inițiale este încă o provocare și nu este 100% rezolvat. Credem că domeniul care este cel mai apropiat de o rezolvare totală este data mining.

Această ipoteză se bazează pe faptul că data mining este un domeniu care prelucrează cantități foarte mari de date și de aceea, calitatea acestor date este foarte importantă. Astfel, caracteristici neimportante pot avea un efect negativ asupra prelucrărilor ulterioare. Din această cauză domeniul data mining pare cel mai potrivit pentru o rezolvare totală a acestei probleme.[78]

6.1 Selectarea caracteristicilor unui set de antrenare utilizând tehnici de data mining

Pentru a putea obține un set de caracteristici ale setului de antrenare vom încerca inițial să găsim corelații în setul de date. Utilizând tehnici de data mining, trebuie să găsim un algoritm care să fie capabil de selecția celor mai bune caracteristici dintr-un set de date.

Această tehnică presupune două componente:

- o tehnică de evaluare a caracteristicilor
- un algoritm de căutare pentru a selecta cele mai bune caracteristici.

Tehnica de evaluare folosită este CFS (Correlation based Feature Selection) și este un algoritm care combină o formula de evaluare ce conține o tehnică de măsură a corelațiilor dintre caracteristici cu o strategie de căutare de tip euristic.

Tehnica are la bază ipoteza că un set bun de caracteristici trebuie să conțină numai elemente care sunt puternic corelate între ele și slab corelate (sau chiar deloc) cu elemente conținute în alte seturi.

Dacă avem un set de test în care cunoaștem valoarea corelației dintre fiecare componentă și variabila exterioară reprezentată de acea componentă, și de asemenea, intercorelarea dintre fiecare două componente este cunoscută, putem defini valoarea corelației dintre setul respectiv și variabila exterioară după formula:

$$r_{ZC} = \frac{\overline{k r_{Zi}}}{\sqrt{k + k(k-1)\overline{r_{ji}}}} \quad (6.1)$$

unde:

- r_{ZC} este corelația dintre setul respectiv și variabila exterioară
- k este numărul de componente
- $\overline{r_{Zi}}$ este media aritmetică a corelațiilor dintre componente și variabila exterioară
- $\overline{r_{ji}}$ este media aritmetică a intercorelațiilor dintre componente

CFS poate fi văzut ca un simplu algoritm de filtrare care grupează în mulțimi mai multe caracteristici în funcție de o funcție euristică de evaluare a corelației. Caracteristicile principale din setul obținut sunt strâns corelate între ele și slab corelate cu alte seturi.

Astfel, caracteristicile irelevante trebuie ignorate deoarece ele au o slabă corelare cu setul respectiv. Caracteristicile redundante trebuie eliminate din listă chiar dacă ele sunt puternic corelate cu alte caracteristici, deoarece ele deja aparțin altor caracteristici.

Acceptarea unei caracteristici va depinde exclusiv de puterea de predicție a cât mai multor clase din setul de test, clase care nu mai pot să fie revendicate de alte caracteristici conform ecuației (6.1).

Experimentele desfășurate pe seturi de date au arătat că CFS a reușit să identifice cu rapiditate caracteristicile importante pentru acele seturi care să nu

depindă puternic de alte caracteristici. De asemenea, algoritmul elimină cu succes toate acele caracteristici redundante, care nu sunt relevante sau sunt parțial distruse, acționând astfel în detrimentul prelucrărilor ulterioare a datelor.

Pentru algoritmul de căutare a fost utilizat BestFirst, un algoritm de tip greedy combinat cu strategie backtracking.[80]

Algoritmul greedy utilizează tehnica alpinistului(hill climbing) având ca scop maximizarea/minimizarea unei funcții $f(x)$ în care x ia valori într-un spațiu discret. Dacă reprezentăm valorile pe care poate să le ia x fiind niște noduri într-un graf, arcele care unesc două astfel de noduri reprezintă similitudinile dintre acele două noduri(stări).

Pentru rezolvarea unei probleme se pot aplica mai multe metode ale acestui algoritm. Selecția anterioară a atributelor (FS – Forward selection) este una dintre cele mai simple și mai des folosite metode. Are ca punct de plecare o mulțime vidă și adaugă câte un atribut la fiecare pas de execuție până când toate atributele au fost adăugate. Adăugarea este făcută astfel încât valoarea atributelor adăugate până în acel moment să fie maximă (greedy). Astfel, la fiecare pas FS selectează atributul care reușește cel mai bine să fie corelat cu restul atributelor. Adăugarea unui atribut la fiecare pas de rulare face ca atributele deja adăugate la setul curent să nu mai poată fi scoase.

O altă metodă este cea de eliminare a atributelor (BE – Backward elimination). Această metodă este similară cu FS, singura diferență fiind aceea că BE pornește cu toate atributele și elimină câte un atribut din set la fiecare pas. În același mod ca și FS, un atribut eliminat într-un pas nu mai poate fi adăugat într-un pas anterior.

Faptul că un atribut este adăugat/scos printr-o acțiune definitivă este un lucru riscant deoarece atributul poate ulterior să-si dovedească valoarea într-un pas viitor al algoritmului. Din această cauză o metodă mai sigură este una hibridă, în care, la fiecare pas, la algoritm putem adăuga sau șterge un atribut. Și la pornire avem o libertate mai mare relativ la mulțimea de start. Astfel, putem porni fie cu o mulțime goală, fie completă sau cu un număr aleatoriu de elemente, deoarece putem adăuga sau scoate ulterior ce element dorim.

Algoritmul va parcurge întregul graf, trecând dintr-un nod în alt nod, la fiecare pas urmărindu-se maximizarea(minimizarea) funcției f până când este atins un punct de maxim(minim).

Algoritmul se termină atunci când nu se mai poate face nici un fel de îmbunătățire asupra funcției f . În Figura 65 se poate observa reprezentarea grafică pentru o funcție care are un singur minim local. Din păcate acest gen de funcții sunt foarte rar întâlnite în lumea reală, cele mai frecvente fiind cazurile în care predomină funcțiile cu mai multe puncte locale de minim/maxim (Figura 66).

Dacă o funcție are mai multe puncte de maxim(minim) local, metoda nu garantează obținerea optimului global, ea furnizând doar optime locale care depind de punctul inițial ales. Acest fapt se datorează situației în care algoritmul găsește un punct de optim local și trebuie să stabilească dacă acesta este și cel global. Scopul final al algoritmului este găsirea unui punct optim local care să fie cât mai aproape de punctul global.

Ca un dezavantaj pentru tehnicile de căutare de tip alpinist este faptul că nu reușesc un echilibru între cele 2 obiective principale ale unei tehnici de căutare:

- *exploatarea* celor mai bune soluții găsite până în momentul respectiv
- *explorarea* spațiului de căutare

118 Învățarea pe baza corecției erorii cu exemple negative

Astfel, tehnicile de tip alpinist exploatează cea mai bună soluție găsită pentru o posibilă îmbunătățire, dar neglijează explorarea unei mari porțiuni din spațiul de căutare

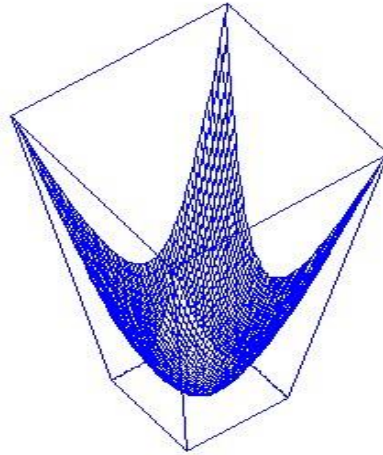


Figura 65. Reprezentarea grafică pentru o funcție cu un singur minim local

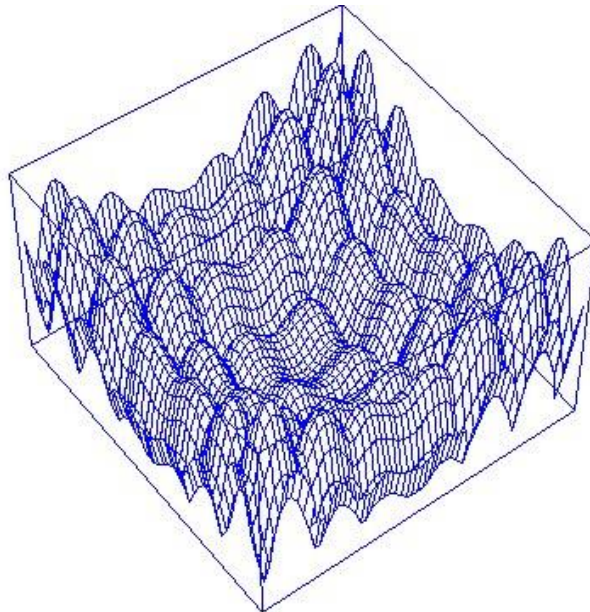


Figura 66. Reprezentarea grafică pentru o funcție cu mai multe puncte de maxim locale

Combinând cele două componente, tehnica de evaluare a caracteristicilor și algoritmul de căutare vom încerca să experimentăm căutarea celor mai bune caracteristici pe un set de date folosit în experimentele anterioare.

În capitolul precedent o mare parte din experimente au avut ca date de intrare seturi de caractere oferite de baza de date internațională NIST 19. Fiecare caracter este reprezentat pe 1024 de pixeli (o matrice de 32x32 pixeli), un pixel putând lua valori de 0 sau 1.

O mare parte din cei 1024 de pixeli nu sunt folosiți în procesul de recunoaștere. Din această cauză aplicarea unui algoritm pentru extragerea unor caracteristici ale datelor de intrare și aplicarea acestor caracteristici ca și intrări pentru rețeaua neuronală, sperăm să furnizeze rezultate mai rapide și, poate și o îmbunătățire a performanțelor obținute de rețeaua neuronală.

6.2 Experimente folosind caracteristici ale datelor de intrare

6.2.1 Programul Weka

Pentru selecția caracteristicilor am utilizat unul din cele mai folosite programe în domeniul data mining, programul Weka (Waikato Environment for Knowledge Analysis)[81][82].

Weka este o colecție de algoritmi de învățare utilizați preponderent în domeniul data mining. Weka conține unelte de dezvoltare pentru[83]:

- preprocesare de date
- clasificare, regresie de date
- clusterizare
- reguli de asociere și vizualizare

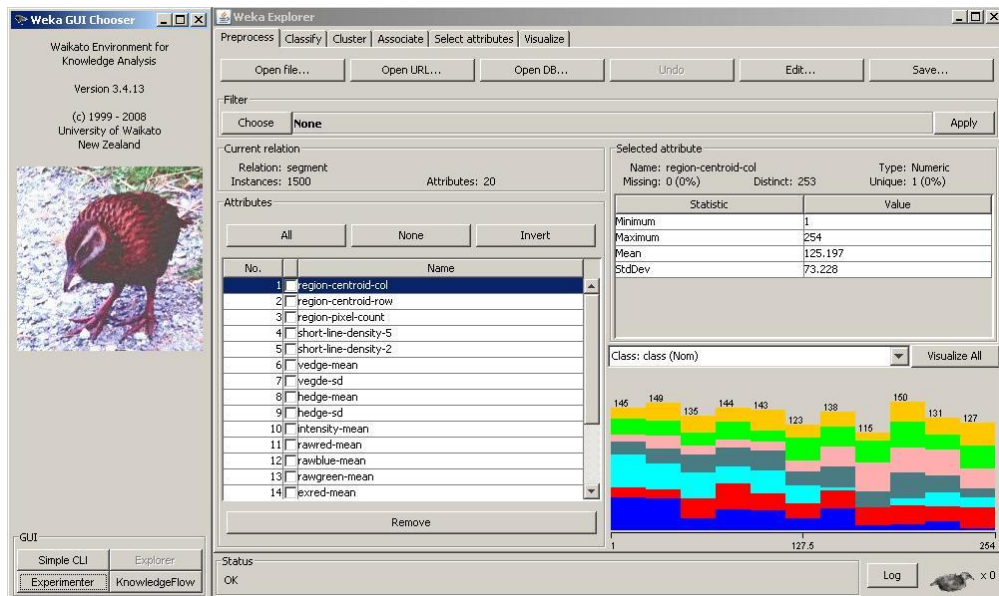


Figura 67. Fereastra principală a programului Weka împreună cu fereastra de explorer

În Figura 67 se poate observa interfața principală a programului împreună cu fereastra de Explorer. Utilizarea acestuia este destul de facilă și nu presupune noțiuni avansate de data mining.

6.2.2 Experimente

Experimentele derulate în acest capitol încearcă determinarea a două aspecte privind antrenarea rețelelor neuronale cu caracteristici ale datelor de intrare:

- Acuratețea caracteristicilor obținute. Vom încerca să determinăm dacă antrenând o rețea neuronală artificială cu caracteristici ale datelor de intrare obținem rate de recunoaștere comparabile cu cele obținute de rețeaua antrenată cu datele originale.
- Timpul de antrenare. Se încearcă determinarea timpilor de antrenare pentru rețeaua neuronală antrenată cu caracteristici, timp care ar trebui să fie de câteva ori mai mici decât la rețeaua antrenată cu date normale.

Experimentul 9

Deoarece pentru o comparație cu o rețea clasică, am dorit să utilizăm rezultatele obținute în cadrul Experimentului 1, și Experimentul 9 a constatat în antrenarea unei rețele neuronale în recunoașterea caracterelor „a”, „e”, „n” și „r”.

Un prim pas a fost alegerea celor mai bune caracteristici ale datelor din setul de intrare. Utilizând programul Weka am obținut un număr de 100 de caracteristici, numărul acestora fiind prezentat în Anexa 4.[86] Repartiția acestora în matricea de 32x32 de puncte se poate observa și din Figura 68. Se poate observa foarte ușor cum o serie de puncte nu au fost selectate, prezența acestora nefiind necesară la antrenare.

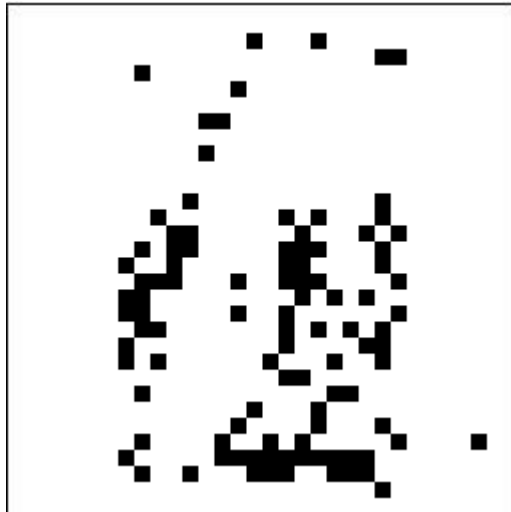


Figura 68. Repartiția punctelor selectate din matricea de 32x32 ca fiind cele mai bune caracteristici pentru caracterele „a”, „e”, „n” și „r”

Fiecare dintre caracteristicile selectate determină schimbări majore în ieșirile rețelei neuronale. Astfel am exemplificat în Figura 69 modul în care caracteristicile 523 și 658 influențează recunoașterea literei „a” de către rețeaua neuronală.

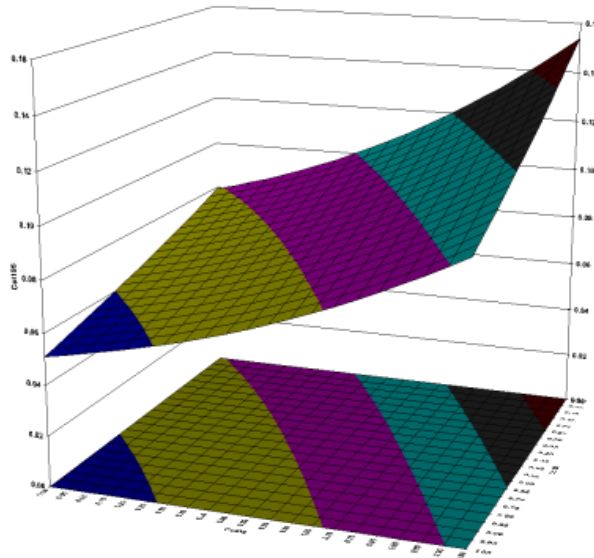


Figura 69. Reprezentarea grafică a influenței exercitate de caracteristicile 523 și 658 asupra literei „a”

O primă concluzie este reducerea masivă a setului de intrare; dacă la prima rețea avem 1024 de neuroni de intrare, pentru a doua numărul acestora a scăzut la 100 de neuroni.

Reamintim configurația rețelei de la Experimentul 1 ca fiind de tip multilayer perceptron cu 1 strat ascuns. Configurația acesteia este următoarea:

- stratul de intrare conține 1024 neuroni – am folosit ca intrări desene de 32x32 pixeli cu literele respective
- stratul ascuns are 700 de neuroni
- stratul de ieșire are 4 neuroni – fiecare dintre cei 4 neuroni este responsabil cu recunoașterea unui caracter

Funcțiile de activare corespunzătoare fiecărui dintre cele 3 straturi sunt:

- pentru stratul de intrare avem ca funcție de activare – funcția liniară $f(x) = x$.
- pentru stratul ascuns avem ca funcție de activare – funcția logistică
- pentru stratul de ieșire avem ca funcție de activare – funcția logistică

În cadrul acestui experiment această rețea va purta denumirea de rețea neuronală clasică. A doua rețea folosită poartă denumirea de rețea neuronală antrenată cu caracteristici ale datelor de intrare și are următoarea configurație:

- stratul de intrare conține 100 neuroni – am folosit numai cele 100 de intrări selectate de Weka ca fiind cele mai bune caracteristici pentru setul de intrare.
- stratul ascuns are 178 de neuroni

122 Învățarea pe baza corecției erorii cu exemple negative

- stratul de ieșire are 4 neuroni – 4 neuroni responsabile cu recunoașterea celor 4 caractere.

Funcțiile de activare corespunzătoare fiecăruia dintre cele 3 straturi sunt:

- pentru stratul de intrare avem ca funcție de activare – funcția liniară $f(x) = x$.
- pentru stratul ascuns avem ca funcție de activare – funcția logistică
- pentru stratul de ieșire avem ca funcție de activare – funcția logistică

Antrenarea a fost făcută pentru un set ce conține 16% exemple negative. Am preluat astfel concluziile obținute în urma antrenării rețelelor neuronale pentru determinarea procentului optim de exemple negative.

Setul de antrenare a fost compus din 23.200 de litere, din care 20.000 de exemple pozitive (fiecare dintre cele 4 litere având câte 5000 de instanțe) și 3200 de exemple negative. Setul de test a fost format din 26.000 de litere, fiecare literă având câte 1000 de instanțe. Setul de producție a fost calculat conform formulei (5.1).

Rezultatele obținute de cele două rețele se pot observa în Tabelul 17 și sunt reprezentate vizual în Figura 70.

Rețea	Exemple negative %	Litera „a” %	Litera „e” %	Litera „n” %	Litera „r” %	Întreg alfabetul %	Set producție %
1	15.97	90.70	93.20	95.00	94.80	59.80	83.39
2	15.97	90.80	93.20	95.30	94.70	59.88	83.89

Tabelul 17. Procentele de recunoaștere obținute în cadrul Experimentul 9

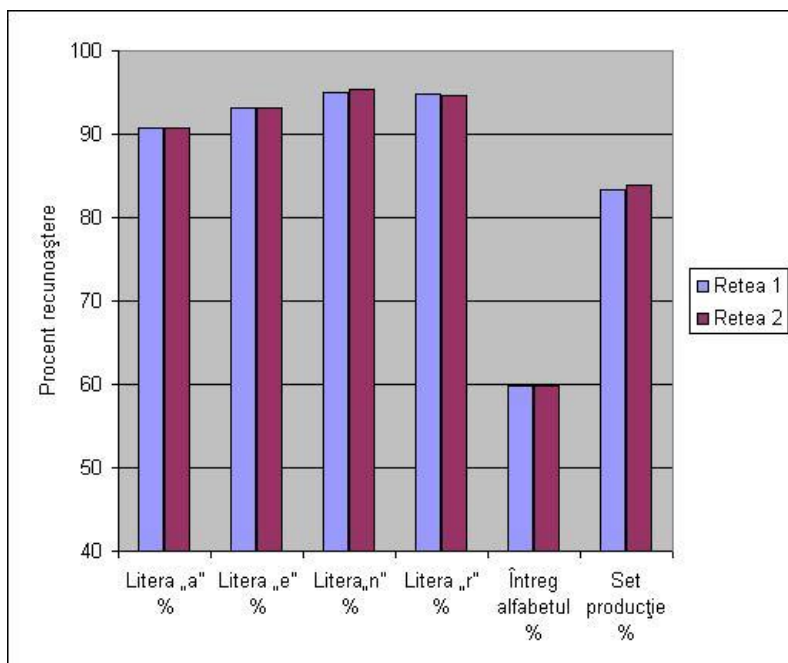


Figura 70. Reprezentarea grafică a procentelor de recunoaștere obținute la Experimentul 9

Observația imediată este aceea că procentele de recunoaștere pentru cele două rețele neuronale sunt foarte apropiate, existând și cazuri în care rețeaua neuronală antrenată cu caracteristici ale datelor de intrare s-a comportat mai bine decât prima rețea.

Acest aspect denotă robustețea algoritmului de selecție a caracteristicilor folosit și confirmă încă o dată faptul că un set de caracteristici poate reprezenta cu succes întreg setul de date original.

Cazurile în care am obținut rate de recunoaștere mai bună (pentru literele „a”, „n” și „r”) reprezintă situații posibile în care un set de caracteristici se comportă mai bine decât setul original.

Situațiile în care setul de antrenare prezintă zgomote sau tipare greșite sunt întâlnite destul de frecvent în problemele de recunoaștere conducând astfel la o antrenare greoaie și o îngreunare a procesului de recunoaștere.

Al doilea obiectiv urmărit la acest experiment este legat de timpul necesar pentru întreg procesul de antrenare. Am monitorizat timpul în care se execută mai multe epoci de antrenare, iar rezultatele sunt prezentate în Tabelul 18.

Numărul de epoci	Rețea 1 (sec)	Rețea 2 (sec)
1	898	84
4	3612	338
6	5398	505
10	9008	841
22	19795	1845
30	26994	2518
38	38202	3194
40	35921	3362
50	44898	4200
55	49391	4619
60	53878	5043
65	58370	5463
70	62857	5881
76	68247	6385
80	71840	6720
85	76333	7142
90	80818	7562
95	85311	7981
100	89799	8400

Tabelul 18. Timpii de antrenare obținuți în cadrul Experimentul 9

Se poate observa diferența uriașă între timpii necesari antrenării pentru rețeaua neuronală inițială și rețeaua neuronală antrenată numai cu caracteristici ale datelor de intrare.

Pentru o mai clară diferențiere a acestor timpii, am reprezentat grafic în Figura 71 rezultatele obținute și astfel, se poate ușor observa că timpul necesar antrenării rețelei 2 este de aproape 11 ori mai mic decât timpul necesar antrenării rețelei 1.

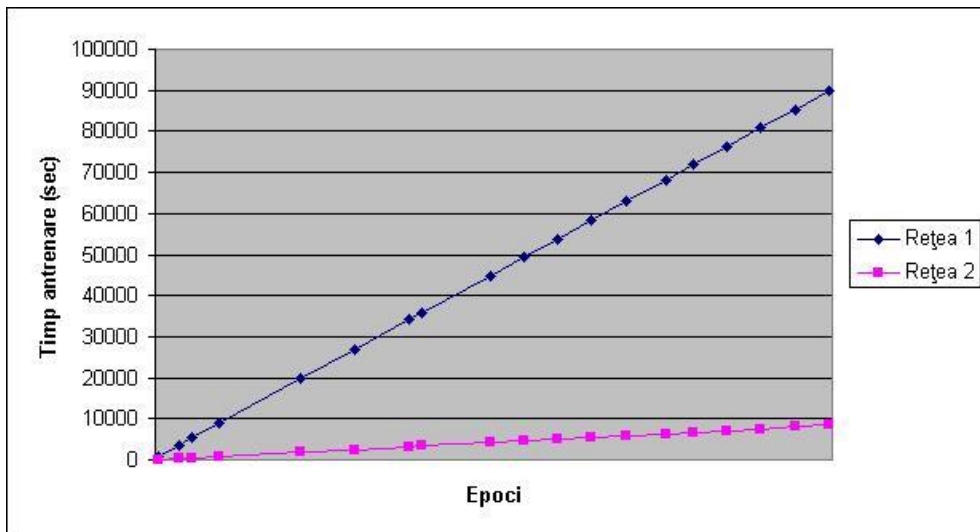


Figura 71. Reprezentarea grafică pentru timpii de antrenare obținuți în cadrul Experimentului 9

Extragerea caracteristicilor importante dintr-un set de antrenare al rețelelor neuronale poate fi o operație care conduce la o reducere importantă a timpilor de antrenare păstrând neschimbate performanțele rețelei.

Pentru validarea clară a acestei prime concluzii, la fel ca și la restul experimentelor, dorim să repetăm acest tip de experiment și cu alte baze de date diferite ca și conținut de aceasta.

Experimentul 10

Setul de baze de date ales pentru acest experiment este unul foarte cunoscut și asupra căruia s-au făcut mai multe experimente de acest fel. [62]

Trebuie precizat că au fost selectate numai câteva din bazele de date conținute de acest set, deoarece s-a dorit și o comparație cu alte studii efectuate asupra acestor baze de date.

Datele folosite pentru comparație au fost obținute prin folosirea următoarelor tehnici de selecție a caracteristicilor [76][87]:

- utilizând o simplă rețea neuronală
- metoda Bagging
- metoda Ada Boost
- GEFS (Genetic Ensemble Feature Selection)
- MEE (Meta-Evolutionary Ensembles)

Utilizând câteva din bazele de date din acest set am aplicat procedura de selecție a celor mai bune caracteristici dezvoltată în acest capitol și cu acestea am antrenat mai multe rețele neuronale.

Rezultatele obținute se pot observa în Tabelul 19 alături de rezultatele obținute de alte metode de selecție a celor mai bune caracteristici.

Se poate observa cu ușurință cum metoda propusă de noi a furnizat cele mai bune rezultate, reușind să întrecă mare parte din celelalte metode. Rezultatele obținute certifică astfel metoda de selecție a celor mai importante caracteristici dintr-un set de date.

Baza de date	Rețea neuronală simplă	Bagging	Ada Boost	GEFS	MEE	Rețeaua noastră
Credit-a	84.3	86.2	84.3	86.8	86.4	87.2
Credit-g	71.7	75.8	74.7	75.2	75.6	78.2
Diabetes	76.4	77.2	76.7	77.0	76.8	78.99
Hepatitis	81.5	82.2	80.3	83.3	84.9	84.9
Hypo	93.8	93.8	93.8	94.1	93.9	94.8
Iris	95.9	96.0	96.1	96.7	96.5	96.6
Segment	92.3	94.6	96.7	96.4	93.2	96.4
Sick	95.2	94.3	95.5	96.5	99.3	99.5
Sonar	80.5	83.2	87.0	82.2	85.2	90.0

Tabelul 19. Bazele de date alese și rezultatele obținute în cadrul experimentului 10

6.3 Concluzii

În acest capitol a fost prezentată **o metodă de îmbunătățire a timpului de antrenare a RNA prin utilizarea caracteristicilor datelor de intrare**. Procedura constă într-o preprocesare inițială a datelor pentru selecția celor mai importante caracteristicilor ale acestora. Operația de preprocesare poate fi văzută ca o operație de filtrare a datelor de intrare. În urma acestei operații o parte din datele de intrare (în special cele redundante și cele nefolosite în procesul de antrenare) sunt eliminate, ajungându-se astfel la un set minimal de date, util în rezolvarea problemei. Operația de selecție de caracteristici a fost obținută cu ajutorul tehnicilor de data mining.

Tehnica propusă este formată din două componente: **o tehnică de evaluare a caracteristicilor și un algoritm de căutare pentru a selecta cele mai bune caracteristici**.

Tehnica de evaluare folosită este CFS (Correlation based Feature Selection) . Acesta este un algoritm format din două componente principale: o formula de evaluare ce conține o tehnică de măsură a corelațiilor dintre caracteristici și o strategie de căutare de tip euristic.

Tehnica de evaluare are ca rezultat final furnizarea unui set de caracteristici puternic corelate între ele și slab corelate (sau chiar deloc) cu elemente conținute în alte seturi.

Pentru **algoritmul de căutare a fost utilizat BestFirst, un algoritm de tip greedy combinat cu strategie backtracking**. Scopul principal al acestuia este găsirea punctului de maxim local care să fie cât mai apropiat de cel general. Acesta trebuie să „aleagă” cel mai bun set de caracteristici furnizat de către tehnica de evaluare precedentă.

Setul de caracteristici furnizat de operația de preprocesare este folosit în continuare pentru antrenarea rețelei neuronale.

Rezultatele obținute în urma antrenării unei rețele neuronale cu aceste caracteristici sunt foarte bune, **deoarece ratele de recunoaștere rămân egale**, și în unele cazuri sunt chiar superioare, celor obținute de rețele neuronale antrenate cu datele de intrare inițiale.

Câștigul cel mai mare a fost reflectat însă, de **micșorarea semnificativă a timpului de antrenare, acesta ajungând să fie de 11 ori mai redus față de o antrenare normală**. Este un aspect deosebit de important în procesul de antrenare

126 Învățarea pe baza corecției erorii cu exemple negative

al rețelelor neuronale, deoarece timpul de antrenare este o problema majoră atunci când seturile de antrenare sunt foarte mari, sau când structura rețelei neuronale este mare.

Experimentele au fost efectuate pe mai multe seturi de date, dorindu-se astfel o verificare a metodei, iar rezultatele obținute au fost comparate cu rezultatele obținute de către alte tehnici de selecție de caracteristici.

Din această cauză considerăm că tehnica de extragere de caracteristici propusă de noi ajută într-o măsură foarte mare în procesul de antrenare al rețelelor neuronale. Astfel, aceasta reușește cu succes la păstrarea intactă a tuturor caracteristicilor setului de antrenare și reușește să reducă semnificativ timpul necesar antrenării rețelelor neuronale.

7. CONCLUZII

7.1 Concluzii

Teza propune o nouă abordare privind o mai bună utilizare a exemplurilor negative în procesul de antrenare al rețelelor neuronale, fapt care a condus la dezvoltarea unei noi tehnici de învățare: învățarea pe baza corecției erorii cu exemple negative.

Punctul de plecare al prezentei lucrări este situația dificilă și problemele întâlnite de toate aplicațiile ce folosesc rețele neuronale și au la dispoziție un set restrâns de antrenare. Incapabile să obțină un număr mai mare de tipare de antrenare (cele mai multe aplicații sunt proiectate pentru condiții speciale), acestea au fost nevoite să-și îndrepte atenția spre zona tiparelor negative.

Folosirea exemplurilor negative la antrenarea rețelelor neuronale nu este o practică nouă, însă aceasta nu a fost exploatată suficient fiind oarecum minimizată și nefiind folosită în mod curent.

Din această cauză, **o primă metodă propusă în această teză este legată de folosirea în mod curent a exemplurilor negative în procesul de antrenare.** Pentru aceasta au fost prezentate două exemple de aplicații care au folosit un set mixt de antrenare compus din exemple pozitive și exemple negative. S-a putut astfel observa că **folosirea unui număr de exemple negative într-un procent mai mare de 5% din numărul de exemple pozitive conduce la o îmbunătățire de până la 25% a procentului de recunoaștere** pentru un set de producție.

S-a demonstrat în continuare că folosirea unui număr de exemple negative cuprins într-un **interval de [10% - 20%] din numărul de exemple negative duce la maximizarea performanțele** rețelei neuronale.

Rezultatele acestea, împreună cu cele obținute și pe alte baze de date au stat la baza **definirii unui model matematic general folosit în antrenarea unei rețele neuronale cu exemple negative.**(Formula 5.5) Acesta a fost testat cu succes și este primul model de acest fel din literatura de specialitate.

Metoda următoare face un pas mai departe și propune o modificare a rețelei astfel încât aceasta să fie capabilă să recunoască exemplele negative într-o manieră similară celor pozitive. Se evidențiază astfel cazul în care o rețea neuronală care nu este 100% sigură căreia clase de la ieșire aparține tiparul de la intrare, poate să fie 100% sigură că acesta nu aparține nici unei clase.

Ideea a venit din domeniul învățării automate, unde utilizarea exemplurilor negative face parte integrantă a procesului de definire al unui nou concept, și presupune o tratare egală a exemplurilor pozitive și negative.

În acest context se propune o modificare a rețelei neuronale, prin introducerea pe ultimul strat a unui neuron suplimentar responsabil cu depistarea tiparelor negative prezente la intrare. Acesta l-am numit neuron **block** și devine activ numai atunci când la intrare este prezent un tipar negativ. Se elimină în acest mod și situația confuză prezentă până acum, în care inactivitatea totală a neuronilor

de pe stratul de ieșire putea să fie tradusă fie prin nerecunoașterea tiparului de la intrare, fie prin apartenența acestuia la o clasă ce nu face parte din ieșirile rețelei.

O altă îmbunătățire semnificativă **este simplitatea procesului de arbitraj** de la ieșirea rețelei atunci când numai un neuron poate să fie activ. Beneficiind de un neuron responsabil cu tiparele negative de la intrare, putem considera acum neuronul câștigător ca fiind cel cu valoarea cea mai mare. Activarea unui neuron nu mai este condiționată de depășirea unui prag minim, ci doar de valoarea acestuia.

Experimentele derulate cu o astfel de rețea modificată au obținut procente de recunoaștere mai mari cu până la 5% față de rețelele neuronale fără un neuron **block**. Un aspect interesant a fost acela **că procentele de recunoaștere pentru rețeaua cu neuron block sunt tot timpul superioare celor obținute de o rețea clasică**. Acest lucru denotă o maturitate a arhitecturii folosite tradusă printr-o uniformitate în procesul de recunoaștere.

Un alt aspect important relevat de către experimente a fost și o îmbunătățire a procentelor de recunoaștere pentru fiecare clasă individuală. Se observă aici **îmbunătățiri de până la 2% față de procentele obținute de o rețea neuronală antrenată fără tipare negative**. Se poate astfel observa, cum simplitatea metodei de arbitraj conduce la o îmbunătățire a funcționalității rețelei.

Modul în care această tehnică utilizează exemplele negative în procesul de antrenare și faptul că s-au adus și modificări rețelei pentru a putea evidenția clar aceste exemple, au făcut posibil definirea unei noi tehnici de învățare și anume: învățarea pe baza corecției erorii cu exemple negative.

Ultimă metodă de îmbunătățire a performanțelor rețelelor neuronale prin folosirea exemplilor negative, propusă în această teză, poate să fie văzută ca o extensie a noii tehnici de antrenare și propune folosirea mai multor neuroni **block** pe stratul de ieșire, fiecare dintre aceștia având o funcție de activare diferită.

O funcție de activare este capabilă să recunoască doar o parte din aspectele specifice unei problemei, deoarece ea rămâne *sensibilă* numai la anumite informații prezente în procesul de antrenare. Utilizarea mai multor funcții de activare ar trebui să conferă rețelei capabilități de recunoaștere superioare datorate însumării tuturor aspectelor relevate de fiecare funcție în parte.

Experimentele însă, nu au relevat **nici o îmbunătățire semnificativă a performanțelor rețelelor neuronale cu mai mulți neuroni block față de cele obținute de rețele cu un singur neuron block**. O posibilă îmbunătățire a fost sugerată printr-o împărțire mai riguroasă a tiparelor de antrenare negative în mai multe clase și asocierea unui neuron *block* fiecărei clase. Procesul ar putea avea flexibilitate prin introducerea dinamică a nodurilor odată cu descoperirea încă unei clase în tiparele de antrenare negative.

Multiplele antrenări efectuate în cadrul acestei teze au scos în evidență timpul extrem de lung care este necesar în anumite probleme de antrenare (majoritatea experimentelor au durat în jur de 8 zile de antrenare continuă pe un procesor de 2.4 Ghz cu 4 nuclee de procesare). Pentru acest fel de probleme, care conțin un set numeros de antrenare sau un număr mare de intrări a fost propusă o **tehnică de îmbunătățire a timpului de antrenare a RNA prin folosirea caracteristicilor datelor de intrare**.

Procedura constă într-o preprocesare inițială a datelor de intrare, pentru a putea selecta cele mai importante caracteristici ale acestora. În urma acestei *filtrări*, o parte din datele de intrare (cele redundante și cele nefolosite în procesul de

antrenare) sunt eliminate, ajungându-se astfel la un set minimal ce păstrează caracteristicile setului original.

Tehnica este derivată din domeniul *data mining* și este formată din **două componente: o tehnică de evaluare a caracteristicilor și un algoritm de căutare pentru selectarea celor mai bune caracteristici.**

Rezultatele obținute cu această tehnică sunt foarte bune, **deoarece timpul de antrenare a fost redus semnificativ (de 11 ori mai mic în unele cazuri)** față de o antrenare normală. Valorile pentru noile rate de recunoaștere sunt egale cu cele obținute anterior și am prezentat cazuri în care aceste sunt chiar superioare. Aceste rezultate certifică utilizarea cu succes a noii tehnici în problemele de antrenare a unei rețele neuronale de tipul perceptron cu mai multe straturi.

7.2 Contribuții

Definirea unei noi tehnici de învățare: învățarea pe baza corecției erorii cu exemple negative. Noua tehnică utilizează o rețea neuronală de tip multilayer perceptron ce are un neuron suplimentar pe ultimul strat. Pe acesta l-am denumit neuron **block** și este responsabil cu recunoașterea tiparelor negative prezente la intrare. Această tehnică reușește o îmbunătățire a performanțelor rețelei cu până la 5% față de performanțele obținute anterior. Se dezvoltă astfel situații în care rețeaua neuronală nefiind 100% sigură căreia clase de la ieșire îi aparține intrarea, reușește să fie 100% sigură că nu aparține nici unei clase. Neuronul suplimentar rezolvă și situația confuză generată de inactivitatea tuturor ieșirilor (tipar negativ sau rețeaua nu reușește să găsească ieșirea potrivită) și ajută la simplificarea procesului de arbitrară desfășurat pe ultimul strat.

Definirea unui model matematic pentru antrenarea cu exemple negative funcție de procentul de exemple negative prezent în setul de antrenare. Acest model este primul de acest fel și reușește să determine pentru numărul de exemple negative intervalul [10% - 20%] (din numărul de exemple pozitive) ca fiind optim pentru antrenarea rețelei neuronale. Totodată conduce la mărirea setului de antrenare, lucru extrem de important pentru diferite probleme speciale.

Demonstrarea faptului că un singur neuron block este suficient pe stratul de ieșire atâta timp cât tiparele negative sunt tratate omogen. Prin antrenarea cu mai mulți neuroni block s-au obținut performanțe egale cu cele obținute de o rețea cu un singur neuron block. Se sugerează o împărțire a intrărilor negative în mai multe clase și asocierea acestora cu câte un neuron block.

Accelerarea procesului de recunoaștere prin antrenarea rețelelor cu caracteristici ale datelor de intrare în cazul în care setul de antrenare este mare sau avem multe intrări. S-au folosit tehnici de data mining pentru a reuși o extragere a celor mai importante caracteristici pentru datele de intrare. Acestea au fost folosite la antrenarea rețelelor obținând timpi de 10 ori mai mici în condițiile în care performanțele s-au menținut. Trebuie menționat faptul că au existat situații în care, prin această operație de „filtrare” performanțele rețelei s-au îmbunătățit.

Realizarea unui program ajutor pentru antrenarea rețelelor neuronale de tip multilayer perceptron.

Definirea unei formule pentru un set de producție universal, capabil de comparații între diverse probleme.

7.3 Continuări posibile

Aplicarea neuronului block și asupra unor configurații de rețele diferite de cele de tip multilayer perceptron. În acest fel se poate observa dacă exemplele negative au un rol major și în dezvoltarea altor tipuri de rețele.

Studierea comportării unei rețele cu mai mulți neuroni block, atunci când exemplele negative de la intrare se împart în mai multe clase. Împărțirea acestora într-un mod dinamic și modificarea arhitecturii pentru fiecare clasă de exemple negative nou introdusă.

Noi metode de integrare a exemplilor negative în procesul de antrenare al RNA. Acest lucru va reuși o apropiere și mai mare între RNA și cele biologice.

ANEXA 1 – NIST 19

Baza de date NIST 19 conține un număr impresionant de caractere. Prezentăm mai jos toate clasele care apar în această bază de date (Tabelul 20) și care este numărul de apariții pentru fiecare. Se poate observa că numărul de apariții este diferit de la o clasă la alta și poate lua o plajă largă de valori (Tabelul 21). Acest fapt este datorat operației de segmentare a textului, în urma căreia mai multe clase au fost eliminate din baza de date.

Câmpurile care sunt în dreptul coloanei „Constituție” și sunt goale fie nu au suportat operația de segmentare, fie nu apar în textul constituțional din formularul ce trebuia completat. (Figura 35)

Literă mare	Literă mică	Literă mare	Constituție	
			Literă mare	Literă mică
0	a	A	A	a
1	b	B	B	b
2	c	C	C	
3	d	D	D	d
4	e	E	E	e
5	f	F	F	
6	g	G		g
7	h	H	H	h
8	i	I	I	
9	j	J	J	
	k	K		
	l	L	L	l
	m	M	M	
	n	N	N	n
	o	O	O	
	p	P	P	
	q	Q		q
	r	R	R	r
	s	S	S	
	t	T	T	t
	u	U	U	
	v	V	V	
	w	W	W	
	x	X		
	y	Y	Y	
	z	Z		

Tabelul 20. Clasele prezente în NIST 19

132 Anexe

Literă mare	Literă mică	Literă mare	Constituție	
			Literă mare	Literă mică
40363	3210	3033	4436	8467
44704	3136	3026	1500	2876
40072	3286	3344	8489	
41112	3111	3020	2321	8749
39154	3084	2892	2893	25639
36606	2961	3053	7569	
39937	2966	2964		1310
41893	3253	2925	748	6964
39579	3152	4490	9504	
39533	2213	2958	1430	
	2957	2850		
	4454	3375	2511	13399
	3109	3077	7410	
	3150	3128	6460	10166
	3215	3176	25963	
	2816	3127	6617	
	2648	3018		851
	3113	3061	2821	13312
	3136	3129	21143	
	3058	2981	8415	18169
	3312	3143	11461	
	3378	3237	2196	
	3164	3122	2379	
	3292	3203		
	2746	2966	2575	
	3176	3165		

Tabelul 21. Numărul de instanțe pentru fiecare clasă din NIST 19

ANEXA 2 – FORMATUL DATELOR MARTHA’S VINEYARD COASTAL OBSERVATORY [ENG]

Field 1	Year	Year of record
Field 2	Yday	1.5 is noon on January 1
Fields 3-7	MO DA HH MM SS	start of 15 or 20 minute burst GMT
Field 8	wave_height[m]	$4 \cdot \sqrt{\sum(S_{nn}(f) \cdot dF)}$, where $f < 0.5$ Hz and S_{nn} is the spectral intensity from the highest bin below $0.85 \cdot \text{depth}$ (from pressure), then taken to the surface using linear wave theory
Field 9	wave_period[seconds]	$1/\bar{f}$, where $\bar{f} = \frac{\sum(S_{nn} \cdot f)}{\sum(S_{nn})}$
Field 10	wave_dir_[degrees]	compass wave direction from which waves in peak are coming (PUV), as observed at 4.7 meters above bottom
Field 11	temp_adcp_mean[degC]	temperature at 2.11 meters above bottom
Field 12	vel1_adcp_mean[cm/s]	near-bottom mean velocity (3.7 meters above bottom)
Field 13	vel1_adcp_dir[cm/s]	near-bottom velocity direction
Field 14	vel2_adcp_mean[cm/s]	near-surface mean velocity (10.7 meters above bottom)
Field 15	vel2_adcp_dir[cm/s]	near-surface velocity direction
Field 16	tide_paros[m]	corrected for atm press using the Vaisala pressure. A nominal height was subtracted, as follows: Paros pressure - 11.7 meters (to 6/02) Paros pressure - 11.8 (7/02 to present)
Field 17	water_temp[degC]	mean water temperature (CTD) at 12.7 meters depth
Field 18	salinity[ppt]	salinity (CTD) at 12.7 meters depth
Field 19	wave_height_swell[m]	swell height (swell is observed from 0.05 to 0.15 Hz)
Field 20	wave_height_windwave [m]	wind wave height (wind wave is observed from 0.15 to 0.25 Hz)
Field 21	wave_period_swell [secs]	$1/\bar{f}$ in swell region
Field 22	wave_period_wind [secs]	$1/\bar{f}$ in wind wave region
Field 23	wave_directn_swell [degs]	PUV wave direction in swell region
Field 24	wave_directn_windwave [degs]	PUV wave direction in wind wave region

Tabelul 22. Formatul datelor de la Observatorul Martha’s Vineyard

ANEXA 3 – BAZELE DE DATE CUPRINSE ÎN SETUL DE ANTRENARE DE LA UNIVERSITATEA CARNEGIE MELLON

Este unul din cele mai complete seturi de antrenare pentru rețele neuronale. Are în componența sa următoarele baze de date (vezi Tabelul 23)

Baza de date	Numărul de elemente	Complexitatea (1..5 în care 5 cea mai mare)
Segment	160000	5
Parity	50000	2
Protein	20000	4
Sonar	2000	4
Hypo	100000	4
Vowel	3000	5
Xor	4	1
Diabetes 1	768	4
Diabetes 2	768	4
Diabetes 3	768	4
Mushroom 1	9124	3
Mushroom 2	9124	3
Mushroom 3	9124	3
Thyroid	7200	4
Hepatitis	7200	4
Sick	7200	4
Credita	8000	4
Creditg	8000	4
Iris	900	3

Tabelul 23. Bazele de date și numărul de instanțe din setul de antrenare de la Universitatea Carnegie Mellon

ANEXA 4 – CARACTERISTICILE SELECTATE DE PROGRAMUL WEKA PENTRU LITERELE A,E,N ȘI R

În urma prelucrărilor cu programul Weka, din cele 1024 de intrări asociate pentru fiecare literă au fost selectate numai 100 de intrări considerate a fi reprezentative pentru literele „a”, „e”, „n” și „r”. Fiecare număr reprezintă pixelul ales. Pixelul 0 este considerat în stânga sus și direcția de înaintare este spre dreapta.

Pixeli selectați	Pixeli selectați	Pixeli selectați
80	84	120
121	137	175
237	238	301
396	408	426
434	436	440
459	460	467
471	473	489
491	492	498
499	500	504
520	523	530
531	536	553
554	555	559
562	563	564
569	584	585
595	597	599
616	617	623
626	633	649
650	658	660
662	664	680
690	695	696
712	714	721
725	728	754
755	777	789
790	816	820
847	852	856
873	878	881
883	889	904
910	911	912
913	914	915
916	917	918
919	937	940
944	945	946
950	951	952
985		

Tabelul 24. Caracteristicile selectate de programul Weka pentru literele „a”, „e”, „n” și „r”, reprezentate inițial printr-o matrice de 32x32pixeli

BIBLIOGRAFIE

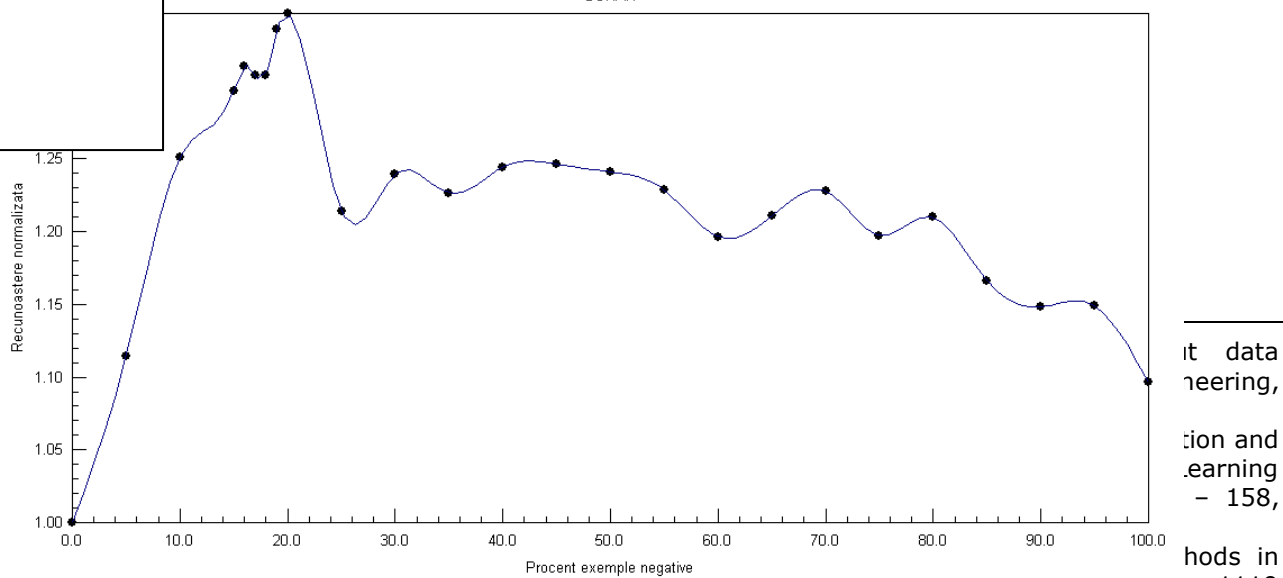
- [1] Haykin S.: „Neural Networks. A comprehensive Foundation”, Macmillan College Publishing, New York 1994
- [2] Pora, E.: „Omul și natura”, Editura Dacia, Cluj-Napoca, pag. 20-25, 1975
- [3] Feng-Hsiung, H.: „Behind Deep Blue: Building the Computer that Defeated the World Chess Champion”, Princeton University Press, 2002
- [4] McCulloch, W.S., Pitts, W.: „A logical calculus of the ideas immanent in nervous activity”, Bulletin of Mathematical Biophysics, Vol. 5, pag. 115 – 133, 1943
- [5] Hodgkin, A.L., Huxley, A.F.: „A quantitative description of membrane current and its application to conduction and excitation in nerve”, J Physiology, Vol. 117:500-44, 1952
- [6] Mitchell, T.M.: „Machine Learning”, McGraw-Hill International Edit, Secțiunea 4.1.1, pag. 82, 1997
- [7] Ramon y Cajal, S.: „Histologie du systeme nerveux de l’homme et des vertebrates”, Oxford University Press, New York, 1995
- [8] Hebb, D.O.: „The organization of behavior; a neuropsychological theory”, Wiley-Interscience, New York 1949
- [9] Rosenblatt, F.: „The perceptron: a probabilistic model for information storage and organization in the brain”, Psychological Review, Vol. 65, Nr. 6, pag. 386-408, 1958
- [10] Kohonen, T.: „Correlation matrix memories”, IEEE Transaction on Computers, C-21, pag. 353-359, 1972
- [11] Clarke, A.C.: „2001 A Space Odyssey”, New American Library, United States, 1968
- [12] Asimov, I.: „The Bicentennial Man”, Ballantine Books, United States, 1976
- [13] Hopfield, J.: „Neural Network and physical systems with emergent collective computational abilities”, Proceedings of the National Academy of Science of the USA, Vol. 9, 1982
- [14] Treleaven, P.C., Lime, I.G.: „Japan’s Fifth Generation Computer Systems”, IEEE Computer, Vol. 15, Nr. 8, pag. 79-99, August, 1982
- [15] Rumelhart, D.E., Hinton, G.E., Williams, R.J.: „Learning internal representations by error propagation”, Parallel Distributed Processing: Explorations in the Microstructure of Cognition, Vol. 1, MIT Press, Cambridge, pag. 318-362, 1986
- [16] Minsky, M.L., Papert, S.: „Perceptrons: An introduction to Computational Geometry”, The MIT Press, 1969
- [17] Rumelhart, D.E., Hinton, G.E., Williams, R.J.: „Learning representations by backpropagating errors.”, Nature, 1986
- [18] Hornik, K., Stinchcombe, M., White, H.: „Multilayer feedforward networks are universal approximations”, Neural Networks, pag. 359-366, 1989

-
- [19] Funahashi, K.-I.: „On the approximate realization of continuous mappings by neural networks”, *Neural Networks*, pag. 192-193, 1989
- [20] Cybenko, G.: „Approximation by superposition of a sigmoidal function”, *Mathematics of Control, Signals and Systems*, pag. 303-314, 1989
- [21] Hartman, E.J., Keeler, J.D., Kowalsky, J.M.: „Layered neural networks with Gaussian hidden units as universal approximations”, *Neural Computation*, pag. 210-215, 1990
- [22] Orr, Mark J. L.: „Introduction to Radial Basis Function Network”, *Centre for Cognitive Science, Edinburg*, 1996
- [23] Kosko, B.: „Hidden patterns in combined and adaptive knowledge networks”, *International Journal of Approximate Reasoning*, vol. 2, pag. 377-393, 1988
- [24] Tiponut, V., Căleanu, C.: „Rețele neuronale. Arhitecturi si algoritmi.”, Ed. Politehnica Timișoara, *Colecția Prelucrarea semnalelor*, 2001
- [25] Widrow, B., Hoff, M.E.: „Adaptive switching circuits”, *IRE WESCON Convention Record, Partea 4*, pag. 96-104, DUNNO, 1960
- [26] Rabunal, J. R.: „Artificial Neural Networks in Real-life Applications”, *Idea Group Pub*, 2005
- [27] Cernăzanu, G.C.: „Tehnici de antrenare a rețelelor neuronale”, referat I pentru doctorat, 2005
- [28] Behnke, Sven: „Hierarchical Neural Networks for Image Interpretation”, *Springer*, pag. 45, 2003
- [29] Yuan, J. L.; Fine, T. L.: „Neural-network design for small training sets of high dimension”, *IEEE transactions on neural networks*, vol. 9, nr. 2, pag. 266-280, 1998
- [30] Koike, K., Matsuda, S., Suzuki, T., Ohmi, M.: „Neural Network-Based Estimation of Principal Metal Contents in the Hokuroku District, Northern Japan, for Exploring Kuroko-Type Deposits”, *Natural Resources Research, Netherlands, Springer*, vol. 11, nr. 2/Iunie, pag. 135-156, 2002
- [31] Qun, Z., Principe, J. C.: „Improve ATR performance by incorporating virtual negative examples”, *Proceedings of the International Joint Conference on Neural Networks*, pag. 3198-3203, 1999
- [32] Tesauro, G., Kephart, O., Sorkin, G. B.: „Neural Networks for Computer Virus Recognition”, *IEEE Expert*, vol. 11, nr. 4, pag. 5-6, August, 1996
- [33] Christel, M., Stevens, S., Wactlar, H.: „Informedia Digital Video Library”, *Proceedings of the ACM Multimedia '94 Conference*, pag. 480-481, 1994
- [34] Nyogi, P., Girosi, F., Poggio, T.: „Incorporating prior information in machine learning by creating virtual examples”, *Proceedings of the IEEE* 86(11), pag. 2196-2209, 1998
- [35] Abu-Mostafa, Y.S.: „Hints”, *Neural Computation*, vol. 7, pag. 639-671, 1995
- [36] Qun, Z., Principe, J.C.: „Incorporating virtual negative examples to improve SAR ATR”, *Proceedings of the SPIE – The International Society for Optical Engineering*, vol. 4053, pag. 354-360, 2000
- [37] Nilsson, N.: „Learning Machines: foundations of trainable pattern-classifying systems”, *McGraw-Hill, Inc.*, 1965

139 Bibliografie

- [38] Quinlan, J.R.: „Induction of decision tree.“, Machine Learning, vol. 1, 1986
- [39] Shannon, C.: „A mathematical theory of communication.“, Bell System Technical Journal, vol. 27, pag. 379-423, 1948
- [40] Winston, P. H.: „Learning structural descriptions from examples“, In P.H. Winston editor, 1975
- [41] Winston, P. H.: „The psychology of Computer Vision“, McGraw-Hill, New York, 1975
- [42] Winston, P. H.: „Artificial Intelligence, 3rd edition Reading“, Addison Wesley, MA, 1992
- [43] Luger, G.: „Artificial Intelligence :Structures and Strategies for Complex Problem Solving“, (Fifth Edition) Addison Wesley, 2005
- [44] Negnevitsky, M.: „Artificial Intelligence: A Guide to Intelligent Systems (2nd Edition)“, Addison Wesley, England, 2005
- [45] Bratko, I.: „PROLOG – Programming for Artificial Intelligence“, (2nd Edition) Addison Wesley, England, 1993
- [46] Mitchell, T.M.: „An analysis of generalization as a search problem“, Proceedings IJCAI, vol. 6, 1979
- [47] Mitchell, T.M.: „Generalization as search.“, Artificial Intelligence, vol. 18(2), pag. 203-226, 1982
- [48] Mitchell, T.M.: „Version spaces – an approach to concept learning“, Report No. STAN-CS-78-711, Computer Science Dept., Stanford University, 1978
- [49] Alecsander, I.; Morton, H.: „An Introduction to Neural Computing“, Chapman & All, London, 1990
- [50] Kim, H. Y.; K.T., Lim; Nam, Y.S.: „Handwritten numeral string recognition using neural network classifier trained with negative data“, Frontiers in Handwriting Recognition, pag. 395 – 400, 2002
- [51] Raudys, S; Somorjai, R; Baumgartner, R: „Reducing the overconfidence of base classifiers when combining their decisions“, 4th International Workshop on Multiple Clasifier Systems (MCS 2003), vol. 2709, pag. 65-73, 2003
- [52] Hosom, J.P., Villiers, J., s.a.l: „Training Hidden Markov Model/Artificial Neural Network (HMM/ANN) Hybrids for Automatic Speech Recognition (ASR)“, Center for Spoken Language Understanding (CSLU), 2006
- [53] Debevec, P.: „A Neural Network for Facial Feature Location“, CS283 Course Project, UC Berkeley, 2001
- [54] Tikhonov, A.; Arsenin, V.: „Solutions of ill-posed problems“, W.H. Winston, 1977
- [55] Girosi, F. & Poggio; B., T. & Caprile: „Extensions of a theory of networks for approximation and learning:outliers and negative examples.“, Advances in Neural Information Processing Systems 3, R.P. Lippmann, J.E.Moody and D. S. Touretzky, pag. 750-756, San Mateo, CA, 1991
- [56] Anderson, Dave; McNeil, George: „Artificial Neural Networks Technology“, Data & Analysis Center for Software, 1992
- [57] Lacassie, Juan Pablo; Ruiz del Solar, Javier; Roser, Barry; Hervé, Francisco: „Visualization of Volcanic Rock Geochemical Data and Classification with Artificial Neural Networks“, Springer, Netherlands, vol. 38, nr. 6 / August, pag. 697-710, 2006

-
- [58] Alippi, C.: „Weight update in back-propagation neural networks: the role of activation functions”, IEEE International Joint Conference on Neural Networks, vol. 1, pag. 560 – 565, 1991
- [59] Ward Systems Group, Inc.: „NeuroShell 2”, <http://www.wardsystems.com/neuroshell2.asp>, 2000
- [60] National Institute of Standards and Technology: „NIST Handprinted Forms and Characters Database”, <http://www.nist.gov/srd/nistsd19.htm>, 2007
- [61] Martha’s Vineyard Coastal Observatory: „Ocean Data”, <http://www.whoi.edu/mvco/data/oceandata.html>
- [62] Carnegie Mellon University: „Neural Networks Benchmark Collection”, <http://www.cs.cmu.edu/afs/cs/project/ai-repository/ai/areas/neural/bench/0.html>
- [63] Lopes, N., Ribeiro, B.: „An efficient gradient-based learning algorithm applied to neural networks with selective actuation neurons”, Neural, Parallel & Scientific Computations, Vol. 11, Issue 3, pag. 253-272, 2003
- [64] Holt, J.L., Baker, T.E.: „Back propagation simulations using limited precision calculations”, Neural Networks, Vol. 2, Issue 2, pag. 121-126, 1991
- [65] Ghaffari, M., Hall, E.L.: „Experimental approach for the evaluation of neural network classifier algorithms”, Congres Intelligent robots and Computer Vision XXI: algorithms, techniques and active vision, vol. 5267, pag. 250-256, 2003
- [66] Cernazanu, C., Holban, S.: „Improving neural network performances – training with negative examples”, International Conference on Telecommunications and Networking/International Conference on Industrial Electronics, Technology and Automation, University of Bridgeport, Novel Algorithms and Techniques in Telecommunications, Automation and Industrial Electronics, pag. 49-53, 2008
- [67] Babii, S., Cretu, V., Petriu E.M.: „Performance Evaluation of Two Distributed BackPropagation Implementations”, Neural Networks, IJCNN 2007, pp. 1578-1583, 2007
- [68] Zhongwen, L., Zhongwen, L., Hongzhi, L., Xincal, W.: „Artificial neural network computation on graphic process unit”, Neural Networks, IJCNN 2005, pp. 622-626, 2005
- [69] Siddique, M.N.H., Tokhi, M.O.: „Training neural networks: backpropagation vs. genetic algorithms”, Neural Networks, 2001, IJCNN, pp. 2673-2678, 2001
- [70] Nguyen, D., Widrow, B.: „Improving the learning speed of 2-layer neural networks by choosing initial values of adaptive weights”, Neural Networks, IJCNN, 1990, pp. 21-26, Volume. 3, 1990
- [71] Gorea, D.: Dynamically Integrating Knowledge in Applications. An Online Scoring Engine Architecture, Advances in Electrical and Computer Engineering, Suceava, Romania, Volume 8, pag. 44-49, 2008
- [72] Langley, P.: „Selection of relevant features in machine learning”, Proceedings of the AAAI Fall Symposium on Relevance, AAAI Press, 1994



- it data
neering,
tion and
earning
- 158,
hods in
g. 1119
- 1125, Noiembrie 1994
- [76] Kim, Y., Street, W.N., Menczer, F., Roussell, G.J.: „ Feature selection in data mining”, L. Wang Editor, Data Mining: Opportunities and Challenges, Idea Group Publishing, pag. 80-105, 2003
- [77] Gigli, G., Bosse, I., Lampropoulos, G.A.: „A optimized architecture for classification combining data fusion and data mining”, Information Fusion, Volumul 8, pag. 366 – 378, 2007
- [78] Guyon, I., Elisseeff, A.: „An introduction to variable and feature selection”, Journal of Machine Learning Research, pag. 1157 – 1182, Volumul 3, 2003
- [79] Hall, M.: „Correlation – based Feature Selection for Machine Learning”, Ph. D. diss., Hamilton, NZ, Waikato University, Department of Computer Science, 1998
- [80] Boyan, J., Moore, A.: „Learning evolution functions to improve optimization by local search”, Journal of Machine Learning Research, Volume 1, pag. 77 – 102, 2000
- [81] <http://www.cs.waikato.ac.nz/ml/weka>: „Weka3, Data mining Software in java”, The University of Waikato, 2008
- [82] <http://weka.sourceforge.net/wiki/index.php>: „Performing attribute selection”, 2008
- [83] Witten, I.H., Frank, E.: „Data mining: Practical Machine Tools and Techniques (Second Edition)”, Morgan Kaufmann, 2005
- [84] Cernazanu, C., Holban, S.: „Determining the optimal percent of negative examples used in training the multilayer perceptron neural networks”, International Conference on Neural Networks, pag. 114-119, Prague, 2009
- [85] Teodorescu, R., Cernazanu, C., Cretu, V.: „The use of the medical ontology for a semantic-based fusion system in Biomedical Informatics Application to Alzheimer Disease”, IEEE 4th International Conference on Intelligent Computer Communication and Processing, pag. 254-268, Cluj Napoca, 2008
- [86] Cernazanu, C., Holban, S.: „Training Neural Networks Using Input Data Characteristics”, Development and Application Systems – Abstract Book, pag. 309 – 312, Romania, 2008
- [87] Opitz, D.: „Feature Selection for Ensembles”, Proceedings of 16th National Conference on Artificial Intelligence, pag. 379 – 384, Orlando, Florida, 1999
- [88] DataFit 0.0: „Oakdale Engineering Data Fit”, Oakdale Engineering, <http://www.oakdaleengr.com>
- [89] Origin 6.0: „Introduction to Origin Workspace”, TechSmith Camtasia Studio, <http://www.originlab.com>